



Eine vom Bund und den Ländern gemeinsam getragene Anstalt des öffentlichen Rechts

Europäische Technische Bewertungsstelle für Bauprodukte



# **Europäische Technische Bewertung**

### ETA-12/0543 vom 28. August 2025

#### **Allgemeiner Teil**

Technische Bewertungsstelle, die die Europäische Technische Bewertung ausstellt

Handelsname des Bauprodukts

Produktfamilie, zu der das Bauprodukt gehört

Hersteller

Herstellungsbetrieb

Diese Europäische Technische Bewertung enthält

Diese Europäische Technische Bewertung wird ausgestellt gemäß der Verordnung (EU) Nr. 305/2011, auf der Grundlage von

Diese Fassung ersetzt

Deutsches Institut für Bautechnik

Friulsider Injektionssystem KEM-UP + Vinylester oder Friulsider Injektionssystem KEM V für Mauerwerk

Metall-Injektionsdübel zur Verankerung im Mauerwerk

Friulsider S.p.A. Via Trieste 1 33048 SAN GIOVANNI AL NATISONE (UD) ITALIEN

Friulsider S.p.A., Plant 2 Germany

77 Seiten, davon 3 Anhänge, die fester Bestandteil dieser Bewertung sind.

EAD 330076-01-0604, Edition 10/2022

ETA-12/0543 vom 15. Dezember 2016

**DIBt** | Kolonnenstraße 30 B | D-10829 Berlin | Tel.: +49 30 78730-0 | Fax: +49 30 78730-320 | E-Mail: dibt@dibt.de | www.dibt.de Z198287.25 8.06.04-120/25



Seite 2 von 77 | 28. August 2025

Die Europäische Technische Bewertung wird von der Technischen Bewertungsstelle in ihrer Amtssprache ausgestellt. Übersetzungen dieser Europäischen Technischen Bewertung in andere Sprachen müssen dem Original vollständig entsprechen und müssen als solche gekennzeichnet sein.

Diese Europäische Technische Bewertung darf, auch bei elektronischer Übermittlung, nur vollständig und ungekürzt wiedergegeben werden. Nur mit schriftlicher Zustimmung der ausstellenden Technischen Bewertungsstelle kann eine teilweise Wiedergabe erfolgen. Jede teilweise Wiedergabe ist als solche zu kennzeichnen.

Die ausstellende Technische Bewertungsstelle kann diese Europäische Technische Bewertung widerrufen, insbesondere nach Unterrichtung durch die Kommission gemäß Artikel 25 Absatz 3 der Verordnung (EU) Nr. 305/2011.



Seite 3 von 77 | 28. August 2025

#### **Besonderer Teil**

#### 1 Technische Beschreibung des Produkts

Der "Friulsider Injektionssystem KEM-UP + Vinylester oder Friulsider Injektionssystem KEM V für Mauerwerk" ist ein Verbunddübel (Injektionstyp), der aus einer Mörtelkartusche mit Injektionsmörtel KEM-UP + Vinylester oder KEM V oder KEM-UP + Vinylester Winter oder KEM V Winter, einer Siebhülse und einer Gewindestange mit Sechskantmutter und Unterlegscheibe oder einer Innengewindeankerstange besteht. Die Stahlteile bestehen aus verzinktem Stahl, nichtrostendem Stahl oder hochkorrosionsbeständigem Stahl.

Die Ankerstange wird in ein mit Injektionsmörtel gefülltes Bohrloch gesetzt und durch den Verbund und/oder Formschluss zwischen Stahlteil, Injektionsmörtel und Mauerwerk verankert. Die Produktbeschreibung ist in Anhang A angegeben.

## 2 Spezifizierung des Verwendungszwecks gemäß dem anwendbaren Europäischen Bewertungsdokument

Von den Leistungen in Abschnitt 3 kann nur ausgegangen werden, wenn der Dübel entsprechend den Angaben und Bedingungen nach Anhang B verwendet wird.

Die Prüf- und Bewertungsmethoden, die dieser Europäischen Technischen Bewertung zu Grunde liegen, führen zur Annahme einer Nutzungsdauer des Dübels von mindestens 50 Jahren. Die Angabe zur Nutzungsdauer kann nicht als Garantie des Herstellers ausgelegt werden, sondern ist lediglich ein Hilfsmittel zur Auswahl des richtigen Produkts in Bezug auf die erwartete wirtschaftlich angemessene Nutzungsdauer des Bauwerks.

#### 3 Leistung des Produkts und Angaben der Methoden ihrer Bewertung

#### 3.1 Mechanische Festigkeit und Standsicherheit (BWR 1)

Wesentliches Merkmal	Leistung
Charakteristischer Widerstand für statische und quasistatische Einwirkungen	Siehe Anhang B 5, B 6 C 1 bis C 56
Charakteristischer Widerstand und Verschiebungen für seismische Einwirkung	Leistung nicht bewertet

#### 3.2 Brandschutz (BWR 2)

Wesentliches Merkmal	Leistung
Brandverhalten	Klasse A1
Feuerwiderstand unter Zug- und Querbeanspruchung mit und ohne Hebelarm. Minimale Achs- und Randabstände	Siehe Anhang C2, C7, C8, C13, C14, C17, C18, C19, C20, C37, C38, C43, C44, C45, C46, C51 und C52

#### 3.3 Hygiene, Gesundheit und Umweltschutz (BWR 3)

Wesentliches Merkmal	Leistung
Inhalt, Emission und/oder Freisetzung von gefährlichen Stoffen	Leistung nicht bewertet



Seite 4 von 77 | 28. August 2025

4 Angewandtes System zur Bewertung und Überprüfung der Leistungsbeständigkeit mit der Angabe der Rechtsgrundlage

Gemäß dem Europäischen Bewertungsdokument EAD 330076-01-0604 gilt folgende Rechtsgrundlage: [97/177/EG].

Folgendes System ist anzuwenden: 1

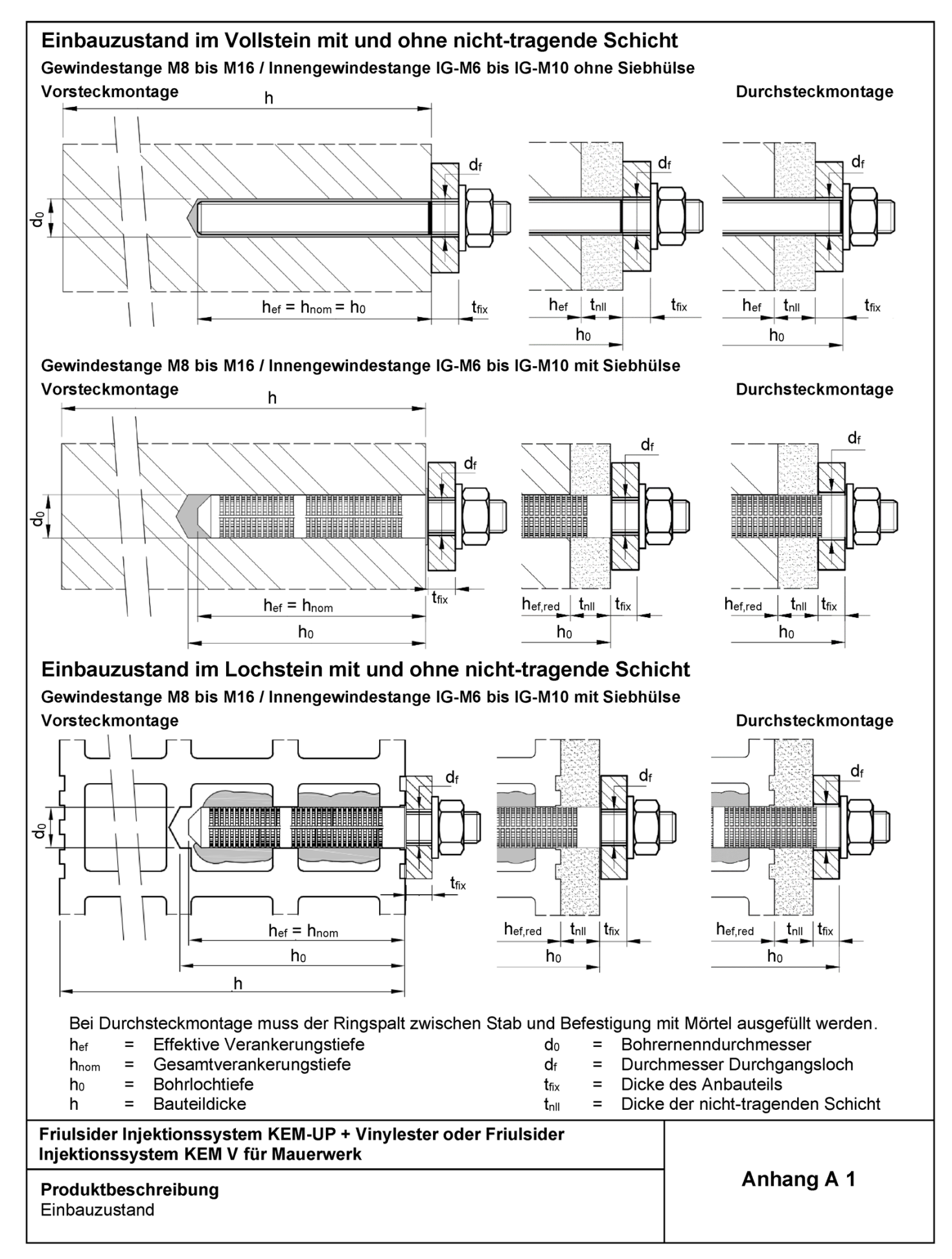
Für die Durchführung des Systems zur Bewertung und Überprüfung der Leistungsbeständigkeit erforderliche technische Einzelheiten gemäß anwendbarem Europäischen Bewertungsdokument

Technische Einzelheiten, die für die Durchführung des Systems zur Bewertung und Überprüfung der Leistungsbeständigkeit notwendig sind, sind Bestandteil des Prüfplans, der beim Deutschen Institut für Bautechnik hinterlegt ist.

Ausgestellt in Berlin am 28. August 2025 vom Deutschen Institut für Bautechnik

Dipl.-Ing. Beatrix Wittstock Referatsleiterin Beglaubigt Baderschneider

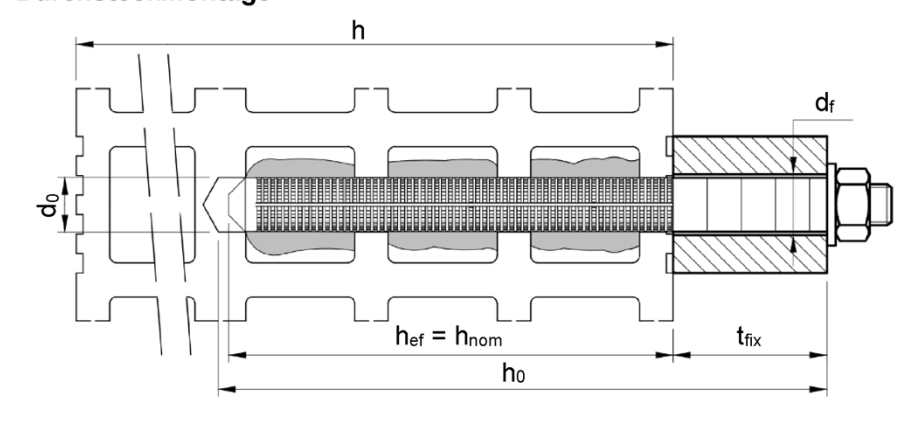


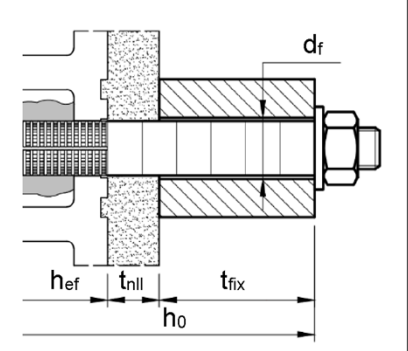




# Einbauzustand im Lochstein mit und ohne nicht-tragende Schicht und / oder Wärmeisolierung

Gewindestange M8 bis M10 / Innengewindestange IG-M6 mit Siebhülse SH 16x130/330 Durchsteckmontage

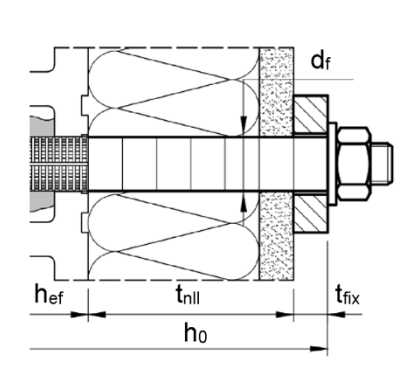




#### Vorsteckmontage

# h hef = hnom ho

#### **Durchsteckmontage**



h<sub>ef</sub> = Effektive Verankerungstiefe h<sub>nom</sub> = Gesamtverankerungstiefe

h<sub>0</sub> = Bohrlochtiefe

h = Bauteildicke

d<sub>0</sub> = Bohrernenndurchmesserd<sub>f</sub> = Durchmesser Durchgangsloch

t<sub>fix</sub> = Dicke des Anbauteils

t<sub>nll</sub> = Dicke der nicht-tragenden Schicht

# Friulsider Injektionssystem KEM-UP + Vinylester oder Friulsider Injektionssystem KEM V für Mauerwerk

#### Produktbeschreibung

Einbauzustand

Anhang A 2



#### Kartuschensystem

#### **Koaxial Kartusche:**

150 ml, 160ml, 280 ml, 300 ml bis 333 ml und 380 ml bis 420 ml



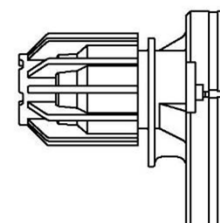
#### Aufdruck:

KEM-UP + Vinylester oder KEM V oder KEM-UP + Vinylester Winter or KEM V Winter

Verarbeitungs- und Sicherheitshinweise, Haltbarkeit, Chargennummer, Herstellerangaben, Mengenangabe

#### Side-by-Side Kartusche:

235 ml, 345 ml bis 360 ml und 825 ml



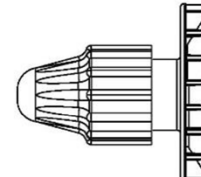
#### Aufdruck:

KEM-UP + Vinylester oder KEM V oder KEM-UP + Vinylester Winter or KEM V Winter

Verarbeitungs- und Sicherheitshinweise, Haltbarkeit, Chargennummer, Herstellerangaben, Mengenangabe

#### Schlauchfolien Kartusche:

165 ml und 300 ml

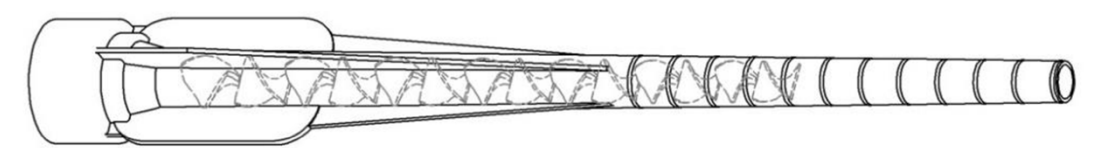


#### Aufdruck:

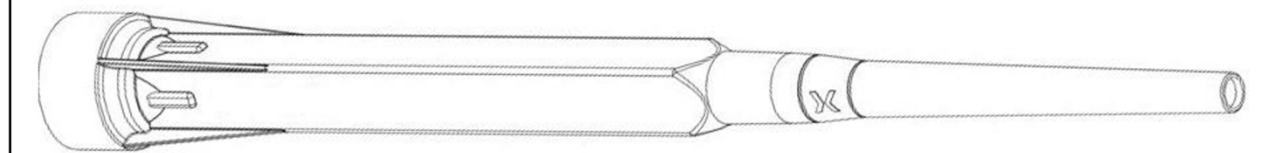
KEM-UP + Vinylester oder KEM V oder KEM-UP + Vinylester Winter or KEM V Winter

Verarbeitungs- und Sicherheitshinweise, Haltbarkeit, Chargennummer, Herstellerangaben, Mengenangabe

#### Statikmischer MIX



#### Statikmischer MIX+



#### Mischerverlängerung VL



# Friulsider Injektionssystem KEM-UP + Vinylester oder Friulsider Injektionssystem KEM V für Mauerwerk

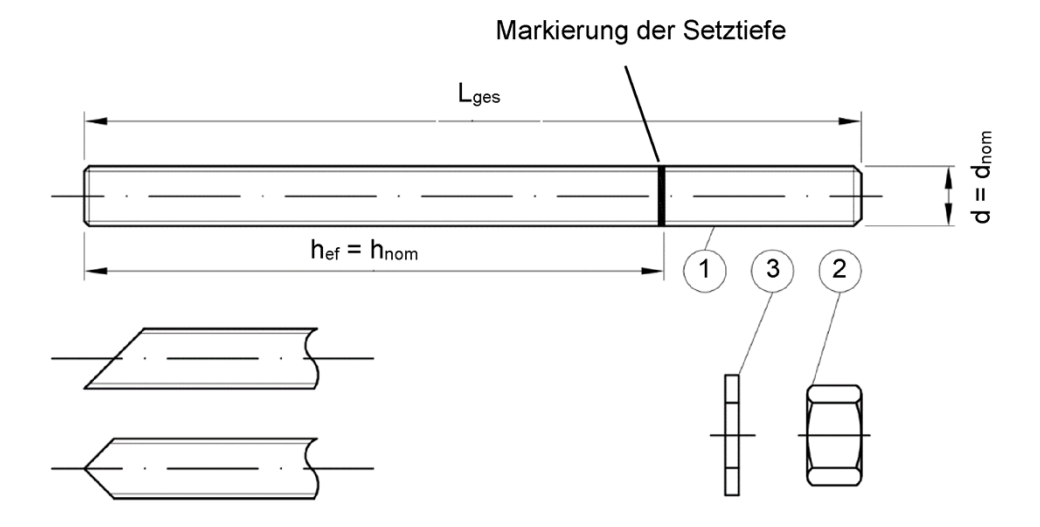
#### **Produktbeschreibung**

Injektionssystem

Anhang A 3



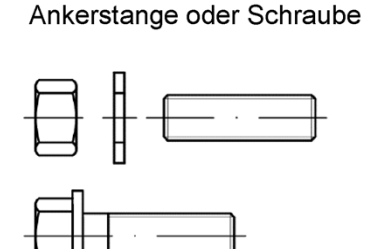
#### Gewindestange M8 bis M16 mit Unterlegscheibe und Sechskantmutter

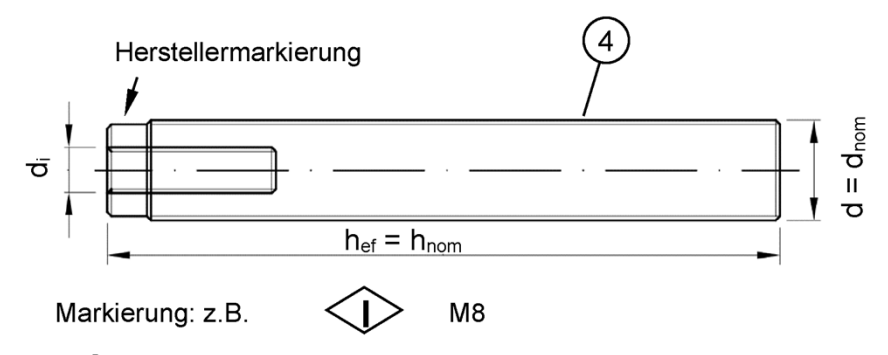


Handelsübliche Gewindestange mit:

- Werkstoff, Abmessungen und mechanische Eigenschaften gemäß Tabelle A1
- Abnahmeprüfzeugnis 3.1 gemäß EN 10204:2004. Das Dokument ist zu speichern.
- Markierung der Setztiefe

#### Innengewindeankerstange IG-M6 bis IG-M10





Ker We

Kennzeichnung Innengewinde (Optional)

Werkszeichen

M8 Gewindegröße (Innengewinde)A4 zusätzliche Kennung für nichtrostenden Stahl

HCR zusätzliche Kennung für hochkorrosionsbeständigen Stahl

zusätzliche Kennung für Festigkeitsklasse 8.8

Friulsider Injektionssystem KEM-UP + Vinylester oder Friulsider Injektionssystem KEM V für Mauerwerk

Anhang A 4

#### Produktbeschreibung

Gewindestange und Innengewindestange



_	Benennung	Werkstoff				
	hlteile aus verzinktem Stahl (				3:2017)	
- f	euerverzinkt ≥ 40 µm	gemäß EN ISO 4042:20. gemäß EN ISO 1461:20. gemäß EN ISO 17668:2	22 un		004+AC:2009 oder	
		Festigkeitsklasse		Charakteristische Zugfestigkeit	Charakteristische Streckgrenze	Bruchdehnung
			4.6	f <sub>uk</sub> = 400 N/mm <sup>2</sup>	f <sub>yk</sub> = 240 N/mm <sup>2</sup>	A <sub>5</sub> > 8%
1	Gewindestange		4.8	f <sub>uk</sub> = 400 N/mm <sup>2</sup>	f <sub>yk</sub> = 320 N/mm <sup>2</sup>	A <sub>5</sub> > 8%
•	Communications	gemäß EN ISO 898-1:2013		f <sub>uk</sub> = 500 N/mm <sup>2</sup>	f <sub>Vk</sub> = 300 N/mm <sup>2</sup>	A <sub>5</sub> > 8%
		EN 130 090-1.2013	5.8	f <sub>uk</sub> = 500 N/mm <sup>2</sup>	f <sub>Vk</sub> = 400 N/mm <sup>2</sup>	A <sub>5</sub> > 8%
			8.8	f <sub>uk</sub> = 800 N/mm <sup>2</sup>	f <sub>yk</sub> = 640 N/mm <sup>2</sup>	A <sub>5</sub> > 8%
			4	für Gewindestange	en der Klasse 4.6 od	er 4.8
2	Sechskantmutter	gemäß EN ISO 898-2:2022	5		en der Klasse 5.6 od	er 5.8
			8	für Gewindestange		
3	Unterlegscheibe	Stahl, galvanisch verzi (z.B.: EN ISO 887:200 EN ISO 7094:2000)		I ISO 7089:2000, EI	N ISO 7093:2000 od	er
		Festigkeitsklasse		Charakteristische Zugfestigkeit	Charakteristische Streckgrenze	Bruchdehnung
4	Innengewindeankerstange <sup>2)</sup>	gemäß	5.8	f <sub>uk</sub> = 500 N/mm <sup>2</sup>	f <sub>yk</sub> = 400 N/mm <sup>2</sup>	A <sub>5</sub> > 8%
		EN ISO 898-1:2013	8.8	f <sub>uk</sub> = 800 N/mm <sup>2</sup>	f <sub>yk</sub> = 640 N/mm <sup>2</sup>	A <sub>5</sub> > 8%
Ni	chtrostender Stahl A2 (Werks chtrostender Stahl A4 (Werks chkorrosionsbeständiger Sta	toff 1.4401 / 1.4404 / 1.4 ahl (Werkstoff 1.4529 od	1571 <i>i</i>	/ 1.4362 oder 1.457	8, gemäß EN 10088	-1:2023) 
		Factiakaiteklacea				
		Festigkeitsklasse		Zugfestigkeit	Streckgrenze	Bruchdehnung
1	Gewindestange <sup>1)</sup>		50	Zugfestigkeit f <sub>uk</sub> = 500 N/mm²		Bruchdehnung $A_5 > 8\%$
1	Gewindestange <sup>1)</sup>	gemäß			Streckgrenze	
1	Gewindestange <sup>1)</sup>			f <sub>uk</sub> = 500 N/mm <sup>2</sup> f <sub>uk</sub> = 700 N/mm <sup>2</sup>	Streckgrenze f <sub>yk</sub> = 210 N/mm²	A <sub>5</sub> > 8%
1	, and the second	gemäß EN ISO 3506-1:2020	70 80 50	$f_{uk}$ = 500 N/mm <sup>2</sup> $f_{uk}$ = 700 N/mm <sup>2</sup> $f_{uk}$ = 800 N/mm <sup>2</sup> für Gewindestange	Streckgrenze $f_{yk} = 210 \text{ N/mm}^2$ $f_{yk} = 450 \text{ N/mm}^2$ $f_{yk} = 600 \text{ N/mm}^2$ en der Klasse 50	A <sub>5</sub> > 8%
2	Gewindestange <sup>1)</sup> Sechskantmutter <sup>1)</sup>	gemäß	70 80 50 70	f <sub>uk</sub> = 500 N/mm <sup>2</sup> f <sub>uk</sub> = 700 N/mm <sup>2</sup> f <sub>uk</sub> = 800 N/mm <sup>2</sup> für Gewindestange für Gewindestange	Streckgrenze $f_{yk} = 210 \text{ N/mm}^2$ $f_{yk} = 450 \text{ N/mm}^2$ $f_{yk} = 600 \text{ N/mm}^2$ en der Klasse 50 en der Klasse 70	A <sub>5</sub> > 8% A <sub>5</sub> > 8%
	, and the second	gemäß EN ISO 3506-1:2020 gemäß EN ISO 3506-1:2020	70 80 50 70 80	f <sub>uk</sub> = 500 N/mm <sup>2</sup> f <sub>uk</sub> = 700 N/mm <sup>2</sup> f <sub>uk</sub> = 800 N/mm <sup>2</sup> für Gewindestange für Gewindestange für Gewindestange	Streckgrenze $f_{yk} = 210 \text{ N/mm}^2$ $f_{yk} = 450 \text{ N/mm}^2$ $f_{yk} = 600 \text{ N/mm}^2$ en der Klasse 50 en der Klasse 70	A <sub>5</sub> > 8% A <sub>5</sub> > 8%
	, and the second	gemäß EN ISO 3506-1:2020 gemäß	70 80 50 70 80 42, A4	f <sub>uk</sub> = 500 N/mm <sup>2</sup> f <sub>uk</sub> = 700 N/mm <sup>2</sup> f <sub>uk</sub> = 800 N/mm <sup>2</sup> für Gewindestange für Gewindestange für Gewindestange für Gewindestange für Gewindestange	Streckgrenze $f_{yk} = 210 \text{ N/mm}^2$ $f_{yk} = 450 \text{ N/mm}^2$ $f_{yk} = 600 \text{ N/mm}^2$ en der Klasse 50 en der Klasse 70 en der Klasse 80	A <sub>5</sub> > 8% A <sub>5</sub> > 8% A <sub>5</sub> > 8%
2	Sechskantmutter <sup>1)</sup> Unterlegscheibe	gemäß EN ISO 3506-1:2020  gemäß EN ISO 3506-1:2020  Nichtrostender Stahl A (z.B.: EN ISO 887:200	70 80 50 70 80 A2, A4 96, EN	f <sub>uk</sub> = 500 N/mm <sup>2</sup> f <sub>uk</sub> = 700 N/mm <sup>2</sup> f <sub>uk</sub> = 800 N/mm <sup>2</sup> für Gewindestange für Gewindestange für Gewindestange für Gewindestange für Gewindestange I SO 7089:2000, E  Charakteristische Zugfestigkeit	Streckgrenze $f_{yk} = 210 \text{ N/mm}^2$ $f_{yk} = 450 \text{ N/mm}^2$ $f_{yk} = 600 \text{ N/mm}^2$ en der Klasse 50 en der Klasse 70 en der Klasse 80  N ISO 7093:2000 od  Charakteristische Streckgrenze	$A_5 > 8\%$ $A_5 > 8\%$ $A_5 > 8\%$ $A_5 > 8\%$ Her  Bruchdehnung
2	Sechskantmutter <sup>1)</sup>	gemäß EN ISO 3506-1:2020  gemäß EN ISO 3506-1:2020  Nichtrostender Stahl A (z.B.: EN ISO 887:200 EN ISO 7094:2000)	70 80 50 70 80 A2, A4 66, EN	f <sub>uk</sub> = 500 N/mm <sup>2</sup> f <sub>uk</sub> = 700 N/mm <sup>2</sup> f <sub>uk</sub> = 800 N/mm <sup>2</sup> für Gewindestange Für Ge	Streckgrenze $f_{yk} = 210 \text{ N/mm}^2$ $f_{yk} = 450 \text{ N/mm}^2$ $f_{yk} = 600 \text{ N/mm}^2$ en der Klasse 50 en der Klasse 70 en der Klasse 80  N ISO 7093:2000 od  Charakteristische Streckgrenze $f_{yk} = 210 \text{ N/mm}^2$	$A_5 > 8\%$ $A_5 > 8\%$ $A_5 > 8\%$ $A_5 > 8\%$
2	Sechskantmutter <sup>1)</sup> Unterlegscheibe	gemäß EN ISO 3506-1:2020  gemäß EN ISO 3506-1:2020  Nichtrostender Stahl A (z.B.: EN ISO 887:200 EN ISO 7094:2000)  Festigkeitsklasse	70 80 50 70 80 A2, A4 66, EN	f <sub>uk</sub> = 500 N/mm <sup>2</sup> f <sub>uk</sub> = 700 N/mm <sup>2</sup> f <sub>uk</sub> = 800 N/mm <sup>2</sup> für Gewindestange für Gewindestange für Gewindestange für Gewindestange für Gewindestange I SO 7089:2000, E  Charakteristische Zugfestigkeit	Streckgrenze $f_{yk} = 210 \text{ N/mm}^2$ $f_{yk} = 450 \text{ N/mm}^2$ $f_{yk} = 600 \text{ N/mm}^2$ en der Klasse 50 en der Klasse 70 en der Klasse 80  N ISO 7093:2000 od  Charakteristische Streckgrenze	$A_5 > 8\%$ $A_5 > 8\%$ $A_5 > 8\%$ $A_5 > 8\%$ Her  Bruchdehnung
2 3 4	Sechskantmutter <sup>1)</sup> Unterlegscheibe Innengewindeankerstange <sup>2)</sup> Festigkeitsklasse 80 nur für nich Bei Verwendung von Innengewindestens dem Werkstoff und	gemäß EN ISO 3506-1:2020  gemäß EN ISO 3506-1:2020  Nichtrostender Stahl A (z.B.: EN ISO 887:200 EN ISO 7094:2000)  Festigkeitsklasse  gemäß EN ISO 3506-1:2020  htrostenden Stahl A4 und	70 80 50 70 80 A2, A4 6, EN 50 70 hochlaraube	f <sub>uk</sub> = 500 N/mm <sup>2</sup> f <sub>uk</sub> = 700 N/mm <sup>2</sup> f <sub>uk</sub> = 800 N/mm <sup>2</sup> für Gewindestange für	Streckgrenze $f_{yk} = 210 \text{ N/mm}^2$ $f_{yk} = 450 \text{ N/mm}^2$ $f_{yk} = 600 \text{ N/mm}^2$ en der Klasse 50 en der Klasse 70 en der Klasse 80  N ISO 7093:2000 od  Charakteristische Streckgrenze $f_{yk} = 210 \text{ N/mm}^2$ $f_{yk} = 450 \text{ N/mm}^2$ en Stahl HCR gen (inkl. Mutter und L	$A_5 > 8\%$ $A_5 > 8\%$ $A_5 > 8\%$ Her  Bruchdehnung $A_5 > 8\%$ $A_5 > 8\%$ Justification of the second of the sec
2 3 4 1) 2)	Sechskantmutter <sup>1)</sup> Unterlegscheibe Innengewindeankerstange <sup>2)</sup> Festigkeitsklasse 80 nur für nich Bei Verwendung von Innengewindestens dem Werkstoff und Inststoffsiebhülse	gemäß EN ISO 3506-1:2020  gemäß EN ISO 3506-1:2020  Nichtrostender Stahl A (z.B.: EN ISO 887:200 EN ISO 7094:2000)  Festigkeitsklasse  gemäß EN ISO 3506-1:2020  htrostenden Stahl A4 und	70 80 50 70 80 A2, A4 6, EN 50 70 hochlaraube	f <sub>uk</sub> = 500 N/mm <sup>2</sup> f <sub>uk</sub> = 700 N/mm <sup>2</sup> f <sub>uk</sub> = 800 N/mm <sup>2</sup> für Gewindestange für Ge	Streckgrenze  fyk = 210 N/mm²  fyk = 450 N/mm²  fyk = 600 N/mm²  en der Klasse 50 en der Klasse 70 en der Klasse 80  N ISO 7093:2000 od  Charakteristische Streckgrenze  fyk = 210 N/mm²  fyk = 450 N/mm²  en Stahl HCR gen (inkl. Mutter und Ledestangen entspreche	$A_5 > 8\%$ $A_5 > 8\%$ $A_5 > 8\%$ Her  Bruchdehnung $A_5 > 8\%$ $A_5 > 8\%$ Justification of the second of the sec
2 3 4 1) 2)	Sechskantmutter <sup>1)</sup> Unterlegscheibe Innengewindeankerstange <sup>2)</sup> Festigkeitsklasse 80 nur für nich Bei Verwendung von Innengewindestens dem Werkstoff und	gemäß EN ISO 3506-1:2020  gemäß EN ISO 3506-1:2020  Nichtrostender Stahl A (z.B.: EN ISO 887:200 EN ISO 7094:2000)  Festigkeitsklasse  gemäß EN ISO 3506-1:2020  htrostenden Stahl A4 und	70 80 50 70 80 A2, A4 6, EN 50 70 hochlaraube	f <sub>uk</sub> = 500 N/mm <sup>2</sup> f <sub>uk</sub> = 700 N/mm <sup>2</sup> f <sub>uk</sub> = 800 N/mm <sup>2</sup> für Gewindestange für	Streckgrenze  fyk = 210 N/mm²  fyk = 450 N/mm²  fyk = 600 N/mm²  en der Klasse 50 en der Klasse 70 en der Klasse 80  N ISO 7093:2000 od  Charakteristische Streckgrenze  fyk = 210 N/mm²  fyk = 450 N/mm²  en Stahl HCR gen (inkl. Mutter und Ledestangen entspreche	$A_5 > 8\%$ $A_5 > 8\%$ $A_5 > 8\%$ Her  Bruchdehnung $A_5 > 8\%$ $A_5 > 8\%$ Justification of the second of the sec
2 3 4 1) 2) <b>Ku</b> Si	Sechskantmutter <sup>1)</sup> Unterlegscheibe Innengewindeankerstange <sup>2)</sup> Festigkeitsklasse 80 nur für nich Bei Verwendung von Innengewindestens dem Werkstoff und Inststoffsiebhülse	gemäß EN ISO 3506-1:2020  gemäß EN ISO 3506-1:2020  Nichtrostender Stahl A (z.B.: EN ISO 887:200 EN ISO 7094:2000)  Festigkeitsklasse  gemäß EN ISO 3506-1:2020  htrostenden Stahl A4 und indestangen müssen Sch der Festigkeitsklasse der	70 80 70 80 A2, A4 66, EN 70 hochiraube	f <sub>uk</sub> = 500 N/mm <sup>2</sup> f <sub>uk</sub> = 700 N/mm <sup>2</sup> f <sub>uk</sub> = 800 N/mm <sup>2</sup> für Gewindestange for HCR ISO 7089:2000, E  Charakteristische Zugfestigkeit f <sub>uk</sub> = 500 N/mm <sup>2</sup> f <sub>uk</sub> = 700 N/mm <sup>2</sup> korrosionsbeständige en und Gewindestangendeten Innengewind	Streckgrenze  fyk = 210 N/mm²  fyk = 450 N/mm²  fyk = 600 N/mm²  en der Klasse 50 en der Klasse 70 en der Klasse 80  N ISO 7093:2000 od  Charakteristische Streckgrenze  fyk = 210 N/mm²  fyk = 450 N/mm²  en Stahl HCR gen (inkl. Mutter und Ledestangen entspreche	$A_5 > 8\%$ $A_5 > 8\%$ $A_5 > 8\%$ Her  Bruchdehnung $A_5 > 8\%$ $A_5 > 8\%$ Justification of the second of the sec



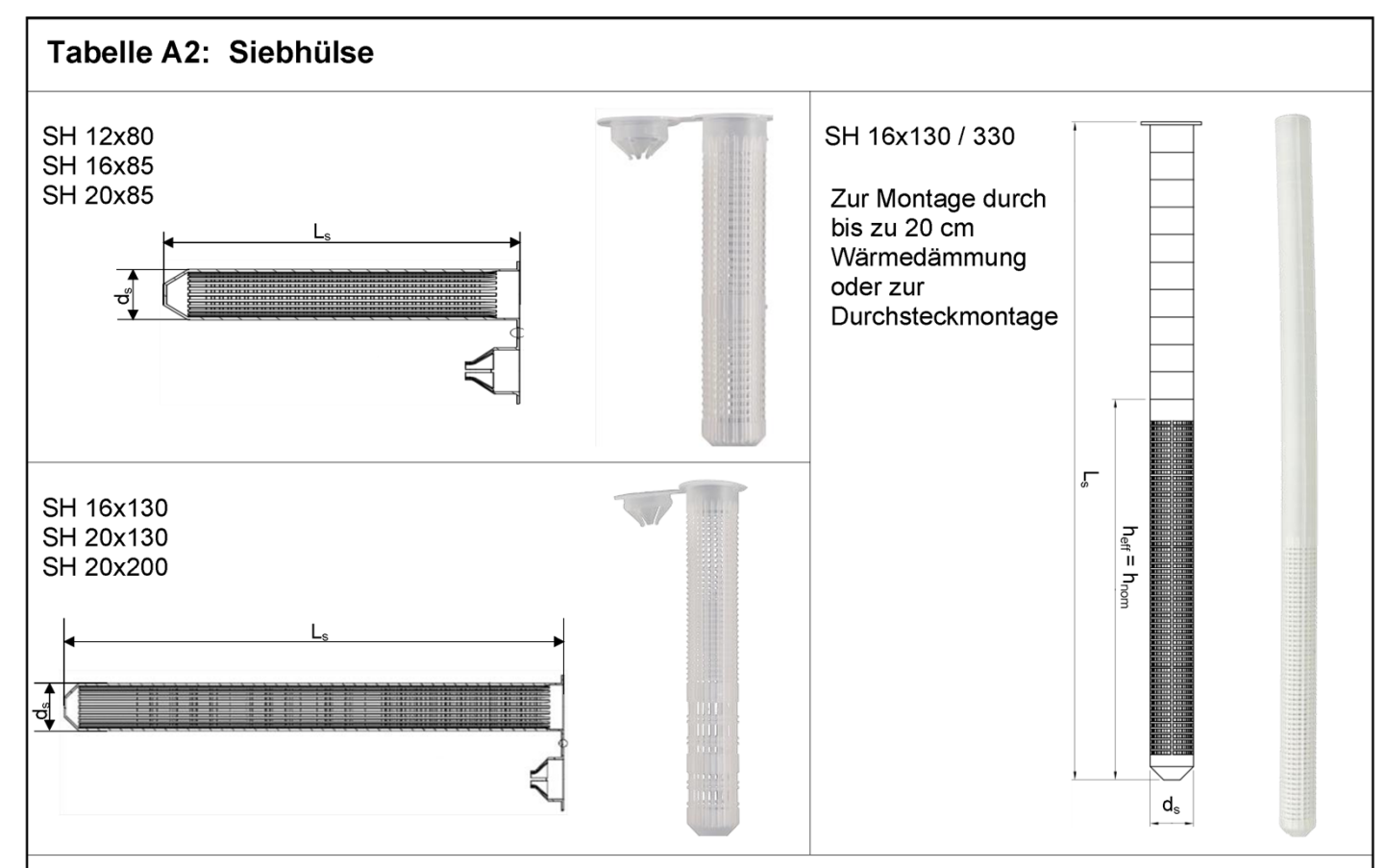


Tabelle A3: Abmessungen Siebhülse

	Siebhülse							
Größe	Größe d <sub>s</sub> L <sub>s</sub>							
[mm]	[mm]	[mm]	[mm]					
SH 12x80	12	80	80					
SH 16x85	16	85	85					
SH 16x130	16	130	130					
SH 16x130 / 330 <sup>1)</sup>	16	330	130					
SH 20x85	20	85	85					
SH 20x130	20	130	130					
SH 20x200	20	200	200					

<sup>1)</sup> In den Anhängen C 4 – C 56 ist diese Siebhülse mit der SH 16x130 abgedeckt

Tabelle A4: Stahlteile

	Ankerstange								
Größe	d= d <sub>nom</sub>	di	Iges						
[mm]	[mm]	[mm]	[mm]						
IG-M6 <sup>1)</sup>	10	6	NAME OF A LANGE AND A STATE OF A						
IG-M8 <sup>1)</sup>	12	8	Mit Siebhülse: h <sub>ef</sub> - 5mm Ohne Siebhülse: h <sub>ef</sub>						
IG-M10 <sup>1)</sup>	16	10	Office Stephnise. Her						
M8	8	-	h <sub>ef</sub> + t <sub>fix</sub> + 9,5						
M10	10	-	h <sub>ef</sub> + t <sub>fix</sub> + 11,5						
M12	12	-	$h_{ef} + t_{fix} + 17,5$						
M16	16	-	$h_{ef} + t_{fix} + 20,0$						

<sup>1)</sup> Innengewindestange mit metrischem Außengewinde

0 0	
Friulsider Injektionssystem KEM-UP + Vinylester oder Friulsider Injektionssystem KEM V für Mauerwerk	
Produktbeschreibung Siebhülse und Stahlteile	Anhang A 6



Spezifizierung des Ver	wendungszwecks					
Beanspruchung der Verankerung	Statische und quasi-statische Lasten, Brandeinwirkung unter Zug- und Querbeanspruchung M8 bis M16, IG-M6 bis IG-M10 (mit und ohne Siebhülse	e)				
Verankerungsgrund	Gruppe Mauerwerk b: Vollsteine Gruppe Mauerwerk c: Loch- und Hohlsteine Gruppe Mauerwerk d: Porenbeton	Anhang B 2 Anhang B 2 bis B 4 Anhang B 2				
	Mörtelfestigkeitsklasse des Mauerwerks mindestens M2,5 nach EN 998-2:2016 Bei anderen Steinen im Vollsteinmauerwerk, Lochsteinmauerwerk oder Porenb darf die charakteristische Tragfähigkeit des Dübels durch Test auf der Baustelle entsprechend EOTA TR 053, Fassung Juli 2022 unter Berücksichtigung des ß-Faktors von Anhang C1, Tabelle C1 ermittelt werden.					
Bohrlocherstellung	Siehe Anlage C 4 – C 56					
Nutzungsbedingungen	Bedingung d/d: Installation und Verwendung in trocken Bedingung w/w: Installation und Verwendung in trocken (inkl. w/d Installation im nassem Maue im trockenem Mauerwerk)	nem oder nassem Mauerwerk				
Temperaturbereich	T <sub>a</sub> : - 40°C bis +40°C (max. Kurzzeittemperatur +40°C und max. Langzeittem T <sub>b</sub> : - 40°C bis +80°C (max. Kurzzeittemperatur +80°C und max. Langzeittem T <sub>a</sub> : - 40°C bis +120°C (max. Kurzzeittemperatur +120°C und max. Langzeitter	peratur +50°C)				
Remerkung: Der charakterisch	ne Widerstand für Vollsteine und Porenbeton gilt auch für größere					

Bemerkung: Der charakterische Widerstand für Vollsteine und Porenbeton gilt auch für größere Steindurchmesser und höhere Steindruckfestigkeiten.

#### Anwendungsbedingungen (Umweltbedingungen):

- Bauteile unter den Bedingungen trockener Innenräume (alle Materialien).
- Für alle anderen Bedingungen gemäß EN 1993-1-4:2006 + A1:2015 entsprechend den Korrosionsbeständigkeitsklassen nach Tabelle A1 (nichtrostende und hochkorrosionsbeständige Stähle)

#### Bemessung:

- Unter Berücksichtigung des Mauerwerks im Verankerungsbereich, der zu verankernden Lasten und der Weiterleitung der Lasten sind prüfbare Berechnungen und Konstruktionszeichnungen anzufertigen. Auf den Konstruktionszeichnungen ist die Lage des Dübels angegeben.
- Die Bemessung der Verankerungen erfolgt, gemäß EOTA TR 054, Fassung Juli 2022, unter der Verantwortung eines auf dem Gebiet der Verankerungen und des Mauerwerksbaus erfahrenen Ingenieurs.
- Gültig für alle Steine, falls keine anderen Werte spezifiziert sind:
  - $N_{Rk} = N_{Rk,b} = N_{Rk,p} = N_{Rk,b,c} = N_{Rk,p,c}$
  - $V_{Rk} = V_{Rk,b} = V_{Rk,c,II} = V_{Rk,c,\perp}$
- Für die Berechnung für das Herausziehen eines Steines unter Zugbeanspruchung N<sub>Rk,pb</sub> oder das Herausdrücken eines Steines unter Querbeanspruchung V<sub>Rk,pb</sub> siehe EOTA Technical Report TR 054, Fassung Juli 2022.
- N<sub>Rk,s</sub>, V<sub>Rk,s</sub> und M<sup>0</sup><sub>Rk,s</sub> siehe Anhang C 1 C 2.
- Bei Anwendungen mit Siebhülse mit Bohrlochdurchmessern ≤15mm, installiert in nichtgefüllte Fugen:
  - $N_{Rk,p,i} = 0.18 * N_{Rk,p}$  und  $N_{Rk,b,i} = 0.18 * N_{Rk,b}$

 $(N_{Rk,p} = N_{Rk,b} \text{ siehe Anhang C 4 bis C 56})$ 

•  $V_{Rk,c,j} = 0.15 * V_{Rk,c}$  und  $V_{Rk,b,j} = 0.15 * V_{Rk,b}$ 

(V<sub>Rk,b</sub> siehe Anhang C 4 bis C 56; V<sub>Rk,c</sub> siehe Anhang C 3)

- Anwendung ohne Siebhülse installiert in nichtgefüllte Fugen, sind nicht erlaubt.

#### Einbau:

- Der Einbau der Verankerung muss von entsprechend qualifiziertem Personal und unter der Aufsicht der für die technischen Belange der Baustelle zuständigen Person durchgeführt werden.

Friulsider Injektionssystem KEM-UP + Vinylester oder Friulsider Injektionssystem KEM V für Mauerwerk	
Verwendungszweck Spezifikationen	Anhang B 1



Bezeichnung Rohdichte [kg/dm³] Abmessungen LxBxH [mm] Anhang	Foto	Ankerstange	Siebhülse	Bezeichnung Rohdichte [kg/dm³] Abmessungen LxBxH [mm] Anhang	Foto	Ankerstange	Siebhülse
Porenbeton gemä EN 771-4:2011+A1				Leichtbetonvollste EN 771-3:2011+A1			
AAC ρ = 0,35 - 0,60 ≥ 499x240x249 Tabelle C4 - C10	I	M8 - M16 IG-M6 - IG-M10	12x80 16x85 16x130 20x85 20x130 20x200	VBL ρ≥ 0,6 ≥ 240x300x113 Tabelle C 187- C193		M8 - M16 IG-M6 - IG-M10	12x80 16x85 16x130 20x85 20x130 20x200
	Leichtb	etonlochst	eine gen	näß EN 771-3:2011	+A1:2015		
HBL 16DF ρ≥ 1,0 500x250x240 Tabelle C172– C179		M8 - M16 IG-M6 - IG-M10	16x85 16x130 20x85 20x130 20x200	Bloc creux B40 ρ≥ 0,8 495x195x190 Tabelle C180 – C186	EEE	M8 - M16 IG-M6 - IG-M10	16x130 20x130
	Kalksan	dsteine ge	mäß EN	771-2:2011+A1:201	15		
KS ρ≥ 2,0 ≥ 240x115x71 Tabelle C11 – C18		M8 – M16 IG-M6 - IG-M10	12x80 16x85 16x130 20x85 20x130 20x200	KSL-3DF ρ≥ 1,4 240x175x113 Tabelle C19 – C25		M8 - M16 IG-M6 - IG-M10	16x85 16x130 20x85 20x130
KSL-8DF ρ≥ 1,4 248x240x238 Tabelle C26 – C32	88	M8-M16 IG-M6 - IG-M10	16x130 20x130 20x200	KSL-12DF ρ≥ 1,4 498x175x238 Tabelle C33 – C40		M8 - M16 IG-M6 - IG-M10	16x130 20x130
	V	ollziegel g	emäß EN	771-1:2011+A1:20	)15		
Mz-1DF ρ ≥ 2,0 ≥ 240x115x55 Tabelle C41 – C47		M8 - M16 IG-M6 - IG-M10	12x80 16x85 16x130 20x85 20x130 20x200	Mz – 2 DF ρ ≥ 2,0 ≥ 240x115x113 Tabelle C48 – C55		M8 - M16 IG-M6 - IG-M10	12x80 16x85 16x130 20x85 20x130 20x200
	onssystem KEM-U n KEM V für Mauer		ster oder	Friulsider	Δr	nhang B 2	



Bezeichnung Rohdichte [kg/dm³] Abmessungen LxBxH [mm] Anhang	Foto	Ankerstange	Siebhülse	Bezeichnung Rohdichte [kg/dm³] Abmessungen LxBxH [mm] Anhang	Foto	Ankerstange	Siebhülse
	Lo	chziegel g	emäß EN	771-1:2011+A1:20	15		
Hlz-10DF ρ ≥ 1,25 300x240x249 Tabelle C56 - C63		M8 - M16 IG-M6 - IG-M10	12x80 16x85 16x130 20x85 20x130 20x200	Porotherm Homebric ρ ≥ 0,7 500x200x299 Tabelle C64 – C70		M8 - M16 IG-M6 - IG-M10	12x80 16x83 16x13 20x83 20x13
BGV Thermo ρ ≥ 0,6 500x200x314 Tabelle C71 – C77		M8 - M16 IG-M6 - IG-M10	12x80 16x85 16x130 20x85 20x130	Brique creuse C40 ρ ≥ 0,7 500x200x200 Tabelle C92 – C98		M8 - M16 IG-M6 - IG-M10	12x80 16x89 16x13 20x89 20x13
Calibric R+ ρ ≥ 0,6 500x200x314 Tabelle C78 – C84		M8 - M16 IG-M6 - IG-M10	12x80 16x85 16x130 20x85 20x130	Blocchi Leggeri ρ ≥ 0,6 250x120x250 Tabelle C99 – C105		M8 - M16 IG-M6 - IG-M10	12x80 16x85 16x13 20x85 20x13
Urbanbric ρ ≥ 0,7 560x200x274 Tabelle C85 – C91		M8 - M16 IG-M6 - IG-M10	12x80 16x85 16x130 20x85 20x130	Doppio Uni ρ ≥ 0,9 250x120x120 Tabelle C106 – C112		M8 - M16 IG-M6 - IG-M10	12x80 16x85 16x13 20x85 20x13
	Lochziegel n	nit Wärmed	lämmun	g gemäß EN 771-1:	2011+A1:2015		
Coriso WS07 ρ ≥ 0,55 248x365x249 Mineralwolle Tabelle C113 – C119		M8 - M16 IG-M6 - IG-M10	12x80 16x85 16x130 20x85 20x130 20x200	T8P ρ ≥ 0,56 248x365x249 Perlite Tabelle C128 – C134		M8 - M16 IG-M6 - IG-M10	12x80 16x85 16x13 20x85 20x13 20x20
T7MW		M8 - M16 IG-M6 - IG-M10	12x80 16x85 16x130 20x85 20x130 20x200	Mineralwolle		M8 - M16 IG-M6 - IG-M10	12x80 16x85 16x13 20x85 20x13 20x20
Injektionssystem Verwendungszw	onssystem KEM-U n KEM V für Mauer reck igenschaften mit de	1	nang B 3				



# Tabelle B1: Übersicht der Mauersteine und Eigenschaften mit den entsprechenden Befestigungselementen (Gewindestange und Siebhülse) (Fortsetzung)

Delestiguings	belestigungselementen (Gewindestange und Siebhulse) (Fortsetzung)							
Bezeichnung Rohdichte [kg/dm²] Abmessungen LxBxH [mm] Anhang	Foto	Ankerstange	Siebhülse	Bezeichnung Rohdichte [kg/dm³] Abmessungen LxBxH [mm] Anhang	Foto	Ankerstange	Siebhülse	
	Lochziegel n	nit Wärmed	dämmun	g gemäß EN 771-1:	2011+A1:2015			
Poroton FZ7,5 ρ ≥ 0,90 248x365x249 Mineralwolle Tabelle C142 – C149		M8 - M16 IG-M6 - IG-M10	12x80 16x85 16x130 20x85 20x130 20x200	Poroton FZ9 ρ ≥ 0,90 248x365x249 Mineralwolle Tabelle C150 – C157		M8 - M16 IG-M6 - IG-M10	12x80 16x85 16x130 20x85 20x130 20x200	
Poroton S9 ρ ≥ 0,85 248x365x249 Perlite Tabelle C158 – C164		M8 - M16 IG-M6 - IG-M10	12x80 16x85 16x130 20x85 20x130 20x200	Thermopor TV8+ ρ ≥ 0,70 248x365x249 Mineralwolle Tabelle C165 – C171		M8 - M16 IG-M6 - IG-M10	12x80 16x85 16x130 20x85 20x130 20x200	

Friulsider Injektionssystem KEM-UP + Vinylester oder Friulsider
Injektionssystem KEM V für Mauerwerk

Verwendungszweck

Steintypen und Eigenschaften mit den entsprechenden Befestigungselementen

Anhang B 4



# Tabelle B2: Montagekennwerte für Porenbeton AAC und Vollstein (ohne Siebhülse) bei Vor- und Durchsteckmontage

Ankergröße				M8	M10	IG-M6	M12	IG-M8	M16	IG-M10
Bohrernenndurchmesser d <sub>0</sub> [mm]			[mm]	10	10 12 14 18			18		
Bohrlochtiefe im Mau	uerwerk	h <sub>0</sub>	[mm]	$h_{ef} + t_{fix}^{1}$						
Effektive Verankerungstiefe		h <sub>ef</sub>	[mm]	80	80 ≥90 ≥100 ≥1		100			
Durchgangsloch im anzuschließenden	Vorsteck- montage	d <sub>f</sub> ≤	[mm]	9	12	7	14	9	18	12
Bauteil	Durchsteck- montage	d <sub>f</sub> ≤	[mm]	12	14	14	16	16	20	20
Maximales Montagedrehmoment T <sub>ir</sub>			[Nm]		Siehe Anlagen C 4 – C 56					
Mindestdicke des Bauteils		h <sub>min</sub>	[mm]	h <sub>ef</sub> + 30						
Minimaler Achsabstand		s <sub>min</sub>	[mm]			Sicho A	nlagon C	4 – C 56		
Minimaler Randabsta	and	c <sub>min</sub>	[mm]			Sielle A	illagell C	4 - 0 30		

<sup>1)</sup> Bei der Duchsteckmontage t<sub>fix</sub> berücksichtigen.

# Tabelle B3: Montagekennwerte im Voll- und Lochstein (mit Siebhülse) bei Vorsteckmontage

Ankergröße	Ankergröße M8 / M10 / IG-M6			M12 / M16 / IG-M8 / IG-M10					
	Siebhi	ülse SH	12x80	16x85	16×130	16×130/330	20x85	20×130	20×200
Bohrernenndurchmesser	d <sub>0</sub>	[mm]	12	16	16	16	20	20	20
Bohrlochtiefe im Mauerwerk	h <sub>0</sub>	[mm]	85	90	135	330	90	135	205
Effektive Verankerungstiefe	h <sub>ef</sub>	[mm]	80	85	130	130	85	130	200
Durchgangsloch im anzuschließenden Bauteil d <sub>f</sub> ≤ [mm]		[mm]	9		7 (IG-M6) M8) / 12 (I		`	18) / 12 (10 112) / 18	,
Maximales Montagedrehmoment	T <sub>inst</sub>	[Nm]	m] Siehe Anlagen C 4 – C 56						
Mindestdicke des Bauteils	h <sub>min</sub>	[mm]	115	115	195	195	115	195	240
Minimaler Achsabstand s <sub>min</sub> [mm]					Ciobo A	nlagan C	4 C 56		
Minimaler Randabstand	c <sub>min</sub>	[mm]	Siehe Anlagen C 4 – C 56						

Friulsider Injektionssystem KEM-UP + Vinylester oder Friulsider Injektionssystem KEM V für Mauerwerk	
Verwendungszweck Montagekennwerte	Anhang B 5



#### Tabelle B4: Montagekennwerte im Voll- und Lochstein (mit Siebhülse) bei Vorsteckmontage durch nichttragende Schichten und/oder Durchsteckmontage

Ankergröße	M8 / I IG-	M10 / M6	M12 / M16 / IG-M8 / IG-M10				
		Siebh	ülse SH	16x130	16x130/330	20x130	20×200
Bohrernenndurchme	esser	d <sub>0</sub>	[mm]	16	16	20	20
Bohrlochtiefe im Ma	Bohrlochtiefe im Mauerwerk				h <sub>ef</sub> + 5mm	+ t <sub>nll</sub> + t <sub>fix</sub> 1)	
Effektive	Vorsteck- montage	h <sub>ef</sub>	[mm]	130	130	130	200
Verankerungstiefe	Durchsteck- montage	h <sub>ef</sub>	[mm]	85	130	85	85
Maximale Dicke der tragenden Schicht	nicht-	max t <sub>nll</sub>	[mm]	45	200	45	115
Durchgangsloch im	Vorsteck- montage	d <sub>f</sub> ≤	[mm]	7 (IG-M6) / 9 (M8) / 12 (M10)		9 (IG-M8) / 12 (IG-M10) / 14 (M12) / 18 (M16)	
anzuschließenden Bauteil Durchsteck- montage		d <sub>f</sub> ≤	[mm]	18		22	
Maximales Montagedrehmoment		T <sub>inst</sub>	[Nm]		Siehe Anlagen C 4 – C 56		
Mindestdicke des Ba	Mindestdicke des Bauteils		[mm]	195 (115)	195	195 (115)	240 (115)
Minimaler Achsabsta	and	h <sub>min</sub> s <sub>min</sub>	[mm]		Siehe Anlage	n C 4 C 56	
Minimaler Randabst	and	c <sub>min</sub>	[mm]	Siehe Anlagen C 4 – C 56			

<sup>1)</sup> Bei nichttragenden Schichten und/oder Durchsteckmontage t<sub>fix</sub> und/oder t<sub>nll</sub> berücksichtigen.

Friulsider Injektionssystem KEM-UP + Vinylester oder Friulsider Injektionssystem KEM V für Mauerwerk	
Verwendungszweck Montagekennwerte	Anhang B 6



			·····	=uuuuun []	mmm,
Gewindestange	Siebhülse	d₀ Bohrer - Ø HD, CA	Bür	d₀ rsten - Ø	d <sub>b,min</sub> min. Bürsten - <i>Ø</i>
[mm]		[mm]		[mm]	[mm]
	Porenbetor	n und Vollstein (	ohne Siebhü	lse)	
M8	-	10	SCO10	12	10,5
M10	-	12	SCO12	14	12,5
M12	-	14	SCO14	16	14,5
M16	-	18	SCO18	20	18,5
	Vollstein	und Lochstein (	mit Siebhüls	e)	
M8	SH 12x80	12	SCO12	14	12,5
0	SH 16x85				
M8 / M10 / IG-M6	10 / IG-M6 SH 16x130 16	16	SCO16	18	16,5
M8 / M10 / IG-M6	SH 16x130/330				
1140 / 1140 /	SH 20x85				
M12 / M16 / IG-M8 / IG-M10	SH 20x130	20	SCO20	22	20,5
1G-1018 / 1G-10110	SH 20x200				
Handpumpe Volumen ≥ 750 ml)	nstallationszubeh	D	ruckluftpisto nin 6 bar)	ble	
Bürste SCO	anann)).				

Friulsider Injektionssystem KEM-UP + Vinylester oder Friulsider Injektionssystem KEM V für Mauerwerk	
Verwendungszweck Reinigungs- und Installationszubehör	Anhang B 7



Temperatui	r im Verank	erungsgrund	Maximale Verarbeitungszeit	Minimale Aushärtezeit <sup>1)</sup>
	Т		t <sub>work</sub>	t <sub>cure</sub>
- 10 °C	bis	- 6°C	90 min <sup>2)</sup>	24 h
- 5°C	bis	- 1°C	90 min	14 h
0°C	bis	+ 4 °C	45 min	7 h
+ 5°C	bis	+ 9 °C	25 min	2 h
+ 10 °C	bis	+ 19°C	15 min	80 min
+ 20 °C	bis	+ 24 °C	6 min	45 min
+ 25 °C	bis	+ 29 °C	4 min	25 min
+ 30 °C	bis	+ 39 °C	2 min	20 min
	+ 40 °C		1,5 min	15 min
Kart	uschentemp	eratur	+5°C bis	+40°C

Die minimalen Aushärtezeiten gelten für trockenen Verankerungsgrund.
 In feuchtem Verankerungsgrund müssen die Aushärtezeiten verdoppelt werden.

Tabelle B7: Verarbeitungs- und Aushärtezeiten - KEM-UP + Vinylester Winter or KEM V Winter

Temperatur	r im Verank	erungsgrund	Maximale Verarbeitungszeit	Minimale Aushärtezeit <sup>1)</sup>	
	Т		t <sub>work</sub>	t <sub>cure</sub>	
- 20 °C	bis	- 16 °C	75 min	24 h	
- 15°C	bis	- 11 °C	55 min	16 h	
- 10°C	bis	- 6°C	35 min	10 h	
- 5°C	bis	- 1°C	20 min	5 h	
0°C	bis	+ 4 °C	10 min	2,5 h	
+ 5°C	bis	+ 9°C	6 min	80 min	
	+ 10 °C		6 min	60 min	
Kartı	uschentemp	eratur	-20°C bis +10°C		

Die minimalen Aushärtezeiten gelten für trockenen Verankerungsgrund.
 In feuchtem Verankerungsgrund müssen die Aushärtezeiten verdoppelt werden.

Friulsider Injektionssystem KEM-UP + Vinylester oder Friulsider Injektionssystem KEM V für Mauerwerk	
Verwendungszweck Verarbeitungs- und Aushärtezeit	Anhang B 8

<sup>2)</sup> Kartuschentemperatur muss mindestens +15°C betragen

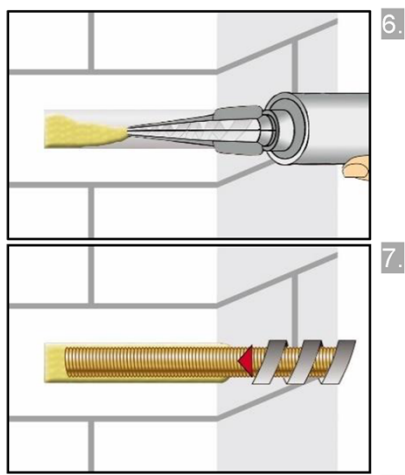


## Setzanweisung Bohrloch bis zur erforderlichen Verankerungstiefe mit Bohrverfahren gemäß Anhang C 4 - C 56 erstellen. Bohrlochdruchmesser gemäß Tabellen B5. Bohrloch vom Bohrlochgrund her mindestens 2x mit einer Handpumpe oder Druckluft (Anhang B 7) ausblasen. Bei Anwendungen in Vollstein mit einer Bohlochtiefe h<sub>0</sub> > 100mm ist die Reinigung mit Druckluft notwendig. Bürste SCO gemäß Tabelle B5 an eine Bohrmaschine oder einen Akku-2xSchraubendreher anschließen. Bohrloch mindestens 2x drehend über die gesamte Verankerungstiefe (ggf. Bürstenverlängerung RBL verwenden) ausbürsten. Abschließend Bohrloch vom Bohrlochgrund her mindestens 2x mit einer Handpumpe oder Druckluft (Anhang B 7) ausblasen. Bei Anwendungen in Vollstein mit einer Bohlochtiefe ho > 100mm ist die Reinigung mit Druckluft notwendig. Statikmischer MIX / MIX+ aufschrauben und Kartusche in geeignetes Auspressgerät einlegen. Ggf. Schlauchfolienclip vor Verwendung abschneiden. Bei Arbeitsunterbrechungen, länger als die maximale Verarbeitungszeit t<sub>work</sub> (Anhang B 8) und bei neuen Kartuschen, neuen Statikmischer verwenden. Verankerungstiefe auf der Ankerstange markieren. Bei nichttragenden Schichten und/oder Durchsteckmontage t<sub>fix</sub> und/oder t<sub>nll</sub> berücksichtigen. Die Ankerstange muss frei von Schmutz-, Fett. Öl und anderen Fremdmaterialien sein. $h_{ef} + (t_{nll}) + (t_{fix})$ Nicht vollständig gemischter Mörtel ist nicht zur Befestigung geeignet. Mörtel verwerfen, bis sich gleichmäßig graue Mischfarbe eingestellt hat (mindestens 3 volle Hübe, bei Schlauchfolienkartuschen min. 6 Hübe) Friulsider Injektionssystem KEM-UP + Vinylester oder Friulsider Injektionssystem KEM V für Mauerwerk Anhang B 9 Verwendungszweck Setzanweisung



#### Setzanweisung (Fortsetzung)

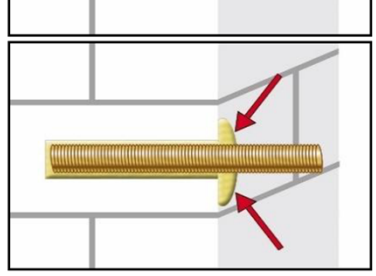
#### Installation ohneSiebhülse



Bohrloch vom Bohrlochgrund (ggf. Mischerverlängerung VL verwenden) her ca. zu 2/3 mit Mörtel befüllen. Langsames Zurückziehen des Statikmischers vermindert die Bildung von Lufteinschlüssen.

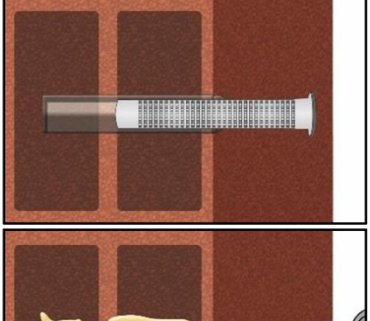
Temperaturabhängige Verarbeitungszeiten t<sub>work</sub> (Anhang B 8) beachten.

Ankerstange mit leichten Drehbewegungen bis zur Markierung einführen.



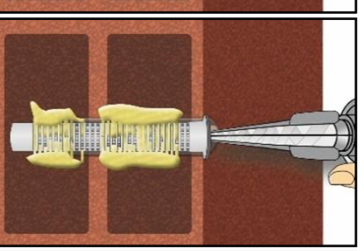
Ringspalt zwischen Ankerstange und Verankerungsgrund muss vollständig mit Mörtel gefüllt sein. Bei Durchsteckmontage muss auch der Ringspalt im Anbauteil mit Mörtel verfüllt sein. Andernfalls Anwendung vor Erreichen der maximalen Verarbeitungszeit t<sub>work</sub> ab Schritt 6 wiederholen.

#### Installation mit Siebhülse



Siebhülse bündig mit der Oberfläche des Verankerungsgrundes in das Bohrloch einstecken. Siebhülse im Verankerungsbereich ( $h_{\rm ef}$ ) niemals verändern.

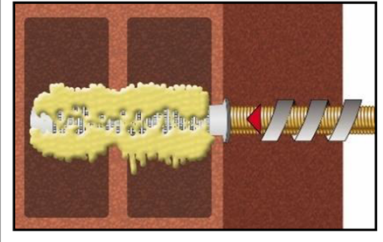
Bei Durchsteckmontage mit Siebhülse SH 16x130/330 durch eine nichttragende Schicht und/oder Anbauteil, darf der Klemmbereich auf die Dicke der nicht-tragenden Schicht und/oder Anbauteil gekürzt werden.



Siebhülse vom Grund (ggf. Mischerverlängerung VL verwenden) her mit Mörtel füllen.

Exakte Mörtelmenge dem Kartuschenetikett oder der Montageanleitung entnehmen. Bei Durchsteckmontage durch das Anbauteil muss die Siebhülse zusätzlich bis ins Anbauteil komplett mit Mörtel verfüllt sein.

Temperaturabhängige Verarbeitungszeiten  $t_{work}$  (Anhang B 8) beachten.



Ankerstange mit leichten Drehbewegungen bis zur Markierung einführen.

Friulsider Injektionssystem KEM-UP + Vinylester oder Friulsider Injektionssystem KEM V für Mauerwerk

7.

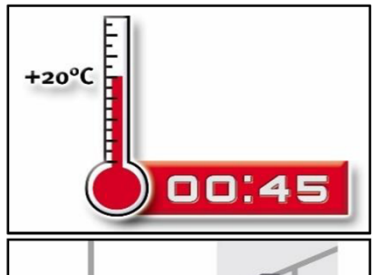
Verwendungszweck

Setzanweisung (Fortsetzung)

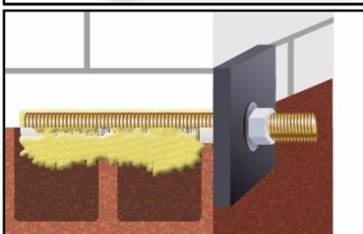
Anhang B 10



#### Setzanweisung (Fortsetzung)



Temperaturabhängige Aushärtezeit t<sub>cure</sub> (Anhang B 8) muss eingehalten werden. Anker während der Aushärtezeit nicht bewegen oder belasten.



Anbauteil mit kalibriertem Drehmomentschlüssel montieren. Maximales Montagedrehmoment (Anhang C 4 bis C 56) beachten.

Friulsider Injektionssystem KEM-UP + Vinylester oder Friulsider Injektionssystem KEM V für Mauerwerk

Verwendungszweck

Setzanweisung (Fortsetzung)

Anhang B 11



									β-Fa	aktor		
Untergrundmaterial	Δnke	rgröße	Siebhül	H2 as	Setz	tiefe	T <sub>a</sub> : 40°C	/ 24°C	T <sub>b</sub> : 80°	C / 50°C		20°C / 2°C
	Aliko	igiose	Olebilai	30 011	h	ef	d/d	w/d w/w	d/d	w/d w/w	d/d	w/d w/w
Porenbeton	alle G	Größen	mit und o	hne SH	а	le	0,95	0,86	0,81	0,73	0,81	0,73
	d <sub>0</sub> ≤ 1	l4 mm			_		0,93	0,80	0,87	0,74	0,65	0,56
	d <sub>0</sub> ≥ 1	l6 mm	mit S	эн	а	le -	0,93	0,93	0,87	0,87	0,65	0,65
Kalksandsteine	d <sub>0</sub> ≤ 1	l4 mm	ohne	CLI	~ 10t	0 mm	0,93	0,80	0,87	0,74	0,65	0,56
	d <sub>0</sub> ≥ 1	l6 mm	onne	δП	> 100		0,93	0,93	0,87	0,87	0,65	0,65
	alle G	Größen	ohne	SH	> 100	0 mm	0,93	0,56	0,87	0,52	0,65	0,40
			mit S	SH	а	le	0,86	0,86	0,86	0,86	0,73	0,73
Ziegelsteine	alle G	Größen	ohne	SH	≤ 100	0 mm	0,86	0,86	0,86	0,86	0,73	0,73
			ohne	SH	> 100	0 mm	0,86	0,43	0,86	0,43	0,73	0,37
Betonsteine	d <sub>0</sub> ≤ 1	2 mm	mit und o	hne SH	а	le -	0,93	0,80	0,87	0,74	0,65	0,56
200000000000	d <sub>0</sub> ≥ 1	16 mm	Time direct				0,93	0,93	0,87	0,87	0,65	0,65
	arakte	ristisc	he Werte	der St	ahltra	gfähig	keit					
Ankergröße						M8	M10	M12	M16	IG-M6	IG-M8	IG-M1
Spannungsquerschnit		4		A <sub>s</sub>	[mm²]	36,6	58	84,3	157	-	-	-
Charakteristische Zu	gtragf											T
Stahl, Festigkeitsklasse 5.		4.6 und		$N_{Rk,s}$	[kN]	15 (13)	23 (21)	34	63	_3)	_3)	_3)
		5.6 und	d 5.8	N <sub>Rk,s</sub>	[kN]	18 (17)	29 (27)	42	78	10	17	29
	8.8			$N_{Rk,s}$	[kN]	29 (27)	46 (43)	67	125	16	27	46
Nichtrostender Stahl A	\2, A4	50		$N_{Rk,s}$	[kN]	18	29	42	79	_3)	_3)	_3)
und HCR, Festigkeitsk		70	N <sub>Rk,s</sub>		[kN]	26	41	59	110	14	26	41
(A2 nur Klasse 50 und		80	$N_{Rk,s}$		[kN]			67	126	_3)	_3)	_3)
Charakteristische Zu	gtragf			rheitsb		2)					2)	
Stahl, Festigkeitsklass	se	4.6 und		γ <sub>Ms,N</sub>	[-]		2,	0			_3)	
		<del>- '</del> -	3 und 8.8	γ <sub>Ms,N</sub>	[-]				1,5			
Nichtrostender Stahl A		50		γ <sub>Ms,N</sub>	[-]	2,86					_3)	
und HCR, Festigkeitsk		70		γMs,N	[-]				1,87			
(A2 nur Klasse 50 und		80		$\gamma_{Ms,N}$	[-]			6			_3)	
Charakteristische Qu	uertrag			rsagen	ohne F		1	I		3)	3)	3)
		4.6 und		V <sup>0</sup> <sub>Rk,s</sub>	[kN]	7 (6)	12 (10)	17	31	_3)	_3)	_3)
Stahl, Festigkeitsklass	se	5.6 und	d 5.8	V <sup>0</sup> Rk,s	[kN]	9 (8)	15 (13)	21	39	5	9	15
		8.8		$V^0_{Rk,s}$	[kN]	15 (13)	23 (21)	34	63	8	14	23
Nichtrostender Stahl A		50		V <sup>0</sup> Rk,s	[kN]	9	15	21	39	_3)	_3)	_3)
und HCR, Festigkeitsk		70		V <sup>0</sup> Rk,s	[kN]	13	20	30	55	7	13	20
(A2 nur Klasse 50 und	1 70)	80		$V^0_{Rk,s}$	[kN]	15	23	34	63	_3)	_3)	_3)
Friulsider Injektion				nylester	oder	Friulsid	er					
<b>Leistungen</b> β-Faktoren für Baus Charakteristische St										Anhar	ng C 1	



Ankergröße				M8	M10	M12	M16	IG-M6	IG-M8	IG-M10
Spannungsquerschnitt		A <sub>s</sub>	[mm²]	36,6	58	84,3	157	-	-	-
Charakteristische Quertrag	fähigkeit, Stahlve	rsagen ı	nit He	belarm <sup>1</sup>	)			•		
	4.6 und 4.8	M <sup>0</sup> <sub>Rk,s</sub>	[Nm]	15 (13)	30 (27)	52	133	_3)	_3)	_3)
Stahl, Festigkeitsklasse 5.6 und 5.8		M <sup>0</sup> <sub>Rk,s</sub>	[Nm]	19 (16)	37 (33)	65	166	8	19	37
	8.8	М <sup>0</sup> <sub>Rk,s</sub>	[Nm]	30 (26)	60 (53)	105	266	12	30	60
Nichtrostender Stahl A2, A4	50	M <sup>0</sup> <sub>Rk,s</sub>	[Nm]	19	37	66	167	_3)	_3)	_3)
und HCR, Festigkeitsklasse	70	М <sup>0</sup> <sub>Rk,s</sub>	[Nm]	26	52	92	232	11	26	52
(A2 nur Klasse 50 und 70)	80	M <sup>0</sup> <sub>Rk,s</sub>		30	59	105	266	_3)	_3)	_3)
Charakteristische Zugtragf	ähigkeit, Teilsiche	rheitsb	eiwert	2)						
Stabl. Factickaitaklassa	4.6 und 5.6	γ <sub>Ms,V</sub>	[-]		1,6	67		_3)		
Stahl, Festigkeitsklasse	4.8, 5.8 und 8.8	γMs,V	[-]				1,25			
Nichtrostender Stahl A2, A4	50	γ <sub>Ms,V</sub>	[-]		2,3	88			_3)	
und HCR, Festigkeitsklasse	70	$\gamma_{Ms,V}$	[-]				1,56			
(A2 nur Klasse 50 und 70)	80	γ <sub>Ms,V</sub>	[-]		1,3	33			_3)	

Werte sind nur gültig für den hier angegebenen Spannungsquerschnitt A<sub>s</sub>. Die Werte in Klammern gelten für unterdimensionierte Gewindestange mit geringerem Spannungsquerschnitt A<sub>s</sub> für feuerverzinkte Gewindestangen gemäß. EN ISO 10684:2004+AC:2009.

Tabelle C3: Charakteristische Werte der Stahltragfähigkeit unter Brandeinwirkung 1)

				9				9		
Ankergröße				М8	M10	M12	M16	IG-M6	IG-M8	IG-M10
Charakteristische Zugtragfähigkeit,	Stahlvers	agen						•		
Stahl, Festigkeitsklasse 5.8, und	R30	$N_{Rk,s,fi}$	[kN]	1,1	1,7	3,0	5,7	0,3	1,1	1,7
höher;	R60	$N_{Rk,s,fi}$	[kN]	0,9	1,4	2,3	4,2	0,2	0,9	1,4
Nichtrostender Stahl A2, A4 und		$N_{Rk,s,fi}$		0,7	1,0	1,6	3,0	0,2	0,7	1,0
HCR, Festigkeitsklasse 50 und höher	R120	$N_{Rk,s,fi}$	[kN]	0,5	0,8	1,2	2,2	0,1	0,5	0,8
Charakteristische Quertragfähigkei	hne H	ebelarm								
Stahl, Festigkeitsklasse 5.8, und	R30	$V_{Rk,s,fi}$	[kN]	1,1	1,7	3,0	5,7	0,3	1,1	1,7
höher;	R60	$V_{Rk,s,fi}$	[kN]	0,9	1,4	2,3	4,2	0,2	0,9	1,4
Nichtrostender Stahl A2, A4 und				0,7	1,0	1,6	3,0	0,2	0,7	1,0
HCR, Festigkeitsklasse 50 und höher				0,5	0,8	1,2	2,2	0,1	0,5	0,8
Charakteristische Quertragfähigkei				belarm						
Stahl, Festigkeitsklasse 5.8, und	R30	$M_{Rk,s,fi}$	[Nm]	1,1	2,2	4,7	12,0	0,2	1,1	2,2
höher;	R60	M <sub>Rk,s,fi</sub>	[Nm]	0,9	1,8	3,5	9,0	0,2	0,9	1,8
Nichtrostender Stahl A2, A4 und		M <sub>Rk,s,fi</sub>		0,7	1,3	2,5	6,3	0,1	0,7	1,3
HCR, Festigkeitsklasse 50 und höher	R120	M <sub>Rk,s,fi</sub>	[Nm]	0,5	1,0	1,8	4,7	0,1	0,5	1,0

<sup>1)</sup> Teilsicherheitsbeiwert für den Brandfall ist 1,0 für alle Stahlsorten und Lastrichtungen.

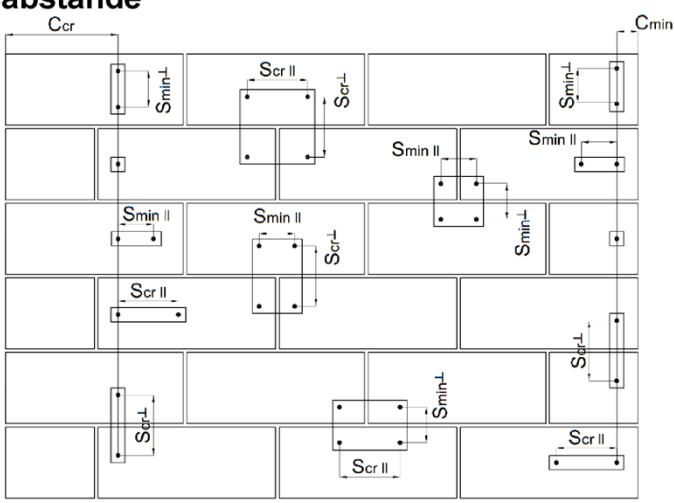
Friulsider Injektionssystem KEM-UP + Vinylester oder Friulsider Injektionssystem KEM V für Mauerwerk	
Leistungen Charakteristische Stahltragfähigkeit unter Zuglast und Querlast unter Brandeinwirkung	Anhang C 2

<sup>2)</sup> Sofern andere nationalen Regelungen fehlen

<sup>3)</sup> Dübelvariante nicht in ETA enthalten







c<sub>cr</sub> = Charakteristischer Randabstand

C<sub>min</sub> = Minimaler Randabstand

 $s_{cr,ll}$ ;  $(s_{min,ll})$  = Charakteristischer (minimaler) Achsabstand für Anker parallel zur Lagerfuge angeordnet  $s_{cr,\perp}$ ;  $(s_{min,\perp})$  = Charakteristischer (minimaler) Achsabstand für Anker senkrecht zur Lagerfuge angeordnet

Lastrichtung Anker- anordnung	Zugla	ast	Querlast pa freien R		Querlast senkrecht zum freien Rand V ⊥		
Anker parallel zur Lagerfuge s <sub>cr,ll</sub> ; (s <sub>min,ll</sub> )		$\alpha_{g \; \text{II},N}$	V	α <sub>g</sub> II,∨ II	V	α <sub>g II,∨⊥</sub>	
Anker senkrecht zur Lagerfuge s <sub>cr,⊥;</sub> (s <sub>min,⊥</sub> )		$\alpha_{g\perp,N}$	V	$\alpha_{g\perp,\vee \parallel}$	V	$\alpha_{\text{g}\perp,\text{V}\perp}$	

 $\alpha_{\text{edde,N}}$  = Reduktionsfaktor bei Zuglast am freien Rand mit  $C_{\text{min}} \leq C < C_{\text{cr}}$  (Einzelanker)

 $\begin{array}{lll} \alpha_{\text{edge,V}\, \perp} & = & \text{Reduktionsfaktor bei Querlast senkrecht zum freien Rand mit } c_{\text{min}} \leq c < c_{\text{cr}} \text{ (Einzelanker)} \\ & = & \text{Reduktionsfaktor bei Querlast parallel zum freien Rand mit } c_{\text{min}} \leq c < c_{\text{cr}} \text{ (Einzelanker)} \end{array}$ 

 $\alpha_{g \mid I,N}$  = Gruppenfaktor für Anker parallel zur Lagerfuge unter Zuglast  $\alpha_{g \perp,N}$  = Gruppenfaktor für Anker senkrecht zur Lagerfuge unter Zuglast

 $\alpha_{g \parallel, \vee \parallel}$  = Gruppenfaktor für Anker parallel zur Lagerfuge unter Querlast parallel zum freien Rand  $\alpha_{g \perp, \vee \parallel}$  = Gruppenfaktor für Anker senkrecht zur Lagerfuge unter Querlast parallel zum freien Rand  $\alpha_{g \parallel, \vee \perp}$  = Gruppenfaktor für Anker parallel zur Lagerfuge unter Querlast senkrecht zum freien Rand  $\alpha_{g \perp, \vee \perp}$  = Gruppenfaktor für Anker senkrecht zur Lagerfuge unter Querlast senkrecht zum freien Rand Gruppenfaktor für Anker senkrecht zur Lagerfuge unter Querlast senkrecht zum freien Rand

Einzelanker am Rand:  $N_{Rk,b,c} = \alpha_{edge,N} * N_{Rk,b}$  bzw.  $N_{Rk,p,c} = \alpha_{edge,N} * N_{Rk,p}$ 

 $V_{Rk,c II} = \alpha_{edge,V II} * V_{Rk,b}$ 

 $V_{Rk,c} \perp = \alpha_{edge,V} \perp * V_{Rk,b}$ 

Gruppe aus 2 Anker:  $N^{g}_{Rk} = \alpha_{g,N} * N_{RK,b}$ 

 $V^{g}_{Rk \parallel} = \alpha_{g,V \parallel} * V_{Rk,b} \qquad \qquad bzw. \ V^{g}_{Rk \perp} = \alpha_{g,V \perp} * V_{Rk,b} \qquad \qquad (f\"{ur} \ c \geq c_{cr})$ 

 $V^{g}_{Rk,c \parallel} = \alpha_{g,V \parallel} * V_{Rk,b}$  bzw.  $V^{g}_{Rk,c \perp} = \alpha_{g,V \perp} * V_{Rk,b}$  (für  $c \ge c_{min}$ )

Gruppe aus 4 Anker:  $N^{g}_{Rk} = \alpha_{g \parallel, N} * \alpha_{g \perp, N} * N_{RK,b}$ 

 $V^{g}_{Rk|I} = \alpha_{g|I,V|I} * \alpha_{g\perp,V|I} * V_{Rk,b} \quad bzw. \quad V^{g}_{Rk\perp} = \alpha_{g|I,V\perp} * \alpha_{g\perp,V\perp} * V_{Rk,b} \quad (f\ddot{u}r \ c \ge c_{cr})$ 

 $V^g_{Rk,c \mid I} \ = \alpha_g \mid_{I,V \mid I} * \alpha_g \perp_{,V \mid I} * V_{Rk,b} \quad \text{bzw.} \quad V^g_{Rk,c \perp} \quad = \alpha_g \mid_{I,V \perp} * \alpha_g \perp_{,V \perp} * V_{Rk,b} \quad (\text{für } c \geq c_{min})$ 

Formeln abhängig von Ankeranordnung und Lastrichtung (siehe Tabelle oben). Reduktionsfaktoren, Gruppenfaktoren und Widerstände siehe Anhang C 4 – C 56. Abminderung für Installation in Fugen siehe Anhang B 1.

## Friulsider Injektionssystem KEM-UP + Vinylester oder Friulsider Injektionssystem KEM V für Mauerwerk

#### Leistungen

Definition der Reduktions- und Gruppenfaktoren

Anhang C 3



#### Steintyp: Porenbeton – AAC

#### Tabelle C4: Beschreibung des Steins

Steintyp		Porenbeton AAC
Dichte	ρ [kg/dm³]	0,35 – 0,6
Normierte mittlere Druckfestigkeit	f <sub>b</sub> [N/mm <sup>2</sup> ]	≥ 2, ≥ 4 oder ≥ 6
Norm		EN 771-4:2011+A1:2015
Hersteller (Land)		z.B. Porit (DE)
Steinabmessungen	[mm]	≥ 499 x 240 x 249
Bohrverfahren		Drehbohren



#### Tabelle C5: Installationsparameter

Ankergröße		[-]	M8	M10	M12	M16	IG-M6	IG-M8	IG-M10		
Installationsdrehmoment	Tinst	[Nm]	≤ 5	≤ 5 ≤ 5 ≤ 10 ≤ 10 ≤ 5 ≤ 5							
Randabstand	Ccr	[mm] 150 (für Querlasten senkrecht zum freien Rand: c <sub>cr</sub> = 210)						10)			
Minimaler Randabstand	Cmin	[mm]	m] 50								
Achsabstand	Scr, II	[mm]	300								
Acrisabstand	Scr, ⊥	[mm]	250								
Minimaler Achsabstand	Smin, II;	[mm]		50							
William Consultation of the Consultation of th	S <sub>min, ⊥</sub>	[]		30							

#### Tabelle C6: Reduktionsfaktoren für Einzelanker unter Randeinfluss

	Zuglast			Querlast							
				nt zum freier	n Rand	Parallel zum freien Rand					
1	mit c ≥	αedge, N	1	mit c ≥	αedge, V⊥	·	mit c ≥	αedge, VII			
	• 50	0.95		50	0,12		50	0,70			
	• 50 0,85			125	0,50	Ţ	125	0,85			
150 1,00		1,00	· i · · · · · · · · · · · · · · · · · ·	210	1,00		150	1,00			

#### Tabelle C7: Faktoren für Ankergruppen unter Zuglast

Anke	eranordnung pa	arallel zur Lage	rfuge	Anker	anordnung sen	krecht zur Lag	erfuge
†1	mit c ≥	mit s ≥	αg II, N		mit c ≥	mit s ≥	αg⊥, N
• •	50	50	1,10	•	50	50	0,75
	150	50	1,25		150	50	0,90
	150	300	2,00	1	150	250	2,00

#### Tabelle C8: Faktoren für Ankergruppen unter Querlast

	Ankerand	ordnung par	allel zur Lag	gerfuge	Ankeranordnung senkrecht zur Lagerfuge				
Querlast		mit c ≥	mit s ≥	αg II,V⊥		mit c ≥	mit s ≥	$\alpha_{\text{g}\perp,\text{V}\perp}$	
senkrecht	•••	50	50	0,20		50	50	0,25	
zum freien		210	50	1,60		210	50	1,80	
Rand		210	300	2,00		210	250	2,00	
Overled		mit c ≥	mit s ≥	αg II,V II		mit c ≥	mit s ≥	αg ⊥,V II	
Querlast parallel zum		50 50 1,15 150 50 1,60	50 50	50	1,15	•	50	50	0,80
freien Rand				150	50	1,10			
II CICII I Kalia		150	300	2,00	-	150	250	2,00	

# Friulsider Injektionssystem KEM-UP + Vinylester oder Friulsider Injektionssystem KEM V für Mauerwerk

#### Leistungen Porenbeton - AAC

Beschreibung des Steins, Installationsparameter, Reduktions- und Gruppenfaktoren

Anhang C 4



			Charakteristischer Widerstand bei c ≥ c <sub>cr</sub> und s ≥ s <sub>cr</sub> Nutzungsbedingungen								
		-sr			Nutz	ungsbedin					
A pkorarë ( o	Siebhülse	Effektive Crankerungsbed d/d Nutzungsbed				w/d w/w		d/d w/d w/w			
Ankergröße	Siebl	E Vera	40°C/24°C	80°C/50°C	120°C/72°C	40°C/24°C	80°C/50°C	120°C/72°C	Alle Temperatur bereiche		
		h <sub>ef</sub>	١	$J_{Rk,b} = N_{Rk,p}$	1)	1	$N_{Rk,b} = N_{Rk,b}$	p <sup>1)</sup>	$V_{Rk,b}^{1)}$		
		[mm]				[kN]	]				
	rte mitt		kfestigkeit				lichte ρ≥				
M8	-	80	1,2	0,9	0,9	0,9	0,9	0,9	1,5		
M10 / IG-M6	-	90	1,2	0,9	0,9	0,9	0,9	0,9	2,5		
M12 / M16 / IG-M8 / IG-M10	-	100	2,0	1,5	1,5	1,5	1,5	1,5	2,5		
M8	SH 12	80	1,2	0,9	0,9	0,9	0,9	0,9	1,5		
M8 / M10/ IG-M6	SH 16	≥ 85	1,2	0,9	0,9	0,9	0,9	0,9	2,5		
M12 / M16 / IG-M8 / IG-M10	SH 20	≥ 85	2,0	1,5	1,5	1,5	1,5	1,5	2,5		
$N_{Rk,b,c} = N_{Rk,p,c} sov$	wie <b>V</b> <sub>Rk,c</sub> ı	$_{\rm I} = V_{\rm Rk,c} \perp Q$	gemäß Anhai	ng C 3							
			Charakteristischer Widerstand bei					und s≥s <sub>cr</sub>			
		Effektive Verankerungs- tiefe				ungsbedin		<u> </u>			
ülse	ıülse			d/d			w/d w/w		d/d w/d w/w		
Ankergröße	Siebhülse		40°C/24°C	80°C/50°C	120°C/72°C	40°C/24°C	80°C/50°C	120°C/72°C	All Alle Temperatur bereiche		
		h <sub>ef</sub>	١	$J_{Rk,b} = N_{Rk,p}$	1)	1	$N_{Rk,b} = N_{Rk,b}$	p <sup>1)</sup>	$V_{Rk,b}^{1)}$		
		[mm]				[kN]					
	rte mitt		kfestigkeit				·	0,50 kg/dm			
M8	-	80	3,0	2,5	2,0	2,5	2,0	2,0	4,5		
M10 / IG-M6	-	90	3,0	2,5	2,0	2,5	2,0	2,0	7,5		
M12 / M16 / IG-M8 / IG-M10	-	100	5,0	4,5	4,0	4,5	4,0	4,0	7,5		
M8	SH 12	80	3,0	2,5	2,0	2,5	2,0	2,0	4,5		
M8 / M10/ IG-M6	SH 16	≥ 85	3,0	2,5	2,0	2,5	2,0	2,0	7,5		
M12 / M16 / IG-M8 / IG-M10	SH 20	≥ 85	5,0	4,5	4,0	4,5	4,0	4,0	7,5		
$N_{Rk,b,c} = N_{Rk,p,c}$ so	wie $V_{Rk,c}$	$_{I} = \bigvee_{Rk,c} \perp g$	jemäß Anhai	ng C 3							
Friulsider Injektio njektionssystem				ster oder	Friulsider						



steintyp: Poren	beton -	- AAC							
· · · · · · · · · · · · · · · · · · ·				Charakt	eristischer \	<b>Viderstand</b>	bei c≥ c <sub>ci</sub>	und s≥s <sub>cr</sub>	
		<u>&amp;</u>			Nutz	ungsbedin	gungen		
Ankergröße	nülse	Siebhülse Effektive Verankerungs-		d/d			d/d w/d w/w		
Alikergroße	Siebl		40°C/24°C	80°C/50°C	120°C/72°C	40°C/24°C	80°C/50°C	120°C/72°C	Alle Temperatur bereiche
		h <sub>ef</sub>	N	$J_{Rk,b} = N_{Rk,p}$	,1)	1	$N_{Rk,b} = N_{Rk,b}$	p <sup>1)</sup>	$V_{Rk,b}$ 1)
		[mm]				[kN]			
Normie	rte mitt	lere Druc	kfestigkeit	f <sub>b</sub> ≥ 6 N/m	m²;	Roho	lichte ρ≥	0,60 kg/dm	3
M8	-	80	4,0	3,5	3,0	3,5	3,0	3,0	6,0
M10 / IG-M6	-	90	4,0	3,5	3,0	3,5	3,0	3,0	10,0
M12 / M16 / IG-M8 / IG-M10	-	100	7,0	6,0	5,5	6,5	5,5	5,5	10,0
M8	SH 12	80	4,0	3,5	3,0	3,5	3,0	3,0	6,0
M8 / M10/ IG-M6	SH 16	≥ 85	4,0	3,5	3,0	3,5	3,0	3,0	10,0
M12 / M16 / IG-M8 / IG-M10	SH 20	≥ 85	7,0	6,0	5,5	6,5	5,5	5,5	10,0

<sup>1)</sup>  $N_{Rk,b,c} = N_{Rk,p,c}$  sowie  $V_{Rk,c \mid I} = V_{Rk,c \perp}$ gemäß Anhang C 3

#### Tabelle C10: Verschiebungen

A ml. a man # 0 a	hef	δη / Ν	δΝο	δN∞	δv / V	δνο	δ∨∞
Ankergröße	[mm]	[mm/kN]	[mm]	[mm]	[mm/kN]	[mm]	[mm]
M8 – M12 / IG-M6 – M10	alle	0,1	0,1*N <sub>Rk</sub> / 2,8	2*δνο	0,3	0,3*V <sub>Rk</sub> / 2,8	1,5*δ∨0
M16	alle	,	,		0,1	0,1*V <sub>Rk</sub> / 2,8	1,5*δ∨0

Friulsider Injektionssystem KEM-UP + Vinylester oder Friulsider
Injektionssystem KEM V für Mauerwerk

Leistungen Porenbeton – AAC
Charakteristische Tragfähigkeiten und Verschiebungen

Anhang C 6



#### Steintyp: Kalksandvollstein KS-NF

#### Tabelle C11: Beschreibung des Steins

Steintyp		Kalksandvollstein KS-NF
Dichte	ρ [kg/dm³]	≥ 2,0
Normierte mittlere	f <sub>b</sub> [N/mm <sup>2</sup> ]	≥ 28
Druckfestigkeit		2 20
Umrechnungsfaktor für g	$(f_b / 28)^{0.5} \le 1.0$	
Druckfestigkeiten		(16 / 20) 1 5 1,0
Norm		EN 771-2:2011+A1:2015
Hersteller (Land)		z.B. Wemding (DE)
Steinabmessungen	[mm]	≥ 240 x 115 x 71
Bohrverfahren		Hammerbohren



#### Tabelle C12: Installationsparameter

Ankergröße		[-]	M8	M10	M12	M16	IG-M6	IG-M8	IG-M10		
Installationsdrehmoment	T <sub>inst</sub>	[Nm]	≤ 10	≤ 10	≤ 15	≤ 15	≤ 10	≤ 10	≤ 10		
Randabstand (unter	0 (0 1)	[mm]	150 (2 h <sub>ef</sub> )								
Brandbeanspruchung)	C <sub>cr;</sub> (C <sub>cr,fi</sub> )	[mm] (für Querlasten senkrecht zum freien Rand: c <sub>cr</sub> = 24									
Minimaler Randabstand	C <sub>min</sub>	[mm]	60								
Achsabstand (unter	Scr, II; (Scr,fi, II)	[mm]				240 (4 h <sub>ef</sub>	)				
Brandbeanspruchung)	$S_{cr, \perp; (S_{cr,fi, \perp})}$	[mm]	150 (4 h <sub>ef</sub> )								
Minimaler Achsabstand	Smin, II; Smin, ⊥	[mm]	75								

#### Tabelle C13: Reduktionsfaktoren für Einzelanker unter Randeinfluss

	Zuglast		Querlast senkrecht zum freien Rand			Querlast parallel zum freien Rand			
	mit c ≥	αedge, N		mit c ≥	αedge, V⊥		mit c ≥	αedge, VII	
	60 <sup>1)</sup>	0,50		60	0,30		60	0,60	
•	100 <sup>1)</sup>	0,50		100	0,50	<b> </b>	100	1,00	
	150 <sup>1)</sup>	1,00		240	1.00		150	1.00	
	180	1,00		240	1,00		150	1,00	

<sup>1)</sup> Alle Anwendungen, außer bei hef = 200mm und ohne Siebhülse

#### Tabelle C14: Faktoren für Ankergruppen unter Zuglast

Ank	eranordnung pa	rallel zur Lager	fuge	Ankeranordnung senkrecht zur Lagerfuge					
	mit c ≥	mit s ≥	αg II, N		mit c ≥	mit s ≥	αg⊥, N		
	60 <sup>1)</sup>	75	0,70		60 <sup>1)</sup>	75	1,15		
	150 <sup>1)</sup>	75	1,40		150 <sup>1)</sup>	75	2,00		
• •	150 <sup>1)</sup>	240	2,00		150 <sup>1)</sup>	150	2,00		
	180 <sup>2)</sup>	75	1,00		180 <sup>2)</sup>	75	1,15		
50 · Control of Contro	180 <sup>2)</sup>	240	1,70		180 <sup>2)</sup>	150	2.00		
	240 <sup>2)</sup>	240	2,00		1802/	150	2,00		

<sup>1)</sup> Alle Anwendungen, außer bei hef = 200mm und ohne Siebhülse

#### Tabelle C15: Faktoren für Ankergruppen unter Querlast

	Ankeran	Ankeranordnung parallel zur Lagerfuge				Ankeranordnung senkrecht zur Lagerfuge			
Querlast senkrecht zum		mit c ≥	mit s ≥	αg II,V ⊥		mit c ≥	mit s ≥	$\alpha_{g\perp,V\perp}$	
	•••	60	75	0,75		60	75	0,90	
freien Rand		150	75	2,00		150	75	2,00	
l lielen Kand		150	240	2,00		150	150	2,00	
Querlast		mit c ≥	mit s ≥	αg II,V II		mit c ≥	mit s ≥	αg ⊥,V II	
parallel zum	• •	60	75	2,00	•	60	75	2,00	
freien Rand		150	75	2,00		150	75	2,00	
Treien Rand		150	240	2,00		150	150	2,00	

# Friulsider Injektionssystem KEM-UP + Vinylester oder Friulsider Injektionssystem KEM V für Mauerwerk

#### Leistungen Kalksandvollstein KS-NF

Beschreibung des Steins, Installationsparameter, Reduktions- und Gruppenfaktoren

Anhang C 7

<sup>2)</sup> Nur für Anwendungen mit hef = 200mm und ohne Siebhülse



#### Steintyp: Kalksandvollstein KS-NF

#### Tabelle C16: Charakteristische Werte der Tragfähigkeit unter Zug- und Querlast

Tabelle C16. Cil	arakter	ISUSCITE	werte de	i ilayiai	ngken und	er Zug- u	nu Quen	aSi			
				Charak	teristischer	Widerstand	d beic≥c <sub>c</sub>	<sub>r</sub> und s≥s <sub>c</sub>	r		
		-8		Nutzungsbedingungen							
Ankeraräße	ıülse	Effektive Verankerungs-		d/d			w/d w/w				
Ankergröße	Siebhülse	E Vera	40°C/24°C	80°C/50°C	120°C/72°C	40°C/24°C	80°C/50°C	120°C/72°C	Alle Temperatur- bereiche		
		$h_{ef}$	1	$N_{Rk,b} = N_{Rk,}$	2) p	1	$N_{Rk,b} = N_{Rk,b}$	2) p	$V_{Rk,b}^{2)}$		
		[mm]				[kN]					
		Normi	erte mittle	re Druckfe	estigkeit f <sub>b</sub>	= 28 N/mn	1 <sup>2 1)</sup>				
M8	-	80									
M10 / IG-M6	-	≥ 90	7,0	6,5	5,0	6,0	5,5	4,0			
M12 / IG-M8	-	≥ 100									
M16 / IG-M10	-	≥ 100	7,0	6,5	5,0	7,0	6,5	5,0			
M10 / M12 / M16 / IG-M6 / IG-M8 / IG-M10	-	200	9,0	8,5	6,5	5,5	5,0	4,0	7,0		
M8	SH 12	80	7,0	6,5	5,0	6,0	5,5	4,0			
M8 / M10/ IG-M6	SH 16	≥ 85									
M12 / M16 / IG-M8 / IG-M10	SH 20	≥ 85	7,0	6,5	5,0	7,0	6,5	5,0			

<sup>1)</sup> Für geringere Druckfestigkeiten müssen die Widerstände mit dem Umrechnungsfaktor nach Tabelle C11 multipliziert werden. Für Steine mit höheren Festigkeiten sind die angegebenen Werte ohne Umrechnung gültig.

#### Tabelle C17: Verschiebungen

Ankergröße M8 – M12 / IG-M6 – M10	hef	δη / Ν	δΝο	δN∞	δv / V	δνο	δ∨∞
	[mm]	[mm/kN]	[mm]	[mm]	[mm/kN]	[mm]	[mm]
M8 – M12 / IG-M6 – M10	alle	0,1	0,1*N <sub>Rk</sub> / 3,5	2*δΝο	0,3	0,3*V <sub>Rk</sub> /3,5	1,5*δ∨0
M16	alle	,	-,		0,1	0,1*V <sub>Rk</sub> /3,5	1,5*δ∨0

# Tabelle C18: Charakteristische Werte der Tragfähigkeit unter Zug- und Querlast unter Brandeinwirkung

		Effektive	Charakteristischer Widerstand		her Widerstand		
\ \text{\lambda_nkorgraph} \ \ \text{Siebhülse}		Verankerungstiefe	$N_{Rk,b,fi} = N_{Rk,p,fi} = V_{Rk,b,fi}$				
Ankergröße		h <sub>ef</sub>	R30	R60	R90	R120	
		[mm]	[kN]				
M8	-	80					
M10 / IG-M6	-	≥ 90	0,48	0,41	0,34	0,30	
M12 / IG-M8	-	≥ 100	0,40	0,41	0,34	0,30	
M16 / IG-M10	-	≥ 100					
M8	SH 12	80					
M8 / M10 /IG-M6	SH 16	≥ 85	0,47	0,26	_1)	_1)	
M12 / M16 / IG-M8 /IG-M10	SH 20	≥ 85	0,47	0,20	-1)	-1)	

<sup>1)</sup> Keine Leistung bewertet

Friulsider Injektionssystem KEM-UP + Vinylester oder Friulsider Injektionssystem KEM V für Mauerwerk	
Leistungen Kalksandvollstein KS-NF Charakteristische Tragfähigkeiten und Verschiebungen	Anhang C 8

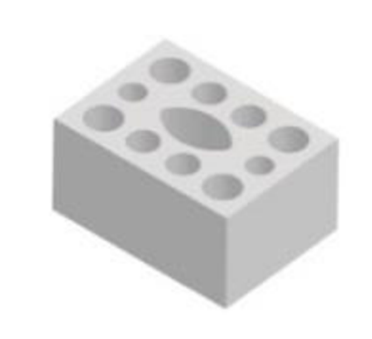
<sup>2)</sup>  $N_{Rk,b,c} = N_{Rk,p,c}$  sowie  $V_{Rk,c|l|} = V_{Rk,c} \perp$  gemäß Anhang C 3

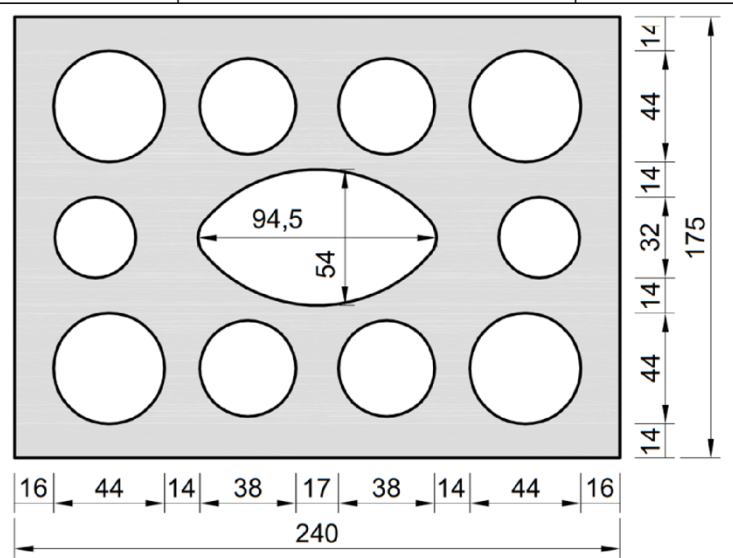


#### Steintyp: Kalksandlochstein KSL-3DF

#### Tabelle C19: Beschreibung des Steins

Steintyp		Kalksandlochstein KSL-3DF		
Dichte	ρ <b>[kg/dm³]</b>	≥ 1,4		
Normierte mittlere Druckfestigkeit	f <sub>b</sub> [N/mm <sup>2</sup> ]	≥ 14		
Umrechnungsfaktor für o Druckfestigkeiten	geringere	$(f_b / 14)^{0.75} \le 1.0$		
Norm		EN 771-2:2011+A1:2015		
Hersteller (Land)		z.B. KS-Wemding (DE)		
Steinabmessungen	[mm]	≥ 240 x 175 x 113		
Bohrverfahren		Drehbohren		





#### Tabelle C20: Installationsparameter

-													
	[-]	M8	M10	M12	M16	IG-M6	IG-M8	IG-M10					
T <sub>inst</sub>	[Nm]	≤ 5	≤ 5	≤ 8	≤ 8	≤ 5	≤ 8	≤ 8					
Ccr	[mm]	12	120 (für Querlasten senkrecht zum freien Rand: $c_{cr}$ = 240)										
C <sub>min</sub>	[mm]	60											
Scr, II	[mm]	240											
Scr, ⊥	[mm]				120	≤ 5 ≤ 8 ≤ 8							
S <sub>min, II</sub> ; S <sub>min, ⊥</sub>	[mm]		120										
	C <sub>cr</sub> C <sub>min</sub> S <sub>cr, II</sub> S <sub>cr, ⊥</sub> S <sub>min, II;</sub>	Tinst         [Nm]           Ccr         [mm]           Cmin         [mm]           Scr, II         [mm]           Scr, ⊥         [mm]           Smin, II;         [mm]	T <sub>inst</sub> [Nm] ≤ 5  C <sub>cr</sub> [mm] 12  C <sub>min</sub> [mm]  S <sub>cr, II</sub> [mm]  S <sub>cr, ⊥</sub> [mm]	$ \begin{array}{c cccc} T_{inst} & [Nm] & \leq 5 & \leq 5 \\ \hline c_{cr} & [mm] & 120 \text{ (für Que} \\ \hline c_{min} & [mm] & \\ \hline s_{cr, \; II} & [mm] & \\ \hline s_{cr, \; \bot} & [mm] & \\ \hline s_{min, \; II;} & [mm] & \\ \hline \end{array} $	Tinst       [Nm]       ≤ 5       ≤ 8         Ccr       [mm]       120 (für Querlasten sen         Cmin       [mm]         Scr, II       [mm]         Scr, ⊥       [mm]         Smin, II;       [mm]	$ \begin{array}{ c c c c c c c c c c c c c c c c c c c$	$T_{inst}$ [Nm]       ≤ 5       ≤ 8       ≤ 8       ≤ 5 $C_{cr}$ [mm]       120 (für Querlasten senkrecht zum freien Ramenten gehören ge						

#### Tabelle C21: Reduktionsfaktoren für Einzelanker unter Randeinfluss

Zuglast				Querlast						
	Zugiasi		Senkrech	nt zum freier	Rand	Parallel zum freien Rand				
	mit c ≥	αedge, N		mit c ≥	αedge, V⊥		mit c ≥	αedge, VII		
•	60	1,00	<b>→</b>	60	0,30	1     •	60	1,00		
	120	1,00		240	1,00		120	1,00		

Friulsider Injektionssystem KEM-UP + Vinylester oder Friulsider Injektionssystem KEM V für Mauerwerk	
Leistungen Kalksandlochstein KSL-3DF  Beschreibung des Steins, Installationsparameter, Reduktionsfaktoren	Anhang C 9



#### Steintyp: Kalksandlochstein KSL-3DF

#### Tabelle C22: Faktoren für Ankergruppen unter Zuglast

Ankeranordnung parallel zur Lagerfuge				Ankeranordnung senkrecht zur Lagerfuge			
	mit c ≥	mit s ≥	αg II, N		mit c ≥	mit s ≥	αg⊥, N
	60	120	1,50	•	60	120	1.00
	120	120	2,00		80	120	1,00
	120	240	2,00	· į	120	120	2,00

#### Tabelle C23: Faktoren für Ankergruppen unter Querlast

	Al		-11-11		A			
	Ankerand	ordnung par	allel zur Lag	gerruge	Ankeranordnung senkrecht zur Lagerfuge			
Querlast		mit c ≥ mit s ≥ α <sub>g II,V ⊥</sub>		mit c ≥	mit s ≥	$\alpha_{\text{g}\perp,\text{V}\perp}$		
senkrecht		60	120	0,30		60	120	0,30
zum freien		120	120	1,00			120	0,50
Rand	.,	120	240 2,00	240	120	2,00		
Querlast	1	mit c ≥	mit s ≥	αg II,V II		mit c ≥	mit s ≥	$\alpha_{\text{g}} \perp, \!$
	• •	60	120	1,00	\$	60	120	1,00
		120	120	1,60		00	120	1,00
		120	240	2,00		120	120	2,00

#### Tabelle C24: Charakteristische Werte der Tragfähigkeit unter Zug- und Querlast

			Charakteristischer Widerstand bei $c \ge c_{cr}$ und $s \ge s_{cr}$									
Ankergröße		<u>%</u>	Nutzungsbedingungen									
	ıülse	Siebhülse  Effektive  Verankerungs- tiefe		d/d			w/d w/w					
	Siebł		40°C/24°C	80°C/50°C	120°C/72°C	40°C/24°C	80°C/50°C	120°C/72°C	Alle Temperatur- bereiche			
			$N_{Rk,b} = N_{Rk,p}^{2}$			1	$N_{Rk,b} = N_{Rk,}$	2) p	$V_{Rk,b}^{(2)}$			
		[mm]		[kN]								
	_	Norm	ierte mittle	re Druckfe	estigkeit f <sub>b</sub>	≥ 14 N/mm	1 <sup>2 1)</sup>					
M8 / M10/	CLIAC	≥ 85	2,5	2,5	1,5	2,5	2,5	1,5	6,0			
IG-M6	SH 16	130	2,5	2,5	2,0	2,5	2,5	2,0	6,0			
M12 / M16 / IG-M8 / IG-M10	SH 20	≥ 85	6,5	6,0	4,5	6,5	6,0	4,5	6,0			

<sup>1)</sup> Für geringere Druckfestigkeiten müssen die Widerstände mit dem Umrechnungsfaktor nach Tabelle C19 multipliziert werden. Für Steine mit höheren Festigkeiten sind die angegebenen Werte ohne Umrechnung gültig.

#### Tabelle C25: Verschiebungen

	_						
Ankoraräßo	hef	δη / Ν	δνο	δN∞	δv / V	δνο	δ∨∞
Ankergröße	[mm]	[mm/kN]	[mm]	[mm]	[mm/kN]	[mm]	[mm]
M8 – M12 / IG-M6 – M10	alle	0,13	0,13*N <sub>Rk</sub> / 3,5	2*δνο	0,55	0,55*V <sub>Rk</sub> /3,5	1,5*δ∨0
M16	alle		,		0,31	0,31*V <sub>Rk</sub> /3,5	1,5*δ∨0

Friulsider Injektionssystem KEM-UP + Vinylester oder Friulsider Injektionssystem KEM V für Mauerwerk	
Leistungen Kalksandlochstein KSL-3DF Gruppenfaktoren, charakteristische Tragfähigkeiten und Verschiebungen	Anhang C 10

<sup>2)</sup>  $N_{Rk,b,c} = N_{Rk,p,c}$  sowie  $V_{Rk,c | I} = V_{Rk,c} \perp$  gemäß Anhang C 3

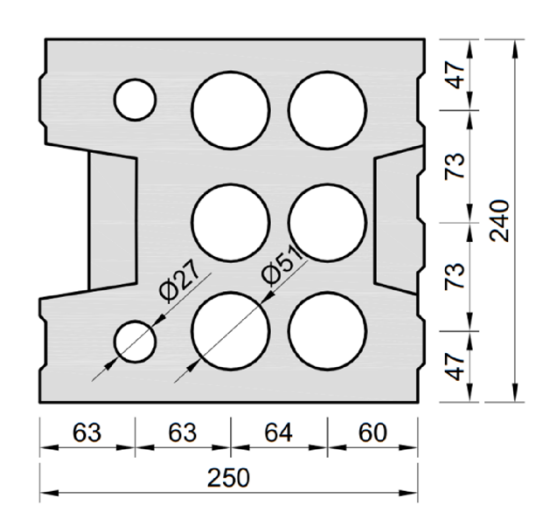


## Steintyp: Kalksandlochstein KSL-8DF

#### Tabelle C26: Beschreibung des Steins

Steintyp		Kalksandlochstein KSL-8DF
Dichte	ρ [kg/dm³]	≥ 1,4
Normierte mittlere Druckfestigkeit	f <sub>b</sub> [N/mm <sup>2</sup> ]	≥ 12
Umrechnungsfaktor für g Druckfestigkeiten	eringere	$(f_b / 12)^{0,75} \le 1,0$
Norm		EN 771-2:2011+A1:2015
Hersteller (Land)		z.B. KS-Wemding (DE)
Steinabmessungen	[mm]	≥ 248 x 240 x 238
Bohrverfahren		Drehbohren





#### **Tabelle C27: Installationsparameter**

Ankergröße	[-]	M8	M10	M12	M16	IG-M6	IG-M8	IG-M10			
Installationsdrehmoment T <sub>inst</sub>		[Nm]	≤ 5	≤ 5	≤ 8	≤ 8	≤ 5	≤ 8	≤ 8		
Randabstand	Ccr	[mm]	12	120 (für Querlasten senkrecht zum freien Rand: c <sub>cr</sub> = 250)							
Minimaler Randabstand	C <sub>min</sub>	[mm]	50								
Achsabstand	Scr, II	[mm]		250							
Acrisabstand	Scr, ⊥	[mm]		120							
Minimaler Achsabstand	[mm]	50									

#### Tabelle C28: Reduktionsfaktoren für Einzelanker unter Randeinfluss

Zuglast				Querlast						
	Zuglast		Senkrech	nt zum freier	Rand	Parallel zum freien Rand				
	mit c ≥	αedge, N		mit c ≥	αedge, V⊥		mit c ≥	αedge, VII		
•	50	1,00	<b>→</b>	50	0,30	]     <u>•</u>	50	1,00		
	120	1,00		250	1,00		120	1,00		

Friulsider Injektionssystem KEM-UP + Vinylester oder Friulsider Injektionssystem KEM V für Mauerwerk	
Leistungen Kalksandlochstein KSL-8DF Beschreibung des Steins, Installationsparameter, Reduktionsfaktoren	Anhang C 11



#### Steintyp: Kalksandlochstein KSL-8DF

#### Tabelle C29: Faktoren für Ankergruppen unter Zuglast

Anke	Ankeranordnung parallel zur Lagerfuge			Ankeranordnung senkrecht zur Lagerfuge				
	mit c ≥	mit s ≥	αg II, N		mit c ≥	mit s ≥	αg⊥, N	
• •	50	50	1,00		50	50	1,00	
	120	250	2,00		120	120	2,00	

#### Tabelle C30: Faktoren für Ankergruppen unter Querlast

	Ankerand	ordnung par	allel zur Lag	gerfuge	Ankeranordnung senkrecht zur Lagerfuge			
Querlast		mit c ≥	mit s ≥	αg II,V⊥	1	mit c ≥	mit s ≥	$\alpha_{\text{g}\perp,\text{V}\perp}$
senkrecht		50	50	0,45		50	50	0,45
zum freien		250	50	1,15		250	50	1,20
Rand		250	250	2,00		250	250	2,00
Querlast		mit c ≥	mit s ≥	αg II,V II		mit c ≥	mit s ≥	αg ⊥,V II
parallel zum	• •	50	50	1,30		50	50	1,00
freien Rand		120	250	2,00		120	250	2,00

#### Tabelle C31: Charakteristische Werte der Tragfähigkeit unter Zug- und Querlast

			Charakteristischer Widerstand bei $c \ge c_{cr}$ und $s \ge s_{cr}$									
		Effektive Verankerungs- tiefe		Nutzungsbedingungen								
Ankergröße	Siebhülse		d/d				d/d w/d w/w					
		E Vera	40°C/24°C	80°C/50°C	120°C/72°C	40°C/24°C	80°C/50°C	120°C/72°C	Alle Temperatur- bereiche			
		$h_{ef}$	$N_{Rk,b} = N_{Rk,p}^{2}$			1	$V_{Rk,b}^{(2)}$					
		[mm]				[kN]						
		Norm	ierte mittle	re Druckfe	estigkeit f <sub>b</sub>	≥ 12 N/mm	1 <sup>2 1)</sup>					
M8 / M10/ IG-M6	SH 16	130	5,0	4,5	3,5	5,0	4,5	3,5	3,5			
M12 / M16 / IG-M8 / IG-M10	SH 20	≥ 130	5,0	4,5	3,5	5,0	4,5	3,5	6,0			

<sup>1)</sup> Für geringere Druckfestigkeiten müssen die Widerstände mit dem Umrechnungsfaktor nach Tabelle C26 multipliziert werden. Für Steine mit höheren Festigkeiten sind die angegebenen Werte ohne Umrechnung gültig.

#### Tabelle C32: Verschiebungen

A nkorarä@o	hef	δη / Ν	δΝο	δN∞	δv / V	δνο	δ∨∞
Ankergröße	[mm]	[mm/kN]	[mm]	[mm]	[mm/kN]	[mm]	[mm]
M8 – M12 / IG-M6 – M10	alle	0,13	0,13*N <sub>Rk</sub> / 3,5	2*δνο	0,55	0,55*V <sub>Rk</sub> /3,5	1,5*δ∨ο
M16	alle	,	,		0,31	0,31*V <sub>Rk</sub> /3,5	1,5*δ∨0

Friulsider Injektionssystem KEM-UP + Vinylester oder Friulsider Injektionssystem KEM V für Mauerwerk	
Leistungen Kalksandlochstein KSL-8DF Gruppenfaktoren, charakteristische Tragfähigkeiten und Verschiebungen	Anhang C 12

<sup>2)</sup> N<sub>Rk,b,c</sub> = N<sub>Rk,p,c</sub> sowie V<sub>Rk,c II</sub> = V<sub>Rk,c</sub>⊥gemäß Anhang C 3

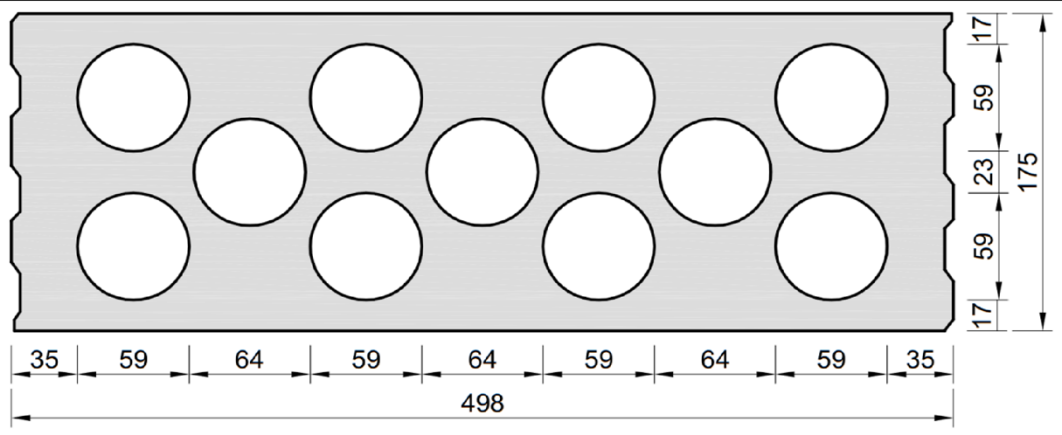


#### Steintyp: Kalksandlochstein KSL-12DF

#### Tabelle C33: Beschreibung des Steins

Steintyp		Kalksandlochstein KSL-12DF
Dichte	ρ <b>[kg/dm</b> ³]	≥ 1,4
Normierte mittlere Druckfestigkeit	f <sub>b</sub> [N/mm <sup>2</sup> ]	≥ 12
Umrechnungsfaktor für Druckfestigkeiten	geringere	$(f_b / 12)^{0,75} \le 1,0$
Norm		EN 771-2:2011+A1:2015
Hersteller (Land)		z.B. KS-Wemding (DE)
Steinabmessungen	[mm]	≥ 498 x 175 x 238
Bohrverfahren		Drehbohren





#### Tabelle C34: Installationsparameter

Ankergröße		[-]	M8	M10	M12	M16	IG-M6	IG-M8	IG-M10			
Installationsdrehmoment	T <sub>inst</sub>	[Nm]	≤ 4	≤ 4	≤ 5	≤ 5	≤ 4	≤ 5	≤ 5			
Randabstand (unter	0 (0 5)	[mm]			•	120 (2 h <sub>e</sub>	f)					
Brandbeanspruchung)	Ccr; (Ccr,fi)	[111111]	(für Querlasten senkrecht zum freien Rand: c <sub>cr</sub> = 500)									
Minimaler Randabstand	Cmin	[mm]				50						
Achsabstand (unter	Scr, II; (Scr,fi, II)	[mm]	500 (4 h <sub>ef</sub> )									
Brandbeanspruchung)	$S_{cr, \perp; (S_{cr,fi, \perp})}$	[mm]	120 (4 h <sub>ef</sub> )									
Minimaler Achsabstand	Smin, II; Smin, ⊥	[mm]	n] 50									

#### Tabelle C35: Reduktionsfaktoren für Einzelanker unter Randeinfluss

	Zuglast			Querlast							
	Zugiasi		Senkrech	nt zum freier	Rand	Parallel zum freien Rand					
	mit c ≥	αedge, N		mit c ≥	αedge, V⊥		mit c ≥	αedge, VII			
•	50	1,00	<b>→</b>	50	0,45	1   <u>†</u>	50	1,00			
	120	1,00		500	1,00		120	1,00			

#### Tabelle C36: Faktoren für Ankergruppen unter Zuglast

Ankeranordnung parallel zur Lagerfuge				Ankeranordnung senkrecht zur Lagerfuge				
	mit c ≥	mit s ≥	αg II, N		mit c ≥	mit s ≥	αg⊥, N	
• •	50	50	1,50		50	50	1,00	
	120	500	2,00		120	240	2,00	

Friulsider Injektionssystem KEM-UP + Vinylester oder Friulsider
Injektionssystem KEM V für Mauerwerk

#### Leistungen Kalksandlochstein KSL-12DF

Beschreibung des Steins, Installationsparameter, Reduktionsfaktoren

Anhang C 13



#### Steintyp: Kalksandlochstein KSL-12DF

#### Tabelle C37: Faktoren für Ankergruppen unter Querlast

	3p.											
	Ankerand	Ankeranordnung parallel zur Lagerfuge				Ankeranordnung senkrecht zur Lagerfuge						
Querlast		mit c ≥	mit s ≥	αg II,V ⊥	1	mit c ≥	mit s ≥	$\alpha_{g\perp,V\perp}$				
senkrecht		50	50	0,55		50	50	0,50				
zum freien		500	50	1,00		500	50	1,00				
Rand		500	500	2,00		500	250	2,00				
Querlast		mit c ≥	mit s ≥	αg II,V II		mit c ≥	mit s ≥	αg ⊥,V II				
parallel zum	•	50	50	2,00		50	50	1,30				
freien Rand	en Rand	120	500	2,00		120	250	2,00				

#### Tabelle C38: Charakteristische Werte der Tragfähigkeit unter Zug- und Querlast

					•							
			Charakteristischer Widerstand bei $c \ge c_{cr}$ und $s \ge s_{cr}$									
		Siebhülse Effektive Verankerungs-		Nutzungsbedingungen								
Ankergröße	Siebhülse		d/d				d/d w/d w/w					
			40°C/24°C	80°C/50°C	120°C/72°C	40°C/24°C	80°C/50°C	120°C/72°C	Alle Temperatur- bereiche			
		$\mathbf{h}_{ef}$	N	$N_{Rk,b} = N_{Rk,p}^{(2)}$			$N_{Rk,b} = N_{Rk,p}^{2}$					
		[mm]				[kN]						
		Norm	ierte mittle	re Druckfo	estigkeit f <sub>b</sub>	≥ 12 N/mm	1 <sup>2 1)</sup>					
M8 / M10/ IG-M6	SH 16	130	3,5	3,5	2,5	3,5	3,5	2,5	3,5			
M12 / M16 / IG-M8 / IG-M10	SH 20	≥ 130	3,5	3,5	2,5	3,5	3,5	2,5	7,0			

<sup>1)</sup> Für geringere Druckfestigkeiten müssen die Widerstände mit dem Umrechnungsfaktor nach Tabelle C33 multipliziert werden. Für Steine mit höheren Festigkeiten sind die angegebenen Werte ohne Umrechnung gültig.

#### Tabelle C39: Verschiebungen

Ankergröße	hef	δη / Ν	δηο	δN∞	δv / V	δνο	δ∨∞
Ankergroße	[mm]	[mm/kN]	[mm]	[mm]	[mm/kN]	[mm]	[mm]
M8 – M12 / IG-M6 – M10	alle	0,13	0,13*N <sub>Rk</sub> / 3,5	2*δηο	0,55	0,55*V <sub>Rk</sub> /3,5	1,5*δ∨ο
M16	alle	,	, , , , , , , , , , , , , , , , , , , ,		0,31	0,31*V <sub>Rk</sub> /3,5	1,5*δ∨0

# Tabelle C40: Charakteristische Werte der Tragfähigkeit unter Zug- und Querlast unter Brandeinwirkung

		Effektive	Charakteristischer Widerstand					
A	Ciabbilea	Verankerungstiefe $N_{Rk,b,fi} = N_{Rk,p,fi} = V_{Rk,b,fi}$						
Ankergröße	Siebhülse	h <sub>ef</sub>	R30	R60	R90	h <sub>ef</sub>		
		[mm]	[kN]					
M8 / M10 /IG-M6	SH 16	130				_1)		
M12 / IG-M8	SH 20	≥ 130	0,37	0,27	0,17	-1)		
M16 / IG-M10	SH 20	≥ 130				0,12		

<sup>1)</sup> keine Leistung bewertet

Friulsider Injektionssystem KEM-UP + Vinylester oder Friulsider Injektionssystem KEM V für Mauerwerk	
Leistungen Kalksandlochstein KSL-12DF Gruppenfaktoren, charakteristische Tragfähigkeiten und Verschiebungen	Anhang C 14

<sup>2)</sup>  $N_{Rk,b,c} = N_{Rk,p,c}$  sowie  $V_{Rk,c | II} = V_{Rk,c} \perp$  gemäß Anhang C 3



#### Steintyp: Mauerziegel 1DF

#### Tabelle C41: Beschreibung des Steins

Steintyp		Mauerziegel Mz-1DF	
Dichte	ρ [kg/dm³]	≥ 2,0	
Normierte mittlere Druckfestigkeit	f <sub>b</sub> [N/mm <sup>2</sup> ]	≥ 20	
Umrechnungsfaktor für Druckfestigkeiten	$(f_b / 20)^{0.5} \le 1.0$		
Norm	EN 771-1:2011+A1:2015		
Hersteller (Land)	z.B. Wienerberger (DE)		
Steinabmessungen	≥ 240 x 115 x 55		
Bohrverfahren	Hammerbohren		



#### Tabelle C42: Installationsparameter

Ankergröße		[-]	M8	M10	M12	M16	IG-M6	IG-M8	IG-M10	
Installationsdrehmoment T <sub>inst</sub>		[Nm]	≤ 10	≤ 10	≤ 10	≤ 10	≤ 10	≤ 10	≤ 10	
Randabstand c <sub>cr</sub>		[mm]	150 (für Querlasten senkrecht zum freien Rand: c <sub>cr</sub> = 240)							
Minimaler Randabstand c <sub>min</sub>		[mm]	60							
Ashashatand	Scr, II	[mm]	240							
Achsabstand s <sub>cr,</sub>		[mm]	130							
Minimaler Achsabstand Smin, II; Smin, L		[mm]	65							

#### Tabelle C43: Reduktionsfaktoren für Einzelanker unter Randeinfluss

Zuglaat			Querlast						
Zuglast			Senkrecht zum freien Rand			Parallel zum freien Rand			
	mit c ≥	αedge, N		mit c ≥	αedge, V⊥		mit c ≥	αedge, VII	
•	60	0,75		60	0,10	]     <b> </b>	60	0,30	
	150	1,00		100	0,50		100	0,65	

#### Tabelle C44: Faktoren für Ankergruppen unter Zuglast

Anke	ranordnung pa	rallel zur Lagei	rfuge	Ankeranordnung senkrecht zur Lagerfuge			
1	mit c ≥	mit s ≥	αg II, N		mit c ≥	mit s ≥	αg⊥, N
	60	65	0,85	•	60	65	1,00
	150	65	1,15		150	65	1,20
	150	240	2,00		150	130	2,00

#### Tabelle C45: Faktoren für Ankergruppen unter Querlast

	Ankerand	ordnung par	allel zur Lag	jerfuge	Ankeranordnung senkrecht zur Lagerfuge				
Querlast	1	mit c ≥	mit s ≥	αg II,∨⊥	1	mit c ≥	mit s ≥	αg⊥,∨⊥	
senkrecht	• • •	60	65	0,40		60	65	0,30	
zum freien		240	65	2,00		240	65	2,00	
Rand		240	240	2,00		240	130	2,00	
Querlast	1	mit c ≥	mit s ≥	αg II,∨ II		mit c ≥	mit s ≥	α <sub>g ⊥,</sub> ν II	
parallel zum			60	65	1,75	•	60	65	1,10
freien Rand		150	65	2,00	•	150	65	2,00	
		150	240	2,00	+	150	130	2,00	

Friulsider Injektionssystem KEM-UP + Vinylester oder Friulsider Injektionssystem KEM V für Mauerwerk	
Leistungen Mauerziegel 1DF Beschreibung des Steins, Installationsparameter, Reduktions- und Gruppenfaktoren	Anhang C 15



#### Steintyp: Mauerziegel 1DF

#### Tabelle C46: Charakteristische Werte der Tragfähigkeit unter Zug- und Querlast

Tabelle C46: Charakteristische Werte der Tragfahigkeit unter Zug- und Querlast												
			Charakteristischer Widerstand bei $c \ge c_{cr}$ und $s \ge s_{cr}$									
	Siebhülse	Effektive Verankerungs- tiefe	Nutzungsbedingungen									
Ankergröße			d/d				d/d w/d w/w					
Alikergioise	Siebl	Ver	40°C/24°C	80°C/50°C	120°C/72°C	40°C/24°C	80°C/50°C	120°C/72°C	Alle Temperatur- bereiche			
		$h_{ef}$	N	$N_{Rk,b} = N_{Rk,p}^{2}$			$N_{Rk,b} = N_{Rk,p}^{2}$					
		[mm]				[kN]						
		Norm	ierte mittle	re Druckfe	estigkeit f <sub>b</sub>	≥ 20 N/mm	1 <sup>2 1)</sup>					
M8	-	80										
M10 / IG-M6	-	≥ 90	7,0	6,0	6,0	7,0	6,0	6,0	8,0			
M12 / IG-M8	-	≥ 100										
M16 / IG-M10	-	≥ 100	8,0	6,5	6,5	8,0	6,5	6,5	12,0			
M8	SH 12	80										
M8 / M10/ IG-M6	SH 16	> 0.5	7,0	6,0	6,0	7,0	6,0	6,0	8,0			
M12 / IG-M8	SH 20	≥ 85										
M16 / IG-M10	SH 20	≥ 85	8,0	6,5	6,5	8,0	6,5	6,5	12,0			

<sup>1)</sup> Für geringere Druckfestigkeiten müssen die Widerstände mit dem Umrechnungsfaktor nach Tabelle C41 multipliziert werden. Für Steine mit höheren Festigkeiten sind die angegebenen Werte ohne Umrechnung gültig.

#### Tabelle C47: Verschiebungen

Ankoraräßo	hef	δη / Ν	δΝο	δN∞	δv / V	δνο	δ∨∞
Ankergröße	[mm]	[mm/kN]	[mm]	[mm]	[mm/kN]	[mm]	[mm]
M8 – M12/ IG-M6 – M10	alle	0,1	0,1*N <sub>Rk</sub> / 3,5	2*δΝο	0,3	0,3*V <sub>Rk</sub> / 3,5	1,5*δ∨ο
M16	alle		,	,,,,	0,1	0,1*V <sub>Rk</sub> /3,5	1,5*δ∨0

Friulsider Injektionssystem KEM-UP + Vinylester oder Friulsider Injektionssystem KEM V für Mauerwerk

Leistungen Mauerziegel 1DF

Charakteristische Tragfähigkeiten und Verschiebungen

Anhang C 16

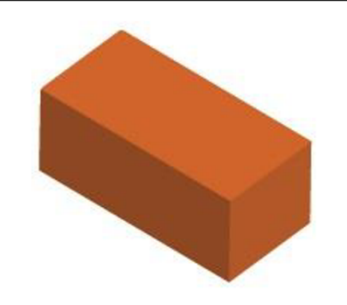
<sup>2)</sup>  $N_{Rk,b,c} = N_{Rk,p,c}$  sowie  $V_{Rk,c | II} = V_{Rk,c} \perp$  gemäß Anhang C 3



## Steintyp: Mauerziegel 2DF

#### Tabelle C48: Beschreibung des Steins

Steintyp		Mauerzeigel 2DF
Dichte	ρ [kg/dm³]	≥ 2,0
Normierte mittlere Druckfestigkeit	f <sub>b</sub> [N/mm <sup>2</sup> ]	≥ 28
Umrechnungsfaktor für g Druckfestigkeiten	jeringere	$(f_b / 28)^{0.5} \le 1.0$
Norm		EN 771-1:2011+A1:2015
Hersteller (Land)		z.B. Wienerberger (DE)
Steinabmessungen	[mm]	≥ 240 x 115 x 113
Bohrverfahren		Hammerbohren



#### Tabelle C49: Installationsparameter

Ankergröße		[-]	M8	M10	M12	M16	IG-M6	IG-M8	IG-M10		
Installationsdrehmoment	T <sub>inst</sub>	[Nm]	≤ 10	≤ 10	≤ 10	≤ 10	≤ 10	≤ 10	≤ 10		
Randabstand (unter	0 (0 5)	[mm]				150 (2 h <sub>et</sub>					
Brandbeanspruchung)	C <sub>cr;</sub> (C <sub>cr,fi</sub> )	[mm]	(für Querlasten senkrecht zum freien Rand: ccr = 240)								
Minimaler Randabstand	Cmin	[mm]				50					
Achsabstand (unter	Scr, II; (Scr,fi, II)	[mm]	240 (4 h <sub>ef</sub> )								
Brandbeanspruchung)	$S_{cr, \perp; (S_{cr,fi, \perp})}$	[mm]	nm] 240 (4 h <sub>ef</sub> )								
Minimaler Achsabstand	Smin, II; Smin, ⊥	[mm]				50					

#### Tabelle C50: Reduktionsfaktoren für Einzelanker unter Randeinfluss

	Zuglast		Querlast sen	krecht zum f	reien Rand	Querlast parallel zum freien Rand			
+	mit c ≥	αedge, N	1	mit c ≥	αedge, V⊥	+	mit c ≥	αedge, VII	
	50 <sup>1)</sup>	1,00		50	0,20		50	1 00	
	150 <sup>1)</sup>	1,00		125	0,50	Ţ	50	1,00	
	180	1,00	+	240	1,00		150	1,00	

<sup>1)</sup> Alle Anwendungen, außer bei hef = 200mm und ohne Siebhülse

#### Tabelle C51: Faktoren für Ankergruppen unter Zuglast

Anke	eranordnung pa	rallel zur Lage	rfuge	Ankeranordnung senkrecht zur Lagerfuge				
	mit c ≥	mit s ≥	αg II, N		mit c ≥	mit s ≥	αg⊥, N	
	50 <sup>1)</sup>	50	1,50		50 <sup>1)</sup>	50	0,80	
	150 <sup>1)</sup>	240	2,00		150 <sup>1)</sup>	240	2,00	
	180 <sup>2)</sup>	60	1,00		180 <sup>2)</sup>	60	1,00	
· i	180 <sup>2)</sup>	240	1,55	- <del> </del>	180 <sup>2)</sup>	100	2.00	
	240 <sup>2)</sup>	240	2,00		1802/	120	2,00	

<sup>1)</sup> Alle Anwendungen, außer bei hef = 200mm und ohne Siebhülse

#### Tabelle C52: Faktoren für Ankergruppen unter Querlast

		- 3						
	Ankerand	ordnung par	allel zur Lag	gerfuge	Ankeranordnung senkrecht zur Lagerfuge			
Querlast senkrecht	h 1000000000000000000000000000000000000	mit c ≥	mit s ≥	αg II,∨⊥		mit c ≥	mit s ≥	αg⊥, V⊥
		50	50	0,40		50	50	0,20
zum freien	•	240	50	1,20	]	240	50	0,60
Rand		240	240	2.00		240	125	1,00
		240	240	2,00		240	240	2,00
Querlast	1	mit c ≥	mit s ≥	αg II,V II		mit c ≥	mit s ≥	αg ⊥,V II
parallel zum	••	50	50	1,20	•	50	50	1,00
freien Rand				2,00	•	50	125	1,00
II GIGII I \aliu		150	240	2,00		150	240	2,00

# Friulsider Injektionssystem KEM-UP + Vinylester oder Friulsider Injektionssystem KEM V für Mauerwerk

#### Leistungen Mauerziegel 2DF

Beschreibung des Steins, Installationsparameter, Reduktions- und Gruppenfaktoren

Anhang C 17

<sup>2)</sup> Nur für Anwendungen mit hef = 200mm und ohne Siebhülse



#### Steintyp: Mauerziegel 2DF

#### Tabelle C53: Charakteristische Werte der Tragfähigkeit unter Zug- und Querlast

				Charakt	eristischer \	Viderstand	bei c≥c <sub>ci</sub>	r und s≥s <sub>cr</sub>				
		Effektive Verankerungs- tiefe	Nutzungsbedingungen									
	lse			d/d			w/d w/w		d/d w/w (w/d)			
Ankergröße	Siebhülse		40°C/24°C	80°C/50°C	120°C/72°C	40°C/24°C	80°C/50°C	120°C/72°C	Alle Temperatur- bereiche			
	h <sub>ef</sub>				2)	1	$N_{Rk,b} = N_{Rk,b}$	2) p	$V_{Rk,b}^{(2)}$			
		[mm]		[kN]								
Normierte mittlere Druckfestigkeit f <sub>b</sub> ≥ 28 N/mm² <sup>1)</sup>												
M8	-	80	0.0	0.0	7.5	0.0	0.0	7.5	0.5			
M10 / IG-M6	-	≥ 90	9,0	9,0	7,5	9,0	9,0	7,5	9,5			
M12 / IG-M8	-	≥ 100	9,0	9,0	7,5	9,0	9,0	7,5	12			
M16 / IG-M10	-	≥ 100	9,0	9,0	7,5	9,0	9,0	7,5	12 <sup>3)</sup>			
M10 / M12 / IG-M6 / IG-M8	-	200	11,5	11,5	10,0	6,0	6,0	5,0	8,0			
M16 / IG-M10	-	200	11,5	11,5	10,0	6,0	6,0	5,0	12,0			
M8	SH 12	80	0.0	0.0	7.5	0.0	0.0	7.5	0.5			
M8 / M10/ IG-M6	SH 16	≥ 85	9,0	9,0	7,5	9,0	9,0	7,5	9,5			
M12 / IG-M8	SH 20	≥ 85	9,0	9,0	7,5	9,0	9,0	7,5	12,0			
M16 / IG-M10	SH 20	≥ 85	9,0	9,0	7,5	9,0	9,0	7,5	12,0 <sup>3)</sup>			

<sup>1)</sup> Für geringere Druckfestigkeiten müssen die Widerstände mit dem Umrechnungsfaktor nach Tabelle C48 multipliziert werden. Für Steine mit höheren Festigkeiten sind die angegebenen Werte ohne Umrechnung gültig.

#### Tabelle C54: Verschiebungen

Ankergröße	hef	δη / Ν	δΝο	δN∞	δv / V	δνο	δ∨∞
Alkergroße	[mm]	[mm/kN]	[mm]	[mm]	[mm/kN]	[mm]	[mm]
M8 – M12 IG-M6 – M10	alle	0,1	0,1*N <sub>Rk</sub> / 3,5	2*δνο	0,3	0,3*V <sub>Rk</sub> /3,5	1,5*δ∨ο
M16	alle		, , , , ,	_ = =,,,•	0,1	0,1*V <sub>Rk</sub> /3,5	1,5*δ∨0

# Tabelle C55: Charakteristische Werte der Tragfähigkeit unter Zug- und Querlast unter Brandeinwirkung

		Effektive	Charakteristischer Widerstand							
Ankoraröß o	Siebhülse	Verankerungstiefe	$N_{Rk,b,fi} = N_{Rk,p,fi} = V_{Rk,b,fi}$							
Ankergröße		$h_{ef}$	R30	R60	R90	R120				
			[kN]							
M8	-	80								
M10 / IG-M6	-	≥ 90	0,51	0,44	0,36	0,33				
M12 / IG-M8	-	≥ 100	0,51	0,44	0,36	0,33				
M16 / IG-M10	-	≥ 100								
M8	SH 12	80	0,36	0,26	0,15	0,10				
M8 / M10 /IG-M6	SH 16	≥ 85	0,36	0,26	0,15	0,10				
IVIO / IVI TO /IG-IVIO	SH 10	130	0,92	0,74	0,57	0,49				
M12 / M16 /	SH 20	≥ 85	0,36	0,26	0,15	0,10				
IG-M8 /IG-M10	3FI 2U	≥ 130	0,92	0,74	0,57	0,49				

Friulsider Injektionssystem KEM-UP + Vinylester oder Friulsider Injektionssystem KEM V für Mauerwerk

#### Leistungen Mauerziegel 2DF

Charakteristische Tragfähigkeiten und Verschiebungen

Anhang C 18

<sup>2)</sup>  $N_{Rk,b,c} = N_{Rk,p,c}$  sowie  $V_{Rk,c | II} = V_{Rk,c \perp}$ gemäß Anhang C 3

<sup>3)</sup> Gültig für alle Steinfestigkeiten bis min. 10 N/mm²

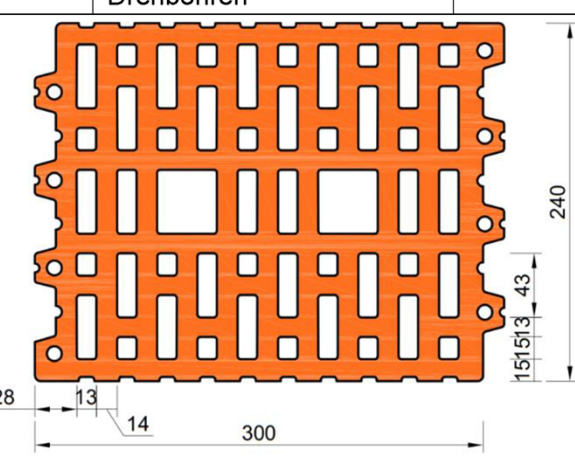


## Steintyp: Hochlochziegel 10 DF

#### Tabelle C56: Beschreibung des Steins

Steintyp		Hochlochziegel HLZ 10DF
Dichte	ρ [kg/dm³]	≥ 1,25
Normierte mittlere Druckfestigkeit	f <sub>b</sub> [N/mm <sup>2</sup> ]	≥ 20
Umrechnungsfaktor für g Druckfestigkeiten	eringere	$(f_b / 20)^{0.5} \le 1.0$
Norm		EN 771-1:2011+A1:2015
Hersteller (Land)		z.B. Wienerberger (DE)
Steinabmessungen	[mm]	300 x 240 x 249
Bohrverfahren		Drehbohren





#### **Tabelle C57: Installationsparameter**

Ankergröße		[-]	M8	M10	M12	M16	IG-M6	IG-M8	IG-M10		
Installationsdrehmoment	T <sub>inst</sub>	[Nm]	≤ 5	≤ 10	≤ 10	≤ 10	≤ 5	≤ 5	≤ 10		
Randabstand (unter	0 (0 5)	[mm]			•	120 (2 he	f)				
Brandbeanspruchung)	Ccr; (Ccr,fi)	[IIIIII]	(für Querlasten senkrecht zum freien Rand: ccr = 300)								
Minimaler Randabstand	C <sub>min</sub>	[mm] 50									
Achsabstand (unter	Scr, II; (Scr,fi, II)	[mm]			3	300 (4 he	f)				
Brandbeanspruchung)	$S_{cr, \perp; (S_{cr,fi, \perp})}$	[mm]	250 (4 h <sub>ef</sub> )								
Minimaler Achsabstand	Smin, II; Smin, ⊥	[mm]				50					

#### Tabelle C58: Reduktionsfaktoren für Einzelanker unter Randeinfluss

	Zugloot				Que	erlast		
	Zuglast		Senkrecl	ht zum freier	n Rand	Paralle	Rand	
	mit c ≥	αedge, N		mit c ≥	αedge, V⊥		mit c ≥	αedge, VII
•	50	1,00	<b>→</b>	50	0,20	1    •   i	50	1,00
	120	1.00		300	1.00		120	1.00

#### Tabelle C59: Faktoren für Ankergruppen unter Zuglast

			•				
Anke	ranordnung pa	arallel zur Lage	rfuge	Ankera	anordnung sen	krecht zur Lag	erfuge
	mit c ≥	mit s ≥	αg II, N		mit c ≥	mit s ≥	αg⊥, N
• •	50	50	1,55		50	50	1,00
	120	300	2,00		120	250	2,00

Friulsider Injektionssystem KEM-UP + Vinylester oder Friulsider
Injektionssystem KEM V für Mauerwerk

#### Leistungen Hochlochziegel HLZ 10DF

Beschreibung des Steins, Installationsparameter, Reduktionsfaktoren

Anhang C 19



## Steintyp: Hochlochziegel 10 DF

#### Tabelle C60: Faktoren für Ankergruppen unter Querlast

	Ankerand	ordnung par	allel zur Lag	gerfuge	Ankeranordnung senkrecht zur Lagerfuge			
Querlast	-	mit c ≥	mit s ≥	αg II,V⊥		mit c ≥	mit s ≥	$\alpha_{g\perp,V\perp}$
senkrecht	•••	50	50	0,30		50	50	0,20
zum freien		300	50	1,40		300	50	1,00
Rand	.;	300	300	2,00		300	250	2,00
Querlast		mit c ≥	mit s ≥	αg II,V II		mit c ≥	mit s ≥	α <sub>g ⊥,</sub> ν II
parallel zum	•	50	50	1,85		50	50	1,00
freien Rand		120	300	2,00		120	250	2,00

#### Tabelle C61: Charakteristische Werte der Tragfähigkeit unter Zug- und Querlast

			Charakteristischer Widerstand bei $c \ge c_{cr}$ und $s \ge s_{cr}$								
		-5	Nutzungsbedingungen								
		Effektive Verankerungs- tiefe						d/d			
	Se	fektiv nkeru tiefe	d/d w/w		w/d						
Ankergröße	וייר	Effektive ankerun tiefe					VV/ VV		w/w		
Alikeigioise	Siebhülse	ers							Alle		
	ଊ୕	ઌૻ	Ś	>	40°C/24°C	80°C/50°C	120°C/72°C	40°C/24°C	80°C/50°C	120°C/72°C	
		$h_{ef}$	N	$N_{Rk,b} = N_{Rk,p}$		$N_{Rk,b} = N_{Rk,p}^{2}$			$V_{Rk,b}^{(2)}$		
		[mm]				[kN]					
		Norm	ierte mittle	re Druckfo	estigkeit f <sub>b</sub>	≥ 20 N/mn	1 <sup>2 1)</sup>				
M8	SH 12	80	2.5	2.5	2.0	2.5	2.5	2.0	0.0		
M8 / M10/ IG-M6	SH 16	≥ 85	2,5	2,5	2,0	2,5	2,5	2,0	8,0		
M12 / IG-M8	SH 20	≥ 85	5,0	5,0	4,5	5,0	5,0	4,5	8,0		
M16 / IG-M10	SH 20	≥ 85	5,0	5,0	4,5	5,0	5,0	4,5	11,5		

<sup>1)</sup> Für geringere Druckfestigkeiten müssen die Widerstände mit dem Umrechnungsfaktor nach Tabelle C56 multipliziert werden. Für Steine mit höheren Festigkeiten sind die angegebenen Werte ohne Umrechnung gültig.

#### Tabelle C62: Verschiebungen

	_						
Ankergröße	hef	δη / Ν	δΝο	δN∞	δv / V	δνο	δ∨∞
Alikeigioise	[mm]	[mm/kN]	[mm]	[mm]	[mm/kN]	[mm]	[mm]
M8 – M12/ IG-M6 – M10	alle	0,13	0,13*N <sub>Rk</sub> / 3,5	2*δνο	0,55	0,55*V <sub>Rk</sub> / 3,5	1,5*δ∨0
M16	alle		,		0,31	0,31*V <sub>Rk</sub> /3,5	1,5*δ∨ο

# Tabelle C63: Charakteristische Werte der Tragfähigkeit unter Zug- und Querlast unter Brandeinwirkung

			Charakteristischer Widerstand					
Ankoraräße	Oinhhaile	Verankerungstiefe	$N_{Rk,b,fi} = N_{Rk,p,fi} = V_{Rk,b,fi}$					
Ankergröße	Siebhülse	h <sub>ef</sub>	R30	R60	R90	R120		
		[mm]	[kN]					
M8 / M10 /IG-M6	SH 16	130						
M12 / M16 / IG-M8 IG-M10	SH 20	≥ 130	0,57	0,39	0,21	0,12		

Friulsider Injektionssystem KEM-UP + Vinylester oder Friulsider Injektionssystem KEM V für Mauerwerk	
Leistungen Hochlochziegel HLZ 10DF Gruppenfaktoren, charakteristische Tragfähigkeiten und Verschiebungen	Anhang C 20

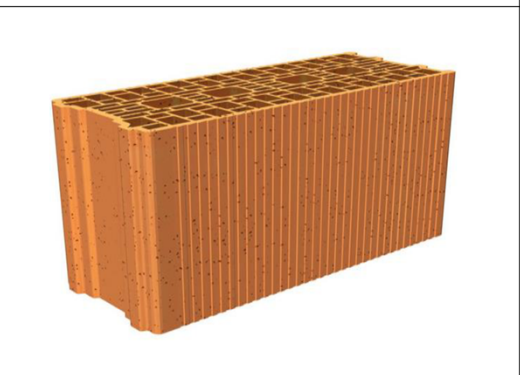
<sup>2)</sup>  $N_{Rk,b,c} = N_{Rk,p,c}$  sowie  $V_{Rk,c | I} = V_{Rk,c \perp}$ gemäß Anhang C 3

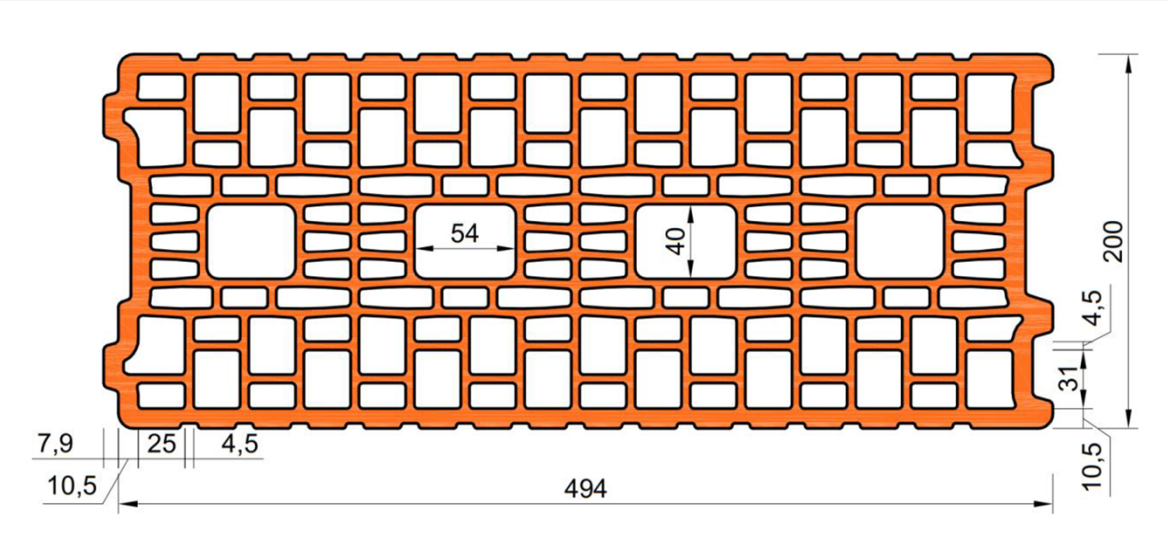


## Steintyp: Hochlochziegel Porotherm Homebric

#### Tabelle C64: Beschreibung des Steins

Steintyp		Hochlochziegel Porotherm Homebric
Dichte	ρ [kg/dm³]	≥ 0,70
Normierte mittlere Druckfestigkeit	f <sub>b</sub> [N/mm <sup>2</sup> ]	≥ 10
Umrechnungsfaktor für ç Druckfestigkeiten	geringere	$(f_b / 10)^{0.5} \le 1.0$
Norm		EN 771-1:2011+A1:2015
Hersteller (Land)		z.B. Wienerberger (FR)
Steinabmessungen	[mm]	500 x 200 x 299
Bohrverfahren		Drehbohren





#### Tabelle C65: Installationsparameter

Ankergröße	[-]	M8	M10	M12	M16	IG-M6	IG-M8	IG-M10		
Installationsdrehmoment	T <sub>inst</sub>	[Nm]	≤2 ≤2 ≤2 ≤2 ≤2 ≤2							
Randabstand	Ccr	[mm]	120 (für Querlasten senkrecht zum freien Rand: c <sub>cr</sub> = 500)							
Minimaler Randabstand	C <sub>min</sub>	[mm]	120							
Achsabstand	Scr, II	[mm]		500						
Acrisabstatiu	Scr, ⊥	[mm]	300							
Minimaler Achsabstand	Smin, II;	[mm]		120						
Willimale: Achsabstand	S <sub>min, ⊥</sub>	[111111]				120				

#### Tabelle C66: Reduktionsfaktoren für Einzelanker unter Randeinfluss

Zuglast			Querlast							
Zuglasi			Senkrecht zum freien Rand			Parallel zum freien Rand				
+	mit c ≥	αedge, N	11	mit c ≥	αedge, V⊥	-	mit c ≥	αedge, V II		
	120	1.00	-	120	0,30		120	0.60		
	120	1,00		250	0,60	Į Į	120	0,00		
1	120	1,00		500	1,00		200	1,00		

Friulsider Injektionssystem KEM-UP + Vinylester oder Friulsider
Injektionssystem KEM V für Mauerwerk

#### Leistungen Hochlochziegel Porotherm Homebric

Beschreibung des Steins, Installationsparameter, Reduktionsfaktoren

Anhang C 21



## Steintyp: Hochlochziegel Porotherm Homebric

#### Tabelle C67: Faktoren für Ankergruppen unter Zuglast

Anke	ranordnung pa	ırallel zur Lageı	fuge	Ankeranordnung senkrecht zur Lagerfuge					
	mit c ≥	mit s ≥	αg II, N	·	mit c ≥	mit s ≥	αg⊥, N		
• •	120	100	1,00		120	100	1,00		
	200	100	2,00		200	100	1,20		
	120	500	2,00		120	300	2,00		

#### Tabelle C68: Faktoren für Ankergruppen unter Querlast

	Ankerand	ordnung par	allel zur Lag	gerfuge	Ankeranordnung senkrecht zur Lagerfuge				
Querlast senkrecht zum freien Rand		mit c ≥	mit s ≥	αg II,V⊥		mit c ≥	mit s ≥	αg⊥, V⊥	
		120	100	0,30		120	100	0,30	
	• • •	250	100	0,60	<b>-</b>	250	100	0,60	
		500	100	1,00		120	300	2,00	
		120	500	2,00		120	300	2,00	
Querlast		mit c ≥	mit s ≥	αg II,V II		mit c ≥	mit s ≥	αg ⊥,V II	
parallel zum	rallel zum	120	100	1,00		120	100	1,00	
freien Rand		120	500	2,00		120	300	2,00	

#### Tabelle C69: Charakteristische Werte der Tragfähigkeit unter Zug- und Querlast

Tubelle 303. Of	iaiantoi	13030110	Wichte de	i ilagiali	ighter and	ci Zug- u	iia Quein	450			
		Siebhülse Effektive Verankerungs-		Charakteristischer Widerstand bei $c \ge c_{cr}$ und $s \ge s_{cr}$							
				Nutzungsbedingungen							
Ankergröße Ankergröße	ülse		d/d				d/d w/d w/w				
	Siebh		40°C/24°C	80°C/50°C	120°C/72°C	40°C/24°C	80°C/50°C	120°C/72°C	Alle Temperatur- bereiche		
		h <sub>ef</sub>	N	$N_{Rk,b} = N_{Rk,p}^{(2)}$			$N_{Rk,b} = N_{Rk,b}$	2) p	$V_{Rk,b}^{(2)}$		
		[mm]				[kN]					
		Norm	ierte mittle	re Druckfe	estigkeit f <sub>b</sub>	≥ 10 N/mm	1 <sup>2 1)</sup>				
M8	SH 12	80			1,	2			3,0		
M8 / M10/	SH 16	≥ 85		1,2				3,0			
IG-M6	30 10	130	1,5					3,5			
M12 / M16/	SH 20	≥ 85		1,2							
IG-M8 / IG-M10	3H 20	≥ 130			1,	5			4,0		

<sup>1)</sup> Für geringere Druckfestigkeiten müssen die Widerstände mit dem Umrechnungsfaktor nach Tabelle C64 multipliziert werden. Für Steine mit höheren Festigkeiten sind die angegebenen Werte ohne Umrechnung gültig.

#### Tabelle C70: Verschiebungen

Ankergröße	hef	δη / Ν	δηο	δN∞	δv / V	δνο	δ∨∞
Ankergröße	[mm]	[mm/kN]	[mm]	[mm]	[mm/kN]	[mm]	[mm]
M8 – M12/ IG-M6 – M10	alle	0,13	0,13*N <sub>Rk</sub> / 3,5	2*δνο	0,55	0,55*V <sub>Rk</sub> / 3,5	1,5*δ∨0
M16	alle	,	,	_ 3110	0,31	0,31*V <sub>Rk</sub> /3,5	1,5*δ∨0

Friulsider Injektionssystem KEM-UP + Vinylester oder Friulsider Injektionssystem KEM V für Mauerwerk	
Leistungen Hochlochziegel Porotherm Homebric Gruppenfaktoren, charakteristische Tragfähigkeiten und Verschiebungen	Anhang C 22

<sup>2)</sup>  $N_{Rk,b,c} = N_{Rk,p,c}$  sowie  $V_{Rk,c | II} = V_{Rk,c \perp}$ gemäß Anhang C 3

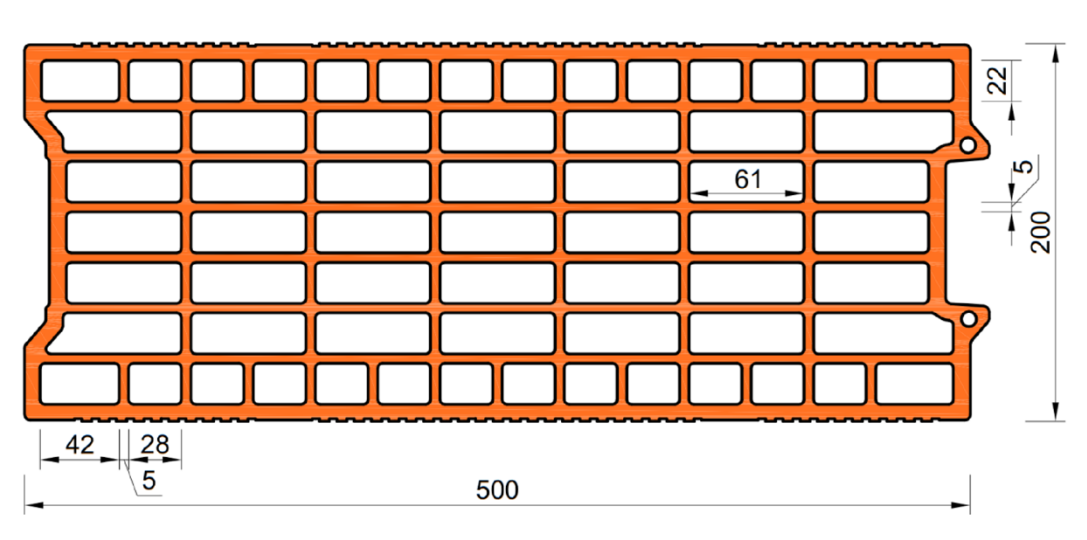


## Steintyp: Hochlochziegel BGV Thermo

#### Tabelle C71: Beschreibung des Steins

Steintyp		Hochlochziegel BGV Thermo
Dichte	ρ [kg/dm³]	≥ 0,60
Normierte mittlere Druckfestigkeit	f <sub>b</sub> [N/mm <sup>2</sup> ]	≥ 10
Umrechnungsfaktor für ç Druckfestigkeiten	geringere	$(f_b / 10)^{0,5} \le 1,0$
Norm		EN 771-1:2011+A1:2015
Hersteller (Land)		z.B. Leroux (FR)
Steinabmessungen	[mm]	500 x 200 x 314
Bohrverfahren		Drehbohren
1		





#### Tabelle C72: Installationsparameter

Ankergröße					M12	M16	IG-M6	IG-M8	IG-M10			
Installationsdrehmoment	T <sub>inst</sub>	[Nm]	≤ 2	≤ 2	≤ 2	≤ 2	≤ 2	≤ 2	≤ 2			
Randabstand	Ccr	[mm]	- '									
Minimaler Randabstand	C <sub>min</sub>	[mm]	120									
Acheabstand	Scr, II	[mm]	500									
Achsabstand scr, \( \text{ [mm]} \)					315							
Minimaler Achsabstand	stand Smin, II; [mm] 120											

#### Tabelle C73: Reduktionsfaktoren für Einzelanker unter Randeinfluss

	Zuglast			Querlast								
	Zugiasi		Senkrech	nt zum freier	Rand	Parallel zum freien Rand						
+	mit c ≥	αedge, N	11	mit c ≥	αedge, V⊥	-	mit c ≥	αedge, V II				
• 120	1.00		120	0,30	I	120	0.60					
	120	1,00		250	0,60	Ţ	120	0,00				
1	120	1,00		500	1,00		250	1,00				

Friulsider Injektionssystem KEM-UP + Vinylester oder Friulsider Injektionssystem KEM V für Mauerwerk

#### Leistungen Hochlochziegel BGV Thermo

Beschreibung des Steins, Installationsparameter, Reduktionsfaktoren

Anhang C 23



## Steintyp: Hochlochziegel BGV Thermo

#### Tabelle C74: Faktoren für Ankergruppen unter Zuglast

Anke	eranordnung pa	ırallel zur Lageı	fuge	Ankeranordnung senkrecht zur Lagerfuge				
·	mit c ≥	mit s ≥	αg II, N		mit c ≥	mit s ≥	αg⊥, N	
	120	100	1,00	•	120	100	1,00	
	200	100	1,70		200	100	1,10	
	120	500	2,00	·	120	315	2,00	

#### Tabelle C75: Faktoren für Ankergruppen unter Querlast

	Ankerand	ordnung par	allel zur Lag	gerfuge	Ankeranordnung senkrecht zur Lagerfuge				
Querlast		mit c ≥	mit s ≥	αg II,V⊥		mit c ≥	mit s ≥	$\alpha_{\text{g}}\bot, \text{V}\bot$	
senkrecht zum freien	•••	120	100	1,00	•	120	100	1,00	
Rand		120	500	2,00		120	315	2,00	
Querlast		mit c ≥	mit s ≥	αg II,V II		mit c ≥	mit s ≥	αg ⊥,V II	
parallel zum	•	120	100	1,00		120	100	1,00	
freien Rand		120	500	2,00		120	315	2,00	

#### Tabelle C76: Charakteristische Werte der Tragfähigkeit unter Zug- und Querlast

					_							
			Charakteristischer Widerstand bei $c \ge c_{cr}$ und $s \ge s_{cr}$									
	ülse	Effektive Verankerungs- tiefe		Nutzungsbedingungen								
Ankergröße			d/d				d/d w/d w/w					
	Siebhülse		40°C/24°C	80°C/50°C	120°C/72°C	40°C/24°C	80°C/50°C	120°C/72°C	Alle Temperatur- bereiche			
		$\mathbf{h}_{ef}$	١	$N_{Rk,b} = N_{Rk,p}^{(2)}$			$N_{Rk,b} = N_{Rk,i}$	2) p	$V_{Rk,b}^{(2)}$			
		[mm]				[kN]						
		Norm	ierte mittle	re Druckfe	estigkeit fb	≥ 10 N/mm	1 <sup>2 1)</sup>					
M8	SH 12	80			0,	9			3,5			
M8 / M10/	SH 16	≥ 85			0,	9			3,5			
IG-M6	SH 16	130	2	,0	1,5	2	,0	1,5	4,0			
M12 / M16	SH 20	≥ 85		0,9								
IG-M8 / IG-M10	3H 20	≥ 130	2	,0	1,5	2	,,0	1,5	4,0			

<sup>1)</sup> Für geringere Druckfestigkeiten müssen die Widerstände mit dem Umrechnungsfaktor nach Tabelle C71 multipliziert werden. Für Steine mit höheren Festigkeiten sind die angegebenen Werte ohne Umrechnung gültig.

#### Tabelle C77: Verschiebungen

Ankergröße	hef	δη / Ν	δΝο	δN∞	δv / V	δνο	δ∨∞
Allkergroise	[mm]	[mm/kN]	[mm]	[mm]	[mm/kN]	[mm]	[mm]
M8 – M12/ IG-M6 – M10	alle	0,13	0,13*N <sub>Rk</sub> / 3,5	2*δνο	0,55	0,55*V <sub>Rk</sub> / 3,5	1,5*δ∨ο
M16	alle		,		0,31	0,31*V <sub>Rk</sub> /3,5	1,5*δ∨ο

Friulsider Injektionssystem KEM-UP + Vinylester oder Friulsider Injektionssystem KEM V für Mauerwerk	
Leistungen Hochlochziegel BGV Thermo Gruppenfaktoren, charakteristische Tragfähigkeiten und Verschiebungen	Anhang C 24

<sup>2)</sup>  $N_{Rk,b,c} = N_{Rk,p,c}$  sowie  $V_{Rk,c | I} = V_{Rk,c \perp}$ gemäß Anhang C 3

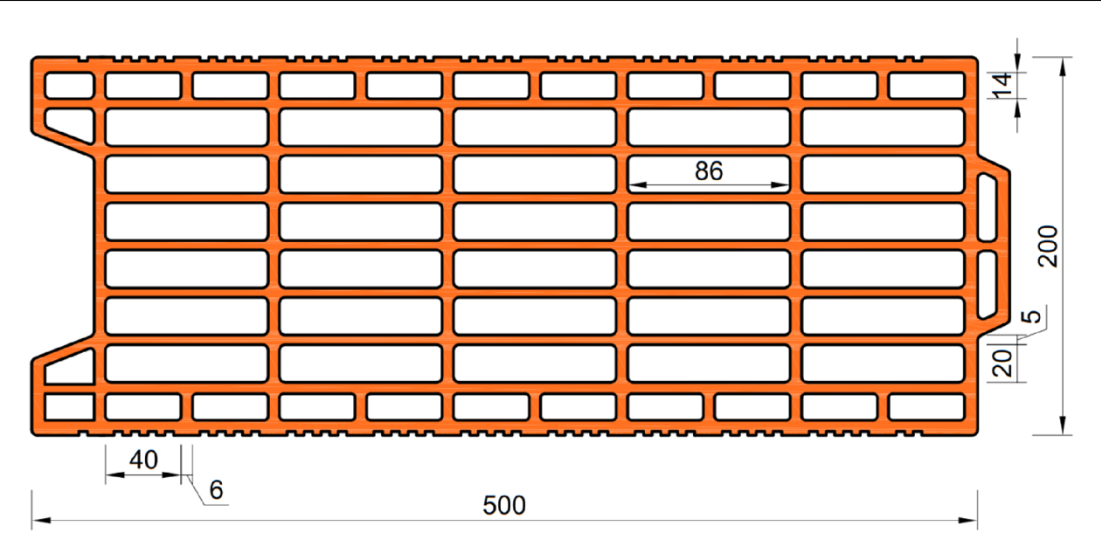


## Steintyp: Hochlochziegel Calibric R+

#### Tabelle C78: Beschreibung des Steins

Steintyp		Hochlochziegel Calibric R+
Dichte	ρ [kg/dm³]	≥ 0,60
Normierte mittlere Druckfestigkeit	f <sub>b</sub> [N/mm <sup>2</sup> ]	≥ 12
Umrechnungsfaktor für g Druckfestigkeiten	eringere	$(f_b / 12)^{0.5} \le 1.0$
Norm		EN 771-1:2011+A1:2015
Hersteller (Land)		z.B. Leroux (FR)
Steinabmessungen	[mm]	500 x 200 x 314
Bohrverfahren		Drehbohren





#### Tabelle C79: Installationsparameter

Ankergröße [-			M8	M10	M12	M16	IG-M6	IG-M8	IG-M10		
Installationsdrehmoment	T <sub>inst</sub>	[Nm]	≤ 2	≤ 2	≤ 2	≤ 2	≤ 2	≤ 2	≤ 2		
Randabstand	Ccr	[mm]	120 (für Querlasten senkrecht zum freien Rand: c <sub>cr</sub> = 500)								
Minimaler Randabstand	C <sub>min</sub>	[mm]	120								
Achsabstand	Scr, II	[mm]		500							
Acrisabstand	Scr, ⊥	[mm]				315					
Minimaler Achsabstand	Smin, II; Smin, ⊥	[mm]	120								

#### Tabelle C80: Reduktionsfaktoren für Einzelanker unter Randeinfluss

Zuglast			Querlast							
			Senkrecht zum freien Rand			Parallel zum freien Rand				
+	mit c ≥	αedge, N	·	mit c ≥	αedge, V⊥	-	mit c ≥	αedge, V II		
• 120 1.00	1.00		120	0,15	1	120	0.30			
	120	1,00		250	0,30	Ţ	120	0,50		
1	120 1,00			500	1,00		250	1,00		

Friulsider Injektionssystem KEM-UP + Vinylester oder Friulsider
Injektionssystem KEM V für Mauerwerk

#### Leistungen Hochlochziegel Calibric R+

Beschreibung des Steins, Installationsparameter, Reduktionsfaktoren

Anhang C 25



## Steintyp: Hochlochziegel Calibric R+

#### Tabelle C81: Faktoren für Ankergruppen unter Zuglast

Ankeranordnung parallel zur Lagerfuge				Ankeranordnung senkrecht zur Lagerfuge				
11	mit c ≥	mit s ≥	αg II, N		mit c ≥	mit s ≥	αg⊥, N	
	120	100	1,00	•	120	100	1,00	
	175	100	1,70		175	100	1,10	
- james and have a	120	500	2,00		120	315	2,00	

#### Tabelle C82: Faktoren für Ankergruppen unter Querlast

	Ankerand	ordnung par	allel zur Lag	gerfuge	Ankeranordnung senkrecht zur Lagerfuge				
Querlast		mit c ≥	mit s ≥	αg II,V⊥		mit c ≥	mit s ≥	$\alpha_{\text{g}\perp,\text{V}\perp}$	
senkrecht zum freien	•••	120	100	1,00	•	120	100	1,00	
Rand		120	500	2,00		120	315	2,00	
Querlast		mit c ≥	mit s ≥	αg II,V II		mit c ≥	mit s ≥	αg ⊥,V II	
parallel zum	• •	120	100	1,00		120	100	1,00	
freien Rand		120	500	2,00		120	315	2,00	

#### Tabelle C83: Charakteristische Werte der Tragfähigkeit unter Zug- und Querlast

Tabono coor charakteriotic tronc acr. Tragramgkon anter Lag ana quentact												
			Charakteristischer Widerstand bei c≥ c <sub>cr</sub> und s≥ s <sub>cr</sub>									
		<u> </u>	ν Nutzungsbedingungen									
Ankergröße	ıülse	Effektive Verankerungs- tiefe		d/d w/w					d/d w/d w/w			
	Siebhülse	Vers	40°C/24°C	80°C/50°C	120°C/72°C	40°C/24°C	80°C/50°C	120°C/72°C	Alle Temperatur- bereiche			
		h <sub>ef</sub>	$N_{Rk,b} = N_{Rk,p}^{2)}$			1	$V_{Rk,b}^{2)}$					
		[mm]				[kN]						
		Norm	ierte mittle	ere Druckf	estigkeit f <sub>b</sub>	≥ 12 N/mı	<b>n</b> ² 1)					
M8	SH 12	80	1,2	1,2	0,9	1,2	1,2	0,9	4,0			
M8 / M10/	SH 16	≥ 85	1,2	1,2	0,9	1,2	1,2	0,9	5,5			
IG-M6	31110	130	1,5	1,5	1,2	1,5	1,5	1,2	5,5			
M12 / M16	SH 20	≥ 85	1,2	1,2	0,9	1,2	1,2	0,9	8,5			
IG-M8 /IG-M10	SH 20	≥ 130	1,5	1,5	1,2	1,5	1,5	1,2	8,5			

<sup>1)</sup> Für geringere Druckfestigkeiten müssen die Widerstände mit dem Umrechnungsfaktor nach Tabelle C78 multipliziert werden. Für Steine mit höheren Festigkeiten sind die angegebenen Werte ohne Umrechnung gültig.

#### Tabelle C84: Verschiebungen

Ankergröße	hef	δη / Ν	δΝο	δN∞	δv / V	δνο	δ∨∞
	[mm]	[mm/kN]	[mm]	[mm]	[mm/kN]	[mm]	[mm]
M8 – M12 IG-M6 – M10	alle	0,13	0,13*N <sub>Rk</sub> / 3,5	2*δνο	0,55	0,55*V <sub>Rk</sub> / 3,5	1,5*δ∨ο
M16	alle		,		0,31	0,31*V <sub>Rk</sub> /3,5	1,5*δ∨ο

Friulsider Injektionssystem KEM-UP + Vinylester oder Friulsider Injektionssystem KEM V für Mauerwerk	
Leistungen Hochlochziegel Calibric R+ Gruppenfaktoren, charakteristische Tragfähigkeiten und Verschiebungen	Anhang C 26

<sup>2)</sup>  $N_{Rk,b,c} = N_{Rk,p,c}$  sowie  $V_{Rk,c|I|} = V_{Rk,c} \perp$  gemäß Anhang C 3

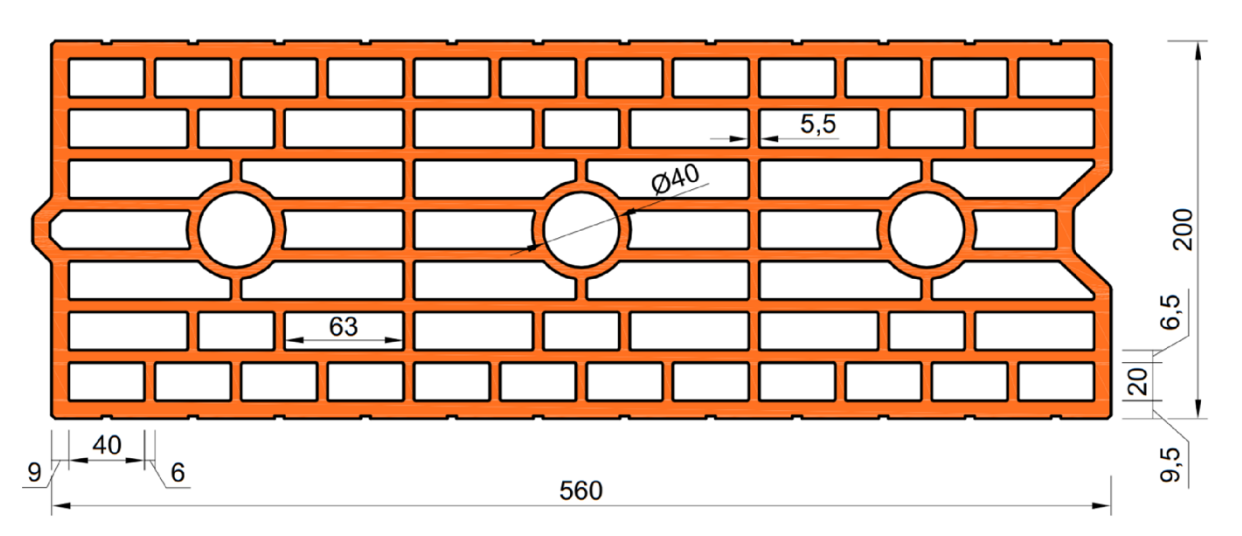


## Steintyp: Hochlochziegel Urbanbric

#### Tabelle C85: Beschreibung des Steins

Steintyp		Hochlochziegel Urbanbric
Dichte	ρ <b>[kg/dm³]</b>	≥ 0,70
Normierte mittlere Druckfestigkeit	f <sub>b</sub> [N/mm <sup>2</sup> ]	≥ 12
Umrechnungsfaktor für g Druckfestigkeiten	geringere	$(f_b / 12)^{0,5} \le 1,0$
Norm		EN 771-1:2011+A1:2015
Hersteller (Land)		z.B. Imerys (FR)
Steinabmessungen	[mm]	560 x 200 x 274
Bohrverfahren		Drehbohren
1		





#### Tabelle C86: Installationsparameter

Ankergröße	[-]	M8	M10	M12	M16	IG-M6	IG-M8	IG-M10		
Installationsdrehmoment	T <sub>inst</sub>	[Nm]	≤ 2	≤ 2	≤ 2	≤ 2	≤ 2	≤ 2	≤ 2	
Randabstand	Ccr	[mm]	12	120 (für Querlasten senkrecht zum freien Rand: c <sub>cr</sub> = 500)						
Minimaler Randabstand	Cmin	[mm]	120							
Achsabstand	Scr, II	[mm]		560						
Acrisabstand	Scr, ⊥	[mm]				275				
Minimaler Achsabstand	S <sub>min, II</sub> ; S <sub>min, ⊥</sub>	[mm]	100							

#### Tabelle C87: Reduktionsfaktoren für Einzelanker unter Randeinfluss

Zuglast		Querlast						
Zuglast			Senkrecht zum freien Rand			Parallel zum freien Rand		
1	mit c ≥	αedge, N	1	mit c ≥	αedge, V⊥		mit c ≥	αedge, VII
	120	1.00		120	0,25		120	0,50
	120	1,00		250	0,50	Į Į	120	0,50
	120	1,00		500	1,00		250	1,00

Friulsider Injektionssystem KEM-UP + Vinylester oder Friulsider Injektionssystem KEM V für Mauerwerk	
Leistungen Hochlochziegel Urbanbric Beschreibung des Steins, Installationsparameter, Reduktionsfaktoren	Anhang C 27



## Steintyp: Hochlochziegel Urbanbric

#### Tabelle C88: Faktoren für Ankergruppen unter Zuglast

Ankeranordnung parallel zur Lagerfuge				Ankeranordnung senkrecht zur Lagerfuge			
·	mit c ≥	mit s ≥	αg II, N		mit c ≥	mit s ≥	αg⊥, N
	120	100	1,00	•	120	100	1,00
	185	100	1,90		185	100	1,10
	120	560	2,00	·	120	275	2,00

#### Tabelle C89: Faktoren für Ankergruppen unter Querlast

	Ankerand	nkeranordnung parallel zur Lagerfuge				Ankeranordnung senkrecht zur Lagerfuge			
Querlast		mit c ≥	mit s ≥	αg II,V⊥	1	mit c ≥	mit s ≥	$\alpha_{\text{g}}\bot, \text{V}\bot$	
senkrecht zum freien	•••	120	100	1,00		120	100	1,00	
Rand		120 560 2,00	120	275	2,00				
Querlast		mit c ≥	mit s ≥	αg II,V II		mit c ≥	mit s ≥	αg ⊥,V II	
parallel zum	•	120	100	1,00		120	100	1,00	
freien Rand		120	560	2,00		120	275	2,00	

#### Tabelle C90: Charakteristische Werte der Tragfähigkeit unter Zug- und Querlast

					_							
			Charakteristischer Widerstand bei $c \ge c_{cr}$ und $s \ge s_{cr}$									
		<u>%</u>		Nutzungsbedingungen								
Ankergröße	ülse	Effektive Verankerungs- tiefe		d/d			d/d w/d w/w					
	Siebhülse	Vers	40°C/24°C	80°C/50°C	120°C/72°C	40°C/24°C	80°C/50°C	120°C/72°C	Alle Temperatur- bereiche			
		h <sub>ef</sub>	١	$J_{Rk,b} = N_{Rk,p}$	2)	$N_{Rk,b} = N_{Rk,p}^{2}$			$V_{Rk,b}^{(2)}$			
		[mm]		[kN]								
		Norm	ierte mittle	re Druckfe	estigkeit f <sub>b</sub>	≥ 12 N/mm <sup>2 1)</sup>						
M8	SH 12	80	1,2	1,2	0,9	1,2	1,2	0,9	4,5			
M8 / M10/	SH 16	≥ 85	1,2	1,2	0,9	1,2	1,2	0,9	4,5			
IG-M6	31110	130	3,0	3,0	2,5	3,0	3,0	2,5	4,5			
M12 / M16	SH 20	≥ 85	1,2	1,2	0,9	1,2	1,2	0,9	5,0			
IG-M8 / IG-M10	SH 20	≥ 130	3,0	3,0	2,5	3,0	3,0	2,5	5,0			

<sup>1)</sup> Für geringere Druckfestigkeiten müssen die Widerstände mit dem Umrechnungsfaktor nach Tabelle C85 multipliziert werden. Für Steine mit höheren Festigkeiten sind die angegebenen Werte ohne Umrechnung gültig.

#### Tabelle C91: Verschiebungen

Ankergröße	hef	δη / Ν	δΝο	δN∞	δv / V	δνο	δ∨∞
	[mm]	[mm/kN]	[mm]	[mm]	[mm/kN]	[mm]	[mm]
M8 – M12/ IG-M6 – M10	alle	0,13	0,13*N <sub>Rk</sub> / 3,5	2*δνο	0,55	0,55*V <sub>Rk</sub> /3,5	1,5*δ∨0
M16	alle		, , , , ,		0,31	0,31*V <sub>Rk</sub> /3,5	1,5*δ∨0

Friulsider Injektionssystem KEM-UP + Vinylester oder Friulsider Injektionssystem KEM V für Mauerwerk	
Leistungen Hochlochziegel Urbanbric Gruppenfaktoren, charakteristische Tragfähigkeiten und Verschiebungen	Anhang C 28

<sup>2)</sup>  $N_{Rk,b,c} = N_{Rk,p,c}$  sowie  $V_{Rk,c | II} = V_{Rk,c \perp}$ gemäß Anhang C 3

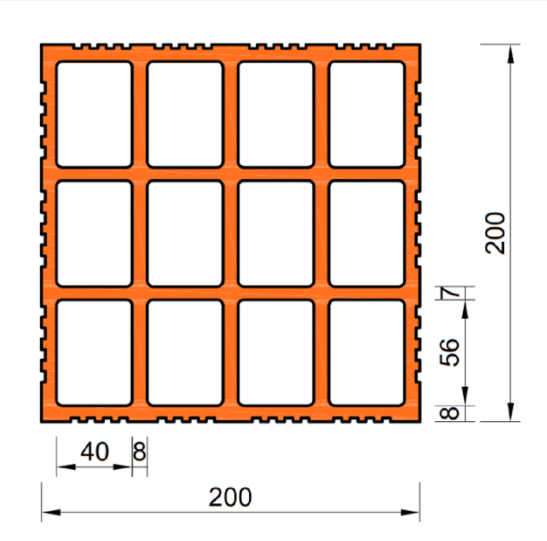


## Steintyp: Lochziegel Brique creuse C40

#### Tabelle C92: Beschreibung des Steins

Steintyp		Lochziegel Brique creuse C40
Dichte	$\rho$ [kg/dm $^3$ ]	≥ 0,70
Normierte mittlere Druckfestigkeit	f <sub>b</sub> [N/mm <sup>2</sup> ]	≥ 12
Umrechnungsfaktor für g Druckfestigkeiten	geringere	$(f_b / 12)^{0.5} \le 1.0$
Norm		EN 771-1:2011+A1:2015
Hersteller (Land)		z.B. Terreal (FR)
Steinabmessungen	[mm]	500 x 200 x 200
Bohrverfahren		Drehbohren





#### Tabelle C93: Installationsparameter

Ankergröße		[-]	M8	M10	M12	M16	IG-M6	IG-M8	IG-M10
Installationsdrehmoment	T <sub>inst</sub>	[Nm]	≤ 2	≤ 2	≤ 2	≤ 2	≤ 2	≤ 2	≤ 2
Randabstand	Ccr	[mm]	[mm] 120 (für Querlasten senkrecht zum freien Rand: c <sub>cr</sub> = 500)			00)			
Minimaler Randabstand	C <sub>min</sub>	[mm]	m] 120						
Achsabstand	Scr, II		500						
Acrisabstand	Scr, ⊥	[mm]	200						
Minimaler Achsabstand S <sub>min, II;</sub>		[mm]	200						

#### Tabelle C94: Reduktionsfaktoren für Einzelanker unter Randeinfluss

Zuglast				Querlast								
			Senkrech	nt zum freier	Rand	Parallel zum freien Rand						
	mit c ≥	αedge, N		mit c ≥	αedge, V⊥		mit c ≥	αedge, VII				
•	120	1,00	<b>→</b>	120	0,83	]     •   [	120	1,00				
	120	1,00		500	1,00		250	1,00				

Friulsider Injektionssystem KEM-UP + Vinylester oder Friulsider Injektionssystem KEM V für Mauerwerk	
Leistungen Lochziegel Brique Creuse C40 Beschreibung des Steins, Installationsparameter, Reduktionsfaktoren	Anhang C 29

Leistungen Lochziegel Brique Creuse C40

Gruppenfaktoren, charakteristische Tragfähigkeiten und Verschiebungen



#### Steintyp: Lochziegel Brique creuse C40 Tabelle C95: Faktoren für Ankergruppen unter Zuglast Ankeranordnung parallel zur Lagerfuge Ankeranordnung senkrecht zur Lagerfuge mit c ≥ mit s ≥ mit c ≥ mit s ≥ αg II, N $\alpha_{\text{g}\,\perp,\,\text{N}}$ 120 500 2.00 120 200 2,00 Tabelle C96: Faktoren für Ankergruppen unter Querlast Ankeranordnung parallel zur Lagerfuge Ankeranordnung senkrecht zur Lagerfuge mit c ≥ Querlast mit s ≥ mit c ≥ mit s ≥ $\alpha_{g \; \text{II,V} \; \perp}$ $\alpha_{\text{g}\,\perp,\,\text{V}\,\perp}$ senkrecht zum freien 120 500 120 200 2,00 2,00 Rand Querlast mit c ≥ mit s ≥ mit c ≥ mit s ≥ αg II,V II αg ⊥,V II parallel zum 120 500 2,00 120 200 2,00 freien Rand Tabelle C97: Charakteristische Werte der Tragfähigkeit unter Zug- und Querlast Charakteristischer Widerstand bei $c \ge c_{cr}$ und $s \ge s_{cr}$ Nutzungsbedingungen Verankerungs-Effektive d/d w/d d/d w/d Siebhülse w/w w/w Ankergröße Alle 40°C/24°C | 80°C/50°C | 120°C/72°C | 40°C/24°C | 80°C/50°C | 120°C/72°C | Temperaturbereiche $N_{Rk,b} = N_{Rk,p}^{(2)}$ $\underline{V_{Rk,b}}^{2)}$ $N_{Rk,b} = N_{Rk,p}^{(2)}$ $h_{\mathsf{ef}}$ [mm] [kN] Normierte mittlere Druckfestigkeit f<sub>b</sub> ≥ 12 N/mm<sup>2</sup> 1) **SH 12 M8** 80 M8 / M10/ **SH 16** ≥ 85 IG-M6 1,2 1,2 0,9 1,2 1,2 0,9 1,5 M12/M16/ **SH 20** ≥ 85 IG-M8 / IG-M10 1) Für geringere Druckfestigkeiten müssen die Widerstände mit dem Umrechnungsfaktor nach Tabelle C92 multipliziert werden. Für Steine mit höheren Festigkeiten sind die angegebenen Werte ohne Umrechnung gültig. 2) $N_{Rk,b,c} = N_{Rk,p,c}$ sowie $V_{Rk,c | I} = V_{Rk,c} \perp$ gemäß Anhang C 3 Tabelle C98: Verschiebungen $\delta N / N$ δΝο $\delta V / V$ δνο hef δN∞ δ∨∞ Ankergröße [mm] [mm/kN] [mm] [mm] [mm/kN] [mm] [mm] M8 - M12/ 0.55\*V<sub>Rk</sub> / 3.5 alle 0,55 1,5\*δ∨0 IG-M6 - M10 0,13\*N<sub>Rk</sub> / 3,5 0,13 2\*δΝ0 0,31\*V<sub>Rk</sub>/3,5 M16 0.31 alle 1.5\*δ∨0 Friulsider Injektionssystem KEM-UP + Vinylester oder Friulsider Injektionssystem KEM V für Mauerwerk

Z198285.25 8.06.04-120/25

Anhang C 30

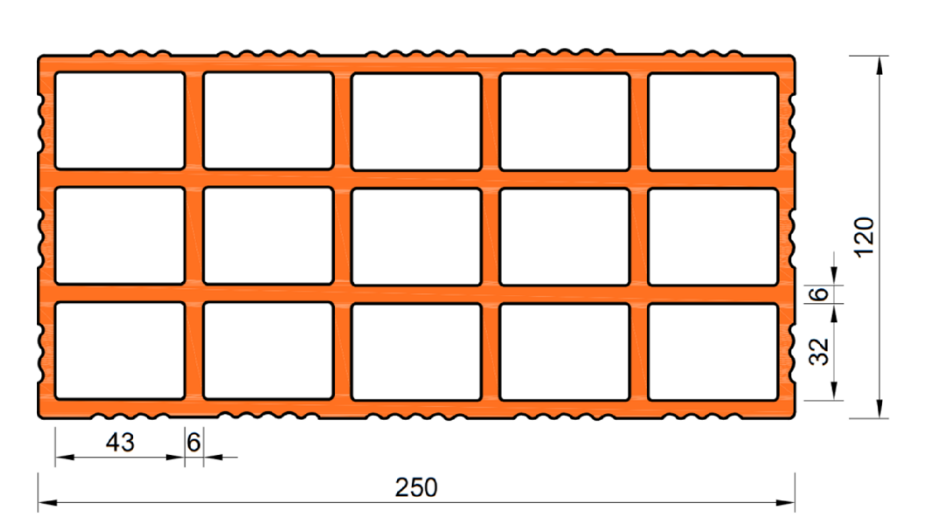


## Steintyp: Lochziegel Blocchi Leggeri

#### Tabelle C99: Beschreibung des Steins

Steintyp		Lochziegel Blocchi Leggeri
Dichte	ρ <b>[kg/dm³]</b>	≥ 0,60
Normierte mittlere Druckfestigkeit	Tr III/mm41	
Umrechnungsfaktor für g Druckfestigkeiten	geringere	$(f_b / 12)^{0,5} \le 1,0$
Norm		EN 771-1:2011+A1:2015
Hersteller (Land)		z.B. Wienerberger (IT)
Steinabmessungen	[mm]	250 x 120 x 250
Bohrverfahren		Drehbohren





#### Tabelle C100: Installationsparameter

Tabelle & Too. Illotalla	c.oop	ai aiii c tc	,,							
Ankergröße	[-]	M8	M10	M12	M16	IG-M6	IG-M8	IG-M10		
Installationsdrehmoment	T <sub>inst</sub>	[Nm]	≤ 2	≤ 2	≤ 2	≤ 2	≤ 2	≤ 2	≤ 2	
Randabstand	Ccr	[mm]	120 (für Querlasten senkrecht zum freien Rand: c <sub>cr</sub> = 250)							
Minimaler Randabstand	C <sub>min</sub>	[mm]	60							
Achsabstand	Scr, II	[mm]	250							
Acrisabstand	Scr, ⊥	[mm]	250							
Minimaler Achsabstand	Smin, II; Smin, ⊥	[mm]	m] 100							

#### Tabelle C101: Reduktionsfaktoren für Einzelanker unter Randeinfluss

Zuglast			Querlast						
	Zugiasi		Senkrecht zum freien Rand Parallel zum freien Ra				Rand		
	mit c ≥	αedge, N		mit c ≥	αedge, V⊥		mit c ≥	αedge, VII	
•	60	1,00	<b>→</b>	60	0,40	<u> </u>	60	0,40	
	120	1,00		250	1,00		120	1,00	

Friulsider Injektionssystem KEM-UP + Vinylester oder Friulsider Injektionssystem KEM V für Mauerwerk	
Leistungen Lochziegel Blocchi Leggeri Beschreibung des Steins, Installationsparameter, Reduktionsfaktoren	Anhang C 31



## Steintyp: Lochziegel Blocchi Leggeri

#### Tabelle C102: Faktoren für Ankergruppen unter Zuglast

Anke	eranordnung pa	ırallel zur Lagei	fuge	Anker	Ankeranordnung senkrecht zur Lagerfuge			
	mit c ≥	mit s ≥	αg II, N		mit c ≥	mit s ≥	αg⊥, N	
• •	60	100	1,00		60	100	2,00	
	120	250	2,00		120	250	2,00	

#### Tabelle C103: Faktoren für Ankergruppen unter Querlast

	Ankerand	ordnung par	allel zur Lag	gerfuge	Ankerand	Ankeranordnung senkrecht zur Lagerfuge			
Querlast		mit c ≥	mit s ≥	αg II,V⊥		mit c ≥	mit s ≥	$\alpha_{\text{g}\perp,\text{V}\perp}$	
senkrecht	•••	60	100	0,40	•	60	100	0,40	
zum freien		250	100	1,00		250	100	1,00	
Rand	.,	250	250	2,00		250	250	2,00	
Querlast parallel zum freien Rand	1	mit c ≥	mit s ≥	αg II,V II	1	mit c ≥	mit s ≥	αg ⊥,V II	
	••	60	100	0,40	•	60	100	0,40	
		120	100	1,00		120	100	1,00	
		120	250	2,00	į.	120	250	2,00	

#### Tabelle C104: Charakteristische Werte der Tragfähigkeit unter Zug- und Querlast

			Charakteristischer Widerstand bei c≥ c <sub>cr</sub> und s≥ s <sub>cr</sub>									
		<u>%</u>		Nutzungsbedingungen								
Ankergröße	Siebhülse	Effektive Verankerungs- tiefe		d/d			d/d w/d w/w					
	ebk	ers (							Alle			
	\sigma	>	40°C/24°C	80°C/50°C	120°C/72°C	40°C/24°C	80°C/50°C	120°C/72°C	Temperatur- bereiche			
							$N_{Rk,b} = N_{Rk,b}$					
		h <sub>ef</sub>	$N_{Rk,b} = N_{Rk,p}^{2}$			1	$V_{Rk,b}^{(2)}$					
		[mm]				[kN]						
		Norm	ierte mittle	re Druckfe	estigkeit f <sub>b</sub>	≥ 12 N/mm	1 <sup>2 1)</sup>					
M8	SH 12	80										
M8 / M10/ IG-M6	SH 16	≥ 85	0,6	0,6	0,6	0,6	0,6	0,6	3,5			
M12 / M16 / IG-M8 / IG-M10	SH 20	≥ 85										

<sup>1)</sup> Für geringere Druckfestigkeiten müssen die Widerstände mit dem Umrechnungsfaktor nach Tabelle C99 multipliziert werden. Für Steine mit höheren Festigkeiten sind die angegebenen Werte ohne Umrechnung gültig.

#### Tabelle C105: Verschiebungen

Ankoraräßo	hef	δη / Ν	δηο	δN∞	δv / V	δνο	δ∨∞
Ankergröße	[mm]	[mm/kN]	[mm]	[mm]	[mm/kN]	[mm]	[mm]
M8 – M12/ IG-M6 – M10	alle	0,13	0,13*N <sub>Rk</sub> / 3,5	2*δνο	0,55	0,55*V <sub>Rk</sub> / 3,5	1,5*δ∨0
M16	alle		,	_ ****	0,31	0,31*V <sub>Rk</sub> /3,5	1,5*δ∨0

Friulsider Injektionssystem KEM-UP + Vinylester oder Friulsider Injektionssystem KEM V für Mauerwerk	
Leistungen Lochziegel Blocchi Leggeri Gruppenfaktoren, charakteristische Tragfähigkeiten und Verschiebungen	Anhang C 32

<sup>2)</sup>  $N_{Rk,b,c} = N_{Rk,p,c}$  sowie  $V_{Rk,c | II} = V_{Rk,c \perp}$ gemäß Anhang C 3

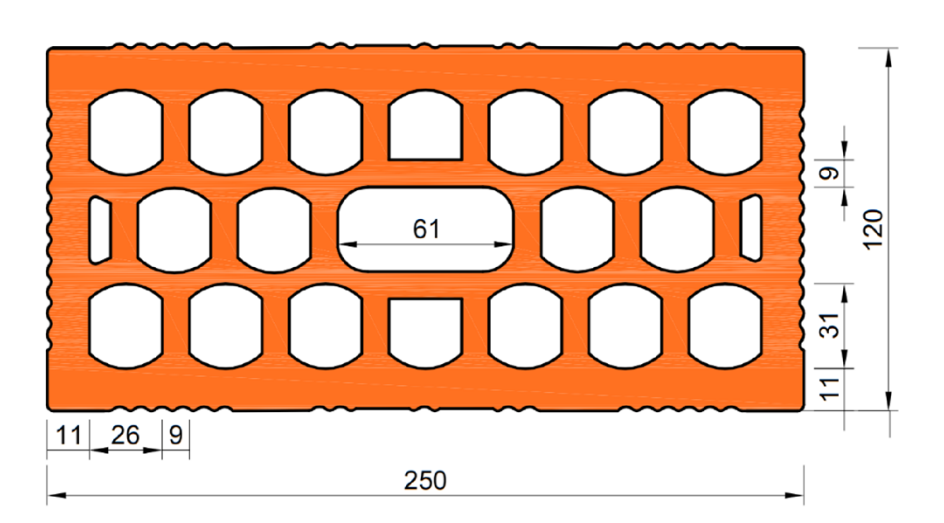


## Steintyp: Hochlochziegel Doppio Uni

#### Tabelle C106: Beschreibung des Steins

Steintyp		Hochlochziegel Doppio Uni	
Dichte	ρ [kg/dm³]	≥ 0,90	
Normierte mittlere Druckfestigkeit	f <sub>b</sub> [N/mm <sup>2</sup> ]	≥ 28	
Umrechnungsfaktor für g Druckfestigkeiten	$(f_b / 28)^{0.5} \le 1.0$		
Norm		EN 771-1:2011+A1:2015	
Hersteller (Land)		z.B. Wienerberger (IT)	
Steinabmessungen	[mm]	250 x 120 x 120	
Bohrverfahren		Drehbohren	





#### Tabelle C107: Installationsparameter

l .	•									
Ankergröße		[-]	M8	M10	M12	M16	IG-M6	IG-M8	IG-M10	
Installationsdrehmoment T <sub>inst</sub>		[Nm]	≤ 2	≤ 2	≤ 2	≤ 2	≤ 2	≤ 2	≤ 2	
Randabstand	Ccr	[mm]	120 (für Querlasten senkrecht zum freien Rand: c <sub>cr</sub> = 250)							
Minimaler Randabstand	C <sub>min</sub>	[mm]	100							
Achsabstand	Scr, II	[mm]	250							
Acrisabstand	Scr, ⊥	[mm]	120							
Minimaler Achsabstand Smin, II; Smin, ⊥ [mm]				100						

#### Tabelle C108: Reduktionsfaktoren für Einzelanker unter Randeinfluss

Zuglast			Querlast						
	Zugiasi		Senkrech	nt zum freier	Rand	Parallel zum freien Rand			
	mit c ≥	αedge, N		mit c ≥	αedge, V⊥		mit c ≥	αedge, VII	
•	100	1,00	<b>→</b>	100	0,50	]   <u>•</u>   [	100	1,00	
	120	1,00		250	1,00		120	1,00	

Friulsider Injektionssystem KEM-UP + Vinylester oder Friulsider Injektionssystem KEM V für Mauerwerk	
Leistungen Hochlochziegel Doppio Uni Beschreibung des Steins, Installationsparameter, Reduktionsfaktoren	Anhang C 33



## Steintyp: Hochlochziegel Doppio Uni

#### Tabelle C109: Faktoren für Ankergruppen unter Zuglast

Anke	eranordnung pa	arallel zur Lage	fuge	Ankeranordnung senkrecht zur Lagerfuge			
	mit c ≥	mit s ≥	αg II, N		mit c ≥	mit s ≥	$lpha_{g\perp\!,N}$
• •	100	100	1,00		100	120	2,00
	120	250	2,00		120	120	2,00

#### Tabelle C110: Faktoren für Ankergruppen unter Querlast

	Ankerand	ordnung par	allel zur Lag	gerfuge	Ankerand	Ankeranordnung senkrecht zur Lagerfuge			
Querlast		mit c ≥	mit s ≥	αg II,V ⊥	1	mit c ≥	mit s ≥	$\alpha_{\text{g}}\bot, \text{V}\bot$	
senkrecht zum freien	•••	100	100	1,00	•	100	100	1,00	
Rand		250	250	2,00		250	120	2,00	
Querlast		mit c ≥	mit s ≥	αg II,V II		mit c ≥	mit s ≥	αg ⊥,V II	
parallel zum	• •	100	100	1,00		100	100	1,00	
freien Rand		120	250	2,00		120	120	2,00	

#### Tabelle C111: Charakteristische Werte der Tragfähigkeit unter Zug- und Querlast

				Charakteristischer Widerstand bei $c \ge c_{cr}$ und $s \ge s_{cr}$								
		Effektive Verankerungs- tiefe		Nutzungsbedingungen								
Ankergröße	Siebhülse		d/d				d/d w/d w/w					
			40°C/24°C	80°C/50°C	120°C/72°C	40°C/24°C	80°C/50°C	120°C/72°C	Alle Temperatur- bereiche			
		$\mathbf{h}_{ef}$	N	$N_{Rk,b} = N_{Rk,p}^{2}$			$N_{Rk,b} = N_{Rk,l}$	2)	$V_{Rk,b}^{2)}$			
		[mm]		[kN]								
		Norm	ierte mittle	re Druckfe	estigkeit fb	≥ 28 N/mm	1 <sup>2 1)</sup>					
M8	SH 12	80										
M8 / M10/ IG-M6	SH 16	≥ 85	1,2	1,2	0,9	1,2	1,2	0,9	2,5			
M12 / M16 / IG-M8 / IG-M10	SH 20	≥ 85										

<sup>1)</sup> Für geringere Druckfestigkeiten müssen die Widerstände mit dem Umrechnungsfaktor nach Tabelle C106 multipliziert werden. Für Steine mit höheren Festigkeiten sind die angegebenen Werte ohne Umrechnung gültig.

#### Tabelle C112: Verschiebungen

Ankoraräßo	hef	δη / Ν	δΝο	δN∞	δv / V	δνο	δ∨∞
Ankergröße	[mm]	[mm/kN]	[mm]	[mm]	[mm/kN]	[mm]	[mm]
M8 – M12/ IG-M6 – M10	alle	0,13	0,13*N <sub>Rk</sub> / 3,5	2*δνο	0,55	0,55*V <sub>Rk</sub> / 3,5	1,5*δ∨ο
M16	alle		,		0,31	0,31*V <sub>Rk</sub> /3,5	1,5*δ∨0

Friulsider Injektionssystem KEM-UP + Vinylester oder Friulsider Injektionssystem KEM V für Mauerwerk	
Leistungen Hochlochziegel Doppio Uni Gruppenfaktoren, charakteristische Tragfähigkeiten und Verschiebungen	Anhang C 34

<sup>2)</sup>  $N_{Rk,b,c} = N_{Rk,p,c}$  sowie  $V_{Rk,c|I} = V_{Rk,c} \perp$  gemäß Anhang C 3

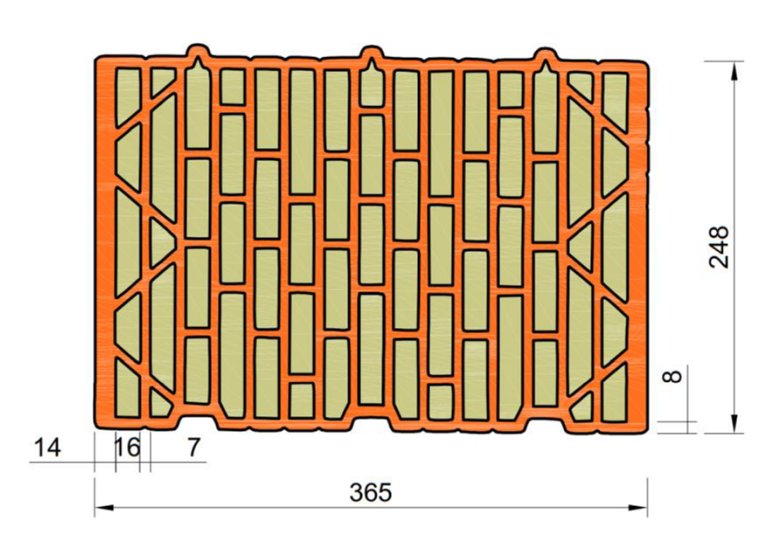


## Steintyp: Hochlochziegel Coriso W07 mit Wärmedämmung

## Tabelle C113: Beschreibung des Steins

Steintyp		Hochlochziegel Coriso W07	
Füllung		Mineralwolle	
Dichte	ρ [kg/dm³]	≥ 0,55	
Normierte mittlere Druckfestigkeit	f <sub>b</sub> [N/mm <sup>2</sup> ]	≥ 6	
Umrechnungsfaktor für g Druckfestigkeiten	$(f_b / 6)^{0,5} \le 1,0$		
Norm		EN 771-1:2011+A1:2015	
Hersteller (Land)		z.B. Unipor (DE)	
Steinabmessungen	[mm]	248 x 365 x 249	
Bohrverfahren		Drehbohren	





#### Tabelle C114: Installationsparameter

			-								
Ankergröße		[-]	M8	M10	M12	M16	IG-M6	IG-M8	IG-M10		
Installationsdrehmoment	Tinst	[Nm]	≤ 5	≤ 5	≤ 10	≤ 10	≤ 5	≤ 5	≤ 5		
Randabstand	Ccr	[mm]	120 (für Querlasten senkrecht zum freien Rand: c <sub>cr</sub> = 250)								
Minimaler Randabstand	Cmin	[mm]	50								
Ashashatand	Scr, II	[mm]		250							
Achsabstand	Scr, ⊥	[mm]		250							
Minimaler Achsabstand	Smin, II;	[mm]	50								

#### Tabelle C115: Reduktionsfaktoren für Einzelanker unter Randeinfluss

Zuglast			Querlast							
	Zugiasi		Senkrech	nt zum freier	Rand	Parallel zum freien Rand				
	mit c ≥	αedge, N		mit c ≥	αedge, V⊥		mit c ≥	αedge, VII		
•	50	1,00	<b>→</b>	50	0,30	1	50	1,00		
	120	1,00		250	1,00		120	1,00		

Friulsider Injektionssystem KEM-UP + Vinylester oder Friulsider Injektionssystem KEM V für Mauerwerk	
Leistungen Hochlochziegel Coriso W07 mit Wärmedämmung Beschreibung des Steins, Installationsparameter, Reduktionsfaktoren	Anhang C 35



## Steintyp: Hochlochziegel Coriso W07 mit Wärmedämmung

#### Tabelle C116: Faktoren für Ankergruppen unter Zuglast

Anke	eranordnung pa	ırallel zur Lageı	fuge	Ankeranordnung senkrecht zur Lagerfuge				
	mit c ≥	mit s ≥	αg II, N		mit c ≥	mit s ≥	αg⊥, N	
• •	50	50	1,50		50	50	1,00	
	120	250	2,00		120	250	2,00	

#### Tabelle C117: Faktoren für Ankergruppen unter Querlast

	Ankerand	ordnung par	allel zur Lag	gerfuge	Ankeranordnung senkrecht zur Lagerfuge			
Querlast	-	mit c ≥	mit s ≥	αg II,V ⊥	1	mit c ≥	mit s ≥	$\alpha_{\text{g}\perp,\text{V}\perp}$
senkrecht		50	50	0,40		50	50	0,40
zum freien		250	50	1,00		250	50	1,20
Rand		250	250	2,00		250	250	2,00
Querlast	1	mit c ≥	mit s ≥	αg II,V II		mit c ≥	mit s ≥	αg ⊥,V II
parallel zum freien Rand		50	50	1,65	\$	50	50	1,00
		120	250	2,00		120	250	2,00

#### Tabelle C118: Charakteristische Werte der Tragfähigkeit unter Zug- und Querlast

			Charakteristischer Widerstand bei $c \ge c_{cr}$ und $s \ge s_{cr}$									
		Effektive Verankerungs- tiefe		Nutzungsbedingungen								
Ankergröße	Siebhülse		d/d				d/d w/d w/w					
			40°C/24°C	80°C/50°C	120°C/72°C	40°C/24°C	80°C/50°C	120°C/72°C	Alle Temperatur- bereiche			
		$h_{ef}$	$N_{Rk,b} = N_{Rk,p}^{2}$			1	$N_{Rk,b} = N_{Rk,l}$	2) p	$V_{Rk,b}^{(2)}$			
		[mm]				[kN]						
		Norm	nierte mittle	ere Druckf	estigkeit f₀	≥ 6 N/mm	2 1)					
M8	SH 12	80										
M8 / M10/ IG-M6	SH 16	≥ 85	1,5	1,5	1,5	1,5	1,5	1,5	5,0			
M12 / M16 / IG-M8 / IG-M10	SH 20	≥ 85							-,-			

<sup>1)</sup> Für geringere Druckfestigkeiten müssen die Widerstände mit dem Umrechnungsfaktor nach Tabelle C113 multipliziert werden. Für Steine mit höheren Festigkeiten sind die angegebenen Werte ohne Umrechnung gültig.

#### Tabelle C119: Verschiebungen

Ankergröße	hef	δη / Ν	δΝο	δN∞	δv / V	δνο	δ∨∞
Alikeigioise	[mm]	[mm/kN]	[mm]	[mm]	[mm/kN]	[mm]	[mm]
M8 – M12/ IG-M6 – M10	alle	0.13	0,13*N <sub>Rk</sub> / 3,5	2*δνο	0,55	0,55*V <sub>Rk</sub> /3,5	1,5*δ∨ο
M16	alle		,		0,31	0,31*V <sub>Rk</sub> /3,5	1,5*δ∨0

Friulsider Injektionssystem KEM-UP + Vinylester oder Friulsider Injektionssystem KEM V für Mauerwerk	
Leistungen Hochlochziegel Coriso W07 mit Wärmedämmung Gruppenfaktoren, charakteristische Tragfähigkeiten und Verschiebungen	Anhang C 36

<sup>2)</sup>  $N_{Rk,b,c} = N_{Rk,p,c}$  sowie  $V_{Rk,c|II} = V_{Rk,c} \perp$  gemäß Anhang C 3

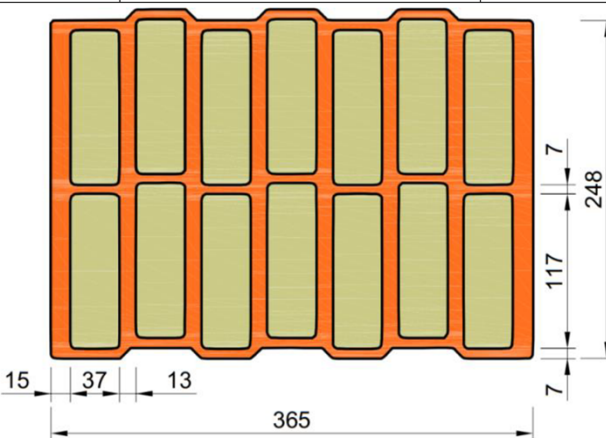


## Steintyp: Hochlochziegel T7 MW mit integrierter Wärmedämmung

#### Tabelle C120: Beschreibung des Steins

Steintyp		Hochlochziegel T7 MW
Füllung		Mineralwolle
Dichte	ρ [kg/dm³]	≥ 0,59
Normierte mittlere Druckfestigkeit	f <sub>b</sub> [N/mm <sup>2</sup> ]	≥ 8
Umrechnungsfaktor für ge Druckfestigkeiten	eringere	$(f_b / 8)^{0.5} \le 1.0$
Norm		EN 771-1:2011+A1:2015
Hersteller (Land)		z.B. Wienerberger (DE)
Steinabmessungen	[mm]	248 x 365 x 249
Bohrverfahren		Drehbohren





#### Tabelle C121: Installationsparameter

Ankergröße			M8	M10	M12	M16	IG-M6	IG-M8	IG-M10
Installationsdrehmoment	T <sub>inst</sub>	[Nm]	≤ 5	≤ 5	≤ 10	≤ 10	≤ 5	≤ 5	≤ 5
Randabstand (unter	0 (0 5)	[mm]				120 (2 h <sub>et</sub>	:)		
Brandbeanspruchung)	C <sub>cr;</sub> (C <sub>cr,fi</sub> )	[mm]	(für Querlasten senkrecht zum freien Rand: c <sub>cr</sub> = 250)						
Minimaler Randabstand	C <sub>min</sub>	[mm]	50						
Achsabstand (unter	Scr, II; (Scr,fi, II)	[mm]	250 (4 h <sub>ef</sub> )						
Brandbeanspruchung)	$S_{cr, \perp; (S_{cr,fi, \perp})}$	[mm]	250 (4 h <sub>ef</sub> )						
Minimaler Achsabstand	Smin, II; Smin, ⊥	[mm]	50						

#### Tabelle C122: Reduktionsfaktoren für Einzelanker unter Randeinfluss

Zugloot			Querlast						
Zuglast			Senkrecht zum freien Rand			Parallel zum freien Rand			
	mit c ≥	αedge, N		mit c ≥	αedge, V⊥		mit c ≥	αedge, VII	
•	50	1,00	<b>→</b>	50	0,35	1     •	50	1,00	
	120	1,00		250	1,00		120	1,00	

#### Tabelle C123: Faktoren für Ankergruppen unter Zuglast

Ankeranordnung parallel zur Lagerfuge			Ankeranordnung senkrecht zur Lagerfuge				
	mit c ≥	mit s ≥	αg II, N		mit c ≥	mit s ≥	$lpha_{g\perp\!,N}$
• •	50	50	1,40		50	50	1,15
	120	250	2,00		120	250	2,00

# Friulsider Injektionssystem KEM-UP + Vinylester oder Friulsider Injektionssystem KEM V für Mauerwerk

Leistungen Hochlochziegel T7 MW mit integrierter Wärmedämmung Beschreibung des Steins, Installationsparameter, Reduktionsfaktoren Anhang C 37



4.5

## Steintyp: Hochlochziegel T7 MW mit integrierter Wärmedämmung

Tabelle C124: Faktoren für Ankergruppen unter Querlast

	Ankerand	ordnung par	allel zur Lag	gerfuge	Ankeranordnung senkrecht zur Lagerfuge			
Querlast		mit c ≥	mit s ≥	αg II,V ⊥	1	mit c ≥	mit s ≥	αg⊥, V⊥
senkrecht	•••	50	50	0,60		50	50	0,40
zum freien		250	50	1,55		250	50	1,00
Rand	•	250	250	2,00	· · · · · · · · · · · · · · · · · · ·	250	250	2,00
Querlast	1	mit c ≥	mit s ≥	αg II,V II		mit c ≥	mit s ≥	αg ⊥,V II
parallel zum		50	50	2,00	*	50	50	1,20
freien Rand		120	250	2,00		120	250	2,00

#### Tabelle C125: Charakteristische Werte der Tragfähigkeit unter Zug- und Querlast

				Charakteristischer Widerstand bei $c \ge c_{cr}$ und $s \ge s_{cr}$							
<u>&amp;</u>		ive ungs-	Nutzungsbedingungen								
			d/d			w/d w/w			d/d w/w (w/d)		
Ankergröße	bhü	Eff ran t							Alle		
	Siebhülse	\ \ \	40°C/24°C	80°C/50°C	120°C/72°C	40°C/24°C	80°C/50°C	120°C/72°C	Temperatur- bereiche		
		h <sub>ef</sub>	١	N <sub>Rk,b</sub> = N <sub>Rk,p</sub>	2)	1	$N_{Rk,b} = N_{Rk,l}$	2) p	V <sub>Rk,b</sub> <sup>2)</sup>		
		[mm]		[kN]							
		Norm	nierte mittle	ere Druckf	estigkeit f <sub>b</sub>	≥ 8 N/mm	2 1)				
M8	SH 12	80									
M8 / M10/ IG-M6	SH 16	≥ 85	2.0	2.0	1.5	2.0	2.0	1.5	3,0		
M12 / IG-M8	SH 20	≥ 85	2,0	2,0	1,5	2,0	2,0	1,5			

<sup>1)</sup> Für geringere Druckfestigkeiten müssen die Widerstände mit dem Umrechnungsfaktor nach Tabelle C120 multipliziert werden Für Steine mit höheren Festigkeiten sind die angegebenen Werte ohne Umrechnung gültig.

≥ 85

SH 20

#### Tabelle C126: Verschiebungen

M16 / IG-M10

Ankoraräßo	hef	δη / Ν	δΝο	δN∞	δv / V	δνο	δ∨∞
Ankergröße	[mm]	[mm/kN]	[mm]	[mm]	[mm/kN]	[mm]	[mm]
M8 – M12/ IG-M6 – M10	alle	0,13	0,13*N <sub>Rk</sub> / 3,5	2*δνο	0,55	0,55*V <sub>Rk</sub> /3,5	1,5*δ∨ο
M16	alle		,	_ = :	0,31	0,31*V <sub>Rk</sub> /3,5	1,5*δ∨0

# Tabelle C127: Charakteristische Werte der Tragfähigkeit unter Zug- und Querlast unter Brandeinwirkung

		Effektive	Charakteristischer Widerstand					
A	Siobbülaa	Verankerungstiefe	$V_{Rk,b,fi} = N_{Rk,p,fi} = V_{Rk,b,fi}$					
Affikergroße	Ankergröße Siebhülse	h <sub>ef</sub>	R30	R60	R90	R120		
		[mm]	[kN]					
M8 / M10 /IG-M6	SH 16	130						
M12 / M16 / IG-M8 IG-M10	SH 20	≥ 130	0,64	0,37	0,11	_1)		

<sup>1)</sup> keine Leistung bewertet

Friulsider Injektionssystem KEM-UP + Vinylester oder Friulsider Injektionssystem KEM V für Mauerwerk	
Leistungen Hochlochziegel T7 MW mit integrierter Wärmedämmung Gruppenfaktoren, charakteristische Tragfähigkeiten und Verschiebungen	Anhang C 38

<sup>2)</sup>  $N_{Rk,b,c} = N_{Rk,p,c}$  sowie  $V_{Rk,c|I} = V_{Rk,c} \perp$  gemäß Anhang C 3

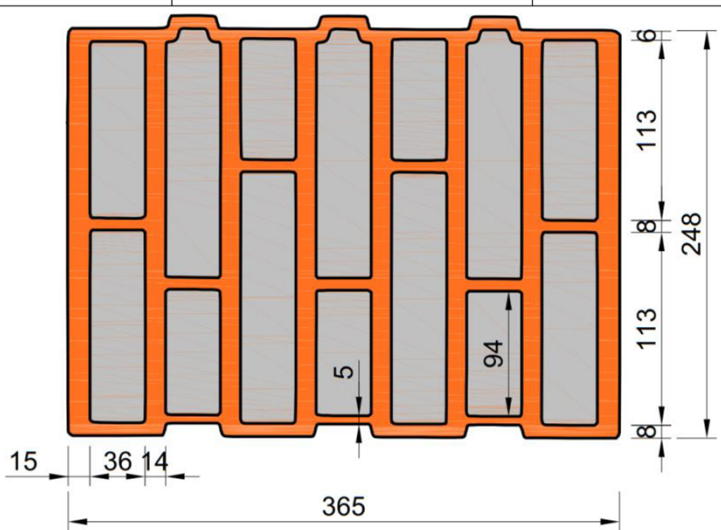


## Steintyp: Hochlochziegel T8 P mit integrierter Wärmedämmung

#### Tabelle C128: Beschreibung des Steins

Steintyp		Hochlochziegel T8 P
Füllung		Perlite
Dichte	ρ [kg/dm³]	≥ 0,56
Normierte mittlere Druckfestigkeit	f <sub>b</sub> [N/mm <sup>2</sup> ]	≥ 6
Umrechnungsfaktor für ge Druckfestigkeiten	eringere	$(f_b / 6)^{0,5} \le 1,0$
Norm		EN 771-1:2011+A1:2015
Hersteller (Land)		z.B. Wienerberger (DE)
Steinabmessungen	[mm]	248 x 365 x 249
Bohrverfahren		Drehbohren





#### Tabelle C129: Installationsparameter

rubene 9125. Instantationsparameter										
Ankergröße	e [-]			M10	M12	M16	IG-M6	IG-M8	IG-M10	
Installationsdrehmoment	T <sub>inst</sub>	[Nm]	≤ 4 ≤ 4 ≤ 10 ≤ 10 ≤ 4 ≤ 4						≤ 4	
Randabstand	Ccr	[mm]	] 120 (für Querlasten senkrecht zum freien Rand: c <sub>cr</sub> = 250)							
Minimaler Randabstand	C <sub>min</sub>	[mm]	50							
Achsabstand	Scr, II	[mm]		250						
Acrisabstand	Scr, ⊥	[mm]	250							
Minimaler Achsabstand	S <sub>min, II;</sub>	[mm]	50							
Willimale: Acrisabstatio	S <sub>min, ⊥</sub>	[[[]]]	30							

#### Tabelle C130: Reduktionsfaktoren für Einzelanker unter Randeinfluss

	Zuglast				Que	erlast		
	Zuglasi		Senkrecht zum freien Rand			Parallel zum freien Rand		
	mit c ≥	αedge, N		mit c ≥	αedge, V⊥		mit c ≥	αedge, V II
•	50	1,00		50	0,25	1   1	50	1,00
	120	1,00		250	1,00		120	1,00

Friulsider Injektionssystem KEM-UP + Vinylester oder Friulsider
Injektionssystem KEM V für Mauerwerk

Leistungen Lochziegel T8 P mit integrierter Wärmedämmung Beschreibung des Steins, Installationsparameter, Reduktionsfaktoren Anhang C 39



## Steintyp: Hochlochziegel T8 P mit integrierter Wärmedämmung

#### Tabelle C131: Faktoren für Ankergruppen unter Zuglast

Anke	eranordnung pa	arallel zur Lagei	fuge	Ankeranordnung senkrecht zur Lagerfuge				
	mit c ≥	mit s ≥	αg II, N		mit c ≥	mit s ≥	αg⊥, N	
• •	50	50	1,30		50	50	1,10	
	120	250	2,00		120	250	2,00	

#### Tabelle C132: Faktoren für Ankergruppen unter Querlast

	Ankerand	ordnung par	allel zur Lag	gerfuge	Ankeranordnung senkrecht zur Lagerfuge			
Querlast	1	mit c ≥	mit s ≥	αg II,V⊥	1	mit c ≥	mit s ≥	$\alpha_{g\perp,V\perp}$
senkrecht	•••	50	50	0,40		50	50	0,30
zum freien		250	50	1,35		250	50	1,20
Rand	· i	250	250	2,00		250	250	2,00
Querlast		mit c ≥	mit s ≥	αg II,V II		mit c ≥	mit s ≥	α <sub>g ⊥,</sub> ν II
parallel zum	•	50	50	1,70		50	50	1,00
freien Rand		120	250	2,00		120	250	2,00

#### Tabelle C133: Charakteristische Werte der Tragfähigkeit unter Zug- und Querlast

				Charakt	eristischer \	Viderstand bei c≥ c <sub>cr</sub> und s≥ s <sub>cr</sub>					
		5			Nutzungsbedingungen						
A pleasant C a	ülse	Effektive Verankerungs- tiefe		d/d			w/d w/w				
Ankergröße	Siebhülse	Vera	40°C/24°C	80°C/50°C	120°C/72°C	40°C/24°C	80°C/50°C	120°C/72°C	Alle Temperatur- bereiche		
		h <sub>ef</sub>	N	$N_{Rk,b} = N_{Rk,p}^{2}$			$N_{Rk,b} = N_{Rk,b}$	2) p	V <sub>Rk,b</sub> <sup>2)</sup>		
		[mm]					[kN]				
		Norm	nierte mittle	ere Druckf	estigkeit f <sub>b</sub>	≥ 6 N/mm	2 1)				
M8	SH 12	80									
M8 / M10/ IG-M6	SH 16	≥ 85	1,5	1,5	1,5	1,5	1,5	1,5	4,5		
M12 / IG-M8	SH 20	≥ 85									
M16 / IG-M10	SH 20	≥ 85	2,5	2,5	2,0	2,5	2,5	2,0	7,0		

<sup>1)</sup> Für geringere Druckfestigkeiten müssen die Widerstände mit dem Umrechnungsfaktor nach Tabelle C128 multipliziert werden Für Steine mit höheren Festigkeiten sind die angegebenen Werte ohne Umrechnung gültig.

#### Tabelle C134: Verschiebungen

Ankoraräßo	hef	δη / Ν	δηο	δn∞	δv / V	δνο	δ∨∞
Ankergröße	[mm]	[mm/kN]	[mm]	[mm]	[mm/kN]	[mm]	[mm]
M8 – M12/ IG-M6 – M10	alle	0,13	0,13*N <sub>Rk</sub> / 3,5	2*δνο	0,55	0,55*V <sub>Rk</sub> /3,5	1,5*δ∨ο
M16	alle		,		0,31	0,31*V <sub>Rk</sub> /3,5	1,5*δ∨0

Friulsider Injektionssystem KEM-UP + Vinylester oder Friulsider Injektionssystem KEM V für Mauerwerk	
Leistungen Lochziegel T8 P mit integrierter Wärmedämmung Gruppenfaktoren, charakteristische Tragfähigkeiten und Verschiebungen	Anhang C 40

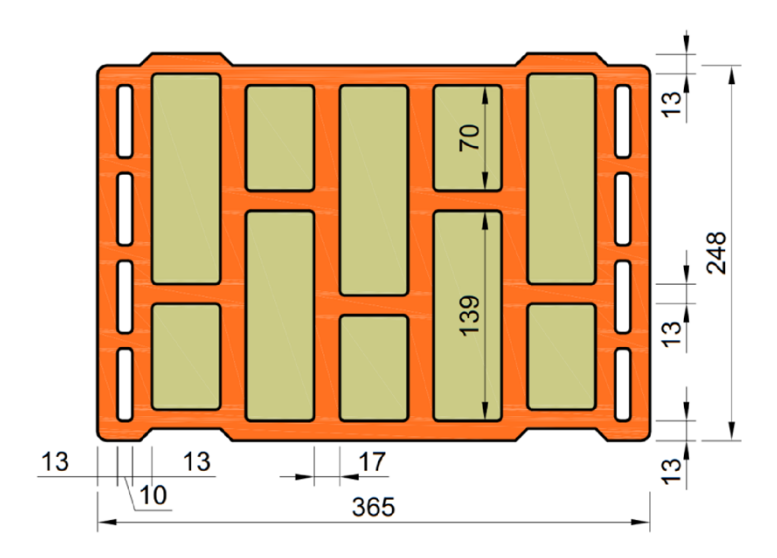
<sup>2)</sup>  $N_{Rk,b,c} = N_{Rk,p,c}$  sowie  $V_{Rk,c|I} = V_{Rk,c} \perp$ gemäß Anhang C 3



# Steintyp: Hochlochziegel Thermoplan MZ90-G mit integrierter Wärmedämmung Tabelle C135: Beschreibung des Steins

Steintyp		Hochlochziegel Thermoplan MZ90-G
Füllung		Mineralwolle
Dichte	ρ [kg/dm³]	≥ 0,68
Normierte mittlere Druckfestigkeit	f <sub>b</sub> [N/mm <sup>2</sup> ]	≥ 12
Umrechnungsfaktor für g Druckfestigkeiten	geringere	$(f_b / 12)^{0.5} \le 1.0$
Norm		EN 771-1:2011+A1:2015
Hersteller (Land)		z.B. Mein Ziegelhaus (DE)
Steinabmessungen	[mm]	248 x 365 x 249
Bohrverfahren		Drehbohren





#### Tabelle C136: Installationsparameter

Tabolio & Tool Michallationoparameter										
Ankergröße	M8	M10	M12	M16	IG-M6	IG-M8	IG-M10			
Installationsdrehmoment	T <sub>inst</sub>	[Nm]	≤ 4 ≤ 4 ≤ 10 ≤ 10 ≤ 4 ≤ 4 ≤ 4						≤ 4	
Randabstand	Ccr	[mm]	m] 120 (für Querlasten senkrecht zum freien Rand: c <sub>cr</sub> = 250)							
Minimaler Randabstand	C <sub>min</sub>	[mm]	50							
Achsabstand	Scr, II	[mm]	250							
Acrisabstand	Scr, ⊥	[mm]	250							
Minimaler Achsabstand	S <sub>min, II;</sub>	[mm]				50				
Willimaici Achsabstand	S <sub>min, ⊥</sub>	[[[]]	30							

#### Tabelle C137: Reduktionsfaktoren für Einzelanker unter Randeinfluss

	Zuglast				Que	rlast		
	Zugiasi		Senkrech	nt zum freien	Rand	Parallel zum freien Rand		
	mit c ≥	αedge, N		mit c ≥	αedge, V⊥		mit c ≥	αedge, VII
•	50	1,00	<b>→</b>	50	0,25	<u> </u>	50	1,00
	120	1,00		250	1,00		120	1,00

Friulsider Injektionssystem KEM-UP + Vinylester oder Friulsider
Injektionssystem KEM V für Mauerwerk

Leistungen Hochlochziegel MZ90-G mit integrierter Wärmedämmung Beschreibung des Steins, Installationsparameter, Reduktionsfaktoren Anhang C 41



# Steintyp: Hochlochziegel Thermoplan MZ90-G mit integrierter Wärmedämmung Tabelle C138: Faktoren für Ankergruppen unter Zuglast

Ankeranordnung parallel zur Lagerfuge				Ankeranordnung senkrecht zur Lagerfuge				
	mit c ≥	mit s ≥	αg II, N		mit c ≥	mit s ≥	αg⊥, N	
• •	50	50	1,00		50	50	1,00	
	120	250	2,00		120	250	2,00	

#### Tabelle C139: Faktoren für Ankergruppen unter Querlast

	Ankeranordnung parallel zur Lagerfuge				Ankeranordnung senkrecht zur Lagerfuge			
Querlast	1	mit c ≥	mit s ≥	αg II,V ⊥	1	mit c ≥	mit s ≥	$\alpha_{\text{g}\perp,\text{V}\perp}$
senkrecht	•••	50	50	0,75		50	50	0,50
zum freien		250	50	2,00		250	50	1,70
Rand	.,	250	250	2,00	· i · · · · · · · · · · · · · · · · · ·	250	250	2,00
Querlast		mit c ≥	mit s ≥	αg II,V II		mit c ≥	mit s ≥	αg ⊥,V II
parallel zum	•	50	50	1,65		50	50	1,15
freien Rand		120	250	2,00		120	250	2,00

#### Tabelle C140: Charakteristische Werte der Tragfähigkeit unter Zug- und Querlast

				Charakteristischer Widerstand bei $c \ge c_{cr}$ und $s \ge s_{cr}$							
		-8			Nutz	ungsbedin	gungen				
	ıülse	Siebhülse Effektive Verankerungs-	d/d			w/d w/w			d/d w/d w/w		
Ankergröße	Siebk		40°C/24°C	80°C/50°C	120°C/72°C	40°C/24°C	80°C/50°C	120°C/72°C	Alle Temperatur- bereiche		
		h <sub>ef</sub>	$N_{Rk,b} = N_{Rk,p}^{2}$		$N_{Rk,b} = N_{Rk,p}^{2}$			V <sub>Rk,b</sub> <sup>2)</sup>			
		[mm]				[kN]					
		Norm	ierte mittle	re Druckfe	stigkeit f <sub>b</sub>	≥ 12 N/mm	<sup>2</sup> 1)				
M8	SH 12	80									
M8 / M10/ IG-M6	SH 16	≥ 85	3,0	3,0	2,5	3,0	3,0	2,5	4,0		
M12 / IG-M8	SH 20	≥ 85									
M16 / IG-M10	SH 20	≥ 85	3,5	3,5	3,0	3,5	3,5	3,0	7,5		

<sup>1)</sup> Für geringere Druckfestigkeiten müssen die Widerstände mit dem Umrechnungsfaktor nach Tabelle C135 multipliziert werden Für Steine mit höheren Festigkeiten sind die angegebenen Werte ohne Umrechnung gültig.

#### Tabelle C141: Verschiebungen

Ankoraräßo	hef	δη / Ν	δηο	δN∞	δv / V	δνο	δ∨∞
Ankergröße	[mm]	[mm/kN]	[mm]	[mm]	[mm/kN]	[mm]	[mm]
M8 – M12/ IG-M6 – M10	alle	0,13	0,13*N <sub>Rk</sub> / 3,5	2*δνο	0,55	0,55*V <sub>Rk</sub> / 3,5	1,5*δ∨ο
M16	alle		,	_ = 51.00	0,31	0,31*V <sub>Rk</sub> /3,5	1,5*δ∨0

Friulsider Injektionssystem KEM-UP + Vinylester oder Friulsider Injektionssystem KEM V für Mauerwerk	
Leistungen Hochlochziegel MZ90-G mit integrierter Wärmedämmun Gruppenfaktoren, charakteristische Tragfähigkeiten und Verschiebungen	

<sup>2)</sup>  $N_{Rk,b,c} = N_{Rk,p,c}$  sowie  $V_{Rk,c|I} = V_{Rk,c} \perp$  gemäß Anhang C 3

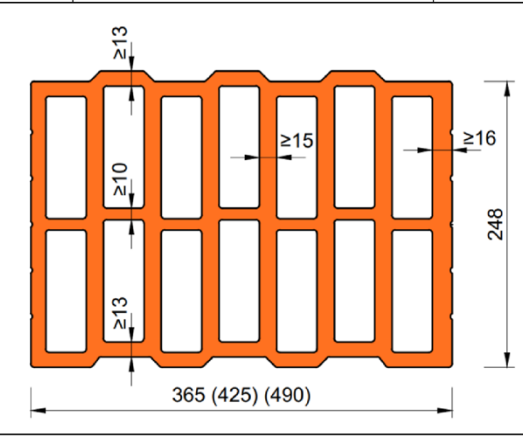


## Steintyp: Hochlochziegel Poroton FZ7,5 mit Wärmedämmung

#### Tabelle C142: Beschreibung des Steins

Steintyp		Hochlochziegel Poroton FZ7,5
Füllung		Mineralwolle
Dichte	ρ <b>[kg/dm</b> ³]	≥ 0,70
Normierte mittlere Druckfestigkeit	f <sub>b</sub> [N/mm <sup>2</sup> ]	≥ 8
Umrechnungsfaktor für g Druckfestigkeiten	eringere	$(f_b / 8)^{0,5} \le 1,0$
Norm		EN 771-1:2011+A1:2015
Hersteller (Land)		e.g. Schlagmann (DE)
Steinabmessungen	[mm]	248 x 365 x 249
Bohrverfahren		Drehbohren





#### Tabelle C143: Installationsparameter

Ankergröße	[-]	M8	M10	M12	M16	IG-M6	IG-M8	IG-M10	
Installationsdrehmoment	T <sub>inst</sub>	[Nm]	≤ 5	≤ 5	≤ 10	≤ 10	≤ 5	≤ 5	≤ 5
Randabstand (unter	c (c s)	[mm]			•	120 (2 he	f)		
Brandbeanspruchung)	C <sub>cr;</sub> (C <sub>cr,fi</sub> ) [mm]		(für Querlasten senkrecht zum freien Rand: c <sub>cr</sub> = 250)						
Minimaler Randabstand	c <sub>min</sub> [mm]		50						
Achsabstand (unter	S <sub>cr, II;</sub> (S <sub>cr,fi, II</sub> ) [mm]		250 (4 h <sub>ef</sub> )						
Brandbeanspruchung)	$\mathbf{S}_{cr,\;\perp;}\left(\mathbf{S}_{cr,fi,\;\perp}\right)$	[mm]	250 (4 h <sub>ef</sub> )						
Minimaler Achsabstand	Smin, II; Smin, ⊥	50							

#### Tabelle C144: Reduktionsfaktoren für Einzelanker unter Randeinfluss

Zugloot				Querlast							
Zuglast			Senkrecht zum freien Rand			Parallel zum freien Rand					
	mit c ≥	αedge, N		mit c ≥	αedge, V⊥		mit c ≥	αedge, VII			
•	50	1,00		50	0,35	<u> </u>	50	1,00			
	120	1,00		250	1,00		120	1,00			

#### Tabelle C145: Faktoren für Ankergruppen unter Zuglast

Ankeranordnung parallel zur Lagerfuge				Ankeranordnung senkrecht zur Lagerfuge			
	mit c ≥	mit s ≥	αg II, N		mit c ≥	mit s ≥	αg⊥, N
• •	50	50	1,40		50	50	1,15
	120	250	2,00		120	250	2,00

Friulsider Injektionssystem KEM-UP + Vinylester oder Friulsider
Injektionssystem KEM V für Mauerwerk

Leistungen Hochlochziegel Poroton FZ7,5 mit Wärmedämmung Beschreibung des Steins, Installationsparameter, Reduktionsfaktoren Anhang C 43



#### Steintyp: Hochlochziegel Poroton FZ7,5 mit Wärmedämmung Tabelle C146: Faktoren für Ankergruppen unter Querlast Ankeranordnung parallel zur Lagerfuge Ankeranordnung senkrecht zur Lagerfuge mit c ≥ mit s ≥ mit c ≥ mit s ≥ Querlast αg II,V ⊥ $\alpha$ g $\perp$ , V $\perp$ senkrecht 50 50 0,60 50 50 0,40 zum freien 250 50 1.55 250 50 1.00 Rand 250 250 2.00 250 250 2.00 mit c ≥ mit s ≥ mit c ≥ mit s ≥ $\alpha_{\text{g II,V II}}$ αg ⊥,V II Querlast 50 50 2.00 50 50 1,20 parallel zum freien Rand 120 250 2,00 120 250 2,00 Tabelle C147: Charakteristische Werte der Tragfähigkeit unter Zug- und Querlast Charakteristischer Widerstand bei c ≥ c<sub>cr</sub> und s ≥ s<sub>cr</sub> Verankerungs-Nutzungsbedingungen Effektive w/d d/d d/d Siebhülse w/w (w/d) w/w Ankergröße Alle 40°C/24°C |80°C/50°C |120°C/72°C |40°C/24°C |80°C/50°C |120°C/72°C Temperaturbereiche $N_{Rk,b} = N_{Rk,p}^{(2)}$ $N_{Rk,b} = N_{Rk,p}^{2}$ $V_{Rk,b}^{(2)}$ $h_{\mathsf{ef}}$ [mm] [kN] Normierte mittlere Druckfestigkeit f<sub>b</sub> ≥ 8 N/mm<sup>2 1)</sup> SH 12 M8 80 M8 / M10/ IG-M6 SH 16 ≥ 85 3,0 2.0 2.0 1.5 2.0 2.0 1.5 M12 / IG-M8 **SH 20** ≥ 85 SH 20 ≥ 85 M16 / IG-M10 4.5 1) Für geringere Druckfestigkeiten müssen die Widerstände mit dem Umrechnungsfaktor nach Tabelle C142 multipliziert werden Für Steine mit höheren Festigkeiten sind die angegebenen Werte ohne Umrechnung gültig. 2) N<sub>Rk,b,c</sub> = N<sub>Rk,p,c</sub> sowie V<sub>Rk,c II</sub> = V<sub>Rk,c</sub>⊥gemäß Anhang C 3 Tabelle C148: Verschiebungen δν / ۷ $\delta N / N$ hef $\delta N0$ δN∞ δνο δV∞ Ankergröße [mm] [mm/kN] [mm] [mm] [mm/kN] [mm] [mm] M8 – M12/ alle 0,55 0,55\*V<sub>Rk</sub>/3,5 1,5\*δ√o IG-M6 - M10 0,13 0,13\*N<sub>Rk</sub> / 3,5 2\*δΝο 0,31\*V<sub>Rk</sub>/3,5 M16 alle 0.31 **1,5**\*δ∨0 Tabelle C149: Charakteristische Werte der Tragfähigkeit unter Zug- und Querlast unter Brandeinwirkung Charakteristischer Widerstand **Effektive** Verankerungstiefe $N_{Rk,b,fi} = N_{Rk,p,fi} = V_{Rk,b,fi}$ Ankergröße Siebhülse R30 **R60 R90** R120 $h_{\text{ef}}$ [mm] [kN] M8 / M10 /IG-M6 SH 16 130 0,64 0,37 0,11 \_1) M12 / M16 / **SH 20** ≥ 130 IG-M8 IG-M10

1)	keine	Leistung	bewertet
----	-------	----------	----------

Friulsider Injektionssystem KEM-UP + Vinylester oder Friulsider Injektionssystem KEM V für Mauerwerk

Leistungen Hochlochziegel Poroton FZ7,5 mit Wärmedämmung Gruppenfaktoren, charakteristische Tragfähigkeiten und Verschiebungen Anhang C 44

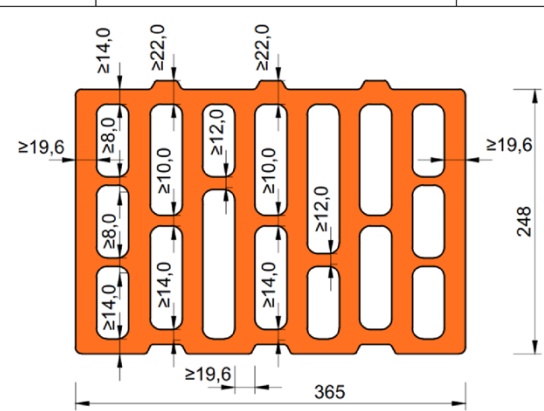


## Steintyp: Hochlochziegel Poroton FZ9 mit Wärmedämmung

#### Tabelle C150: Beschreibung des Steins

Steintyp		Hochlochziegel Poroton FZ9
Füllung		Mineralwolle
Dichte	ρ [kg/dm³]	≥ 0,90
Normierte mittlere Druckfestigkeit	f <sub>b</sub> [N/mm <sup>2</sup> ]	≥ 10
Umrechnungsfaktor für g Druckfestigkeiten	eringere	$(f_b / 10)^{0.5} \le 1.0$
Norm		EN 771-1:2011+A1:2015
Hersteller (Land)		e.g. Schlagmann (DE)
Steinabmessungen	[mm]	248 x 365 x 249
Bohrverfahren		Drehbohren





#### **Tabelle C151: Installationsparameter**

Ankergröße	[-]	M8	M10	M12	M16	IG-M6	IG-M8	IG-M10		
Installationsdrehmoment	T <sub>inst</sub>	[Nm]	≤ 5	≤ 5	≤ 10	≤ 10	≤ 5	≤ 5	≤ 5	
Randabstand (unter	0 (0 5)	[mm]	120 (2 h <sub>ef</sub> )							
Brandbeanspruchung)	Ccr; (Ccr,fi)	[IIIIII]	(für Querlasten senkrecht zum freien Rand: c <sub>cr</sub> = 250)							
Minimaler Randabstand	C <sub>min</sub>	[mm]	50							
Achsabstand (unter	Scr, II; (Scr,fi, II)	[mm]	250 (4 h <sub>ef</sub> )							
Brandbeanspruchung)	$\mathbf{S}_{cr,\;\perp;}\left(\mathbf{S}_{cr,fi,\;\perp}\right)$	[mm]	250 (4 h <sub>ef</sub> )							
			50							

#### Tabelle C152: Reduktionsfaktoren für Einzelanker unter Randeinfluss

Zuglast			Querlast								
	Zuglast		Senkrech	nt zum freier	Rand	Parallel zum freien Rand					
	mit c ≥	αedge, N		mit c ≥	αedge, V⊥		mit c ≥	αedge, VII			
•	50	1,00	<b>→</b>	50	0,35	•	50	1,00			
	120	1,00		250	1,00		120	1,00			

#### Tabelle C153: Faktoren für Ankergruppen unter Zuglast

Anke	eranordnung pa	rallel zur Lage	rfuge	Ankeranordnung senkrecht zur Lagerfuge				
	mit c ≥	mit s ≥	αg II, N		mit c ≥	mit s ≥	αg⊥, N	
• •	50	50	1,40		50	50	1,15	
	120	250	2,00		120	250	2,00	

Friulsider Injektionssystem KEM-UP + Vinylester oder Friulsider
Injektionssystem KEM V für Mauerwerk

Leistungen Hochlochziegel Poroton FZ9 mit Wärmedämmung Beschreibung des Steins, Installationsparameter, Reduktionsfaktoren Anhang C 45



## Steintyp: Hochlochziegel Poroton FZ9 mit Wärmedämmung

Tabelle C154: Faktoren für Ankergruppen unter Querlast

	Ankerand	ordnung par	allel zur Lag	gerfuge	Ankeranordnung senkrecht zur Lagerfuge			
Querlast	-	mit c ≥	mit s ≥	αg II,V ⊥	1	mit c ≥	mit s ≥	αg ⊥, V ⊥
senkrecht		50	50	0,60		50	50	0,40
zum freien		250	50	1,55		250	50	1,00
Rand		250	250	2,00		250	250	2,00
Querlast parallel zum freien Rand	1	mit c ≥	mit s ≥	αg II,V II		mit c ≥	mit s ≥	αg ⊥,V II
		50	50	2,00		50	50	1,20
		120	250	2,00		120	250	2,00

#### Tabelle C155: Charakteristische Werte der Tragfähigkeit unter Zug- und Querlast

			Charakteristischer Widerstand bei $c \ge c_{cr}$ und $s \ge s_{cr}$									
		Effektive /erankerungs- tiefe		Nutzungsbedingungen								
Ankergröße	ψ			d/d			d/d w/d		d/d			
	<u> </u>	fektiv nkeru tiefe					w/w		w/w (w/d)			
	Siebhülse	Eff							Alle			
	<u>e</u> .	\ \ \ \ \ \	40°C/24°C	80°C/50°C	120°C/72°C	40°C/24°C	80°C/50°C	120°C/72°C				
	0,								bereiche			
		h <sub>ef</sub>	N	$J_{Rk,b} = N_{Rk,p}$	2)	1	$N_{Rk,b} = N_{Rk,b}$	2) p	$V_{Rk,b}^{(2)}$			
		[mm]				[kN]						
		Norm	ierte mittle	re Druckfe	stigkeit f <sub>b</sub>	≥ 10 N/mm	1 <sup>2 1)</sup>					
M8	SH 12	80										
M8 / M10/ IG-M6	SH 16	≥ 85	2.0	2.0	1.5	2.0	2.0	1.5	3,0			
M12 / IG-M8	SH 20	≥ 85	2,0	2,0	1,5	2,0	2,0	1,5				
M16 / IG-M10	SH 20	≥ 85							4,5			

<sup>1)</sup> Für geringere Druckfestigkeiten müssen die Widerstände mit dem Umrechnungsfaktor nach Tabelle C150 multipliziert werden Für Steine mit höheren Festigkeiten sind die angegebenen Werte ohne Umrechnung gültig.

#### Tabelle C156: Verschiebungen

Ankergröße	hef	δη / Ν	δΝο	δN∞	δv / V	δνο	δ∨∞
	[mm]	[mm/kN]	[mm]	[mm]	[mm/kN]	[mm]	[mm]
M8 – M12/ IG-M6 – M10	alle	0,13	0,13*N <sub>Rk</sub> / 3,5	2*δνο	0,55	0,55*V <sub>Rk</sub> / 3,5	1,5*δ∨ο
M16	alle		,	_ = :	0,31	0,31*V <sub>Rk</sub> /3,5	1,5*δ∨0

# Tabelle C157: Charakteristische Werte der Tragfähigkeit unter Zug- und Querlast unter Berandeinwirkung

Ankergröße		Effektive	Charakteristischer Widerstand					
	Siebhülse	Verankerungstiefe	$N_{Rk,b,fi} = N_{Rk,p,fi} = V_{Rk,b,fi}$					
		h <sub>ef</sub>	R30	R60	R90	R120		
		[mm]	[kN]					
M8 / M10 /IG-M6	SH 16	130						
M12 / M16 / IG-M8 IG-M10	SH 20	≥ 130	0,64	0,37	0,11	_1)		

<sup>1)</sup> keine Leistung bewertet

Friulsider Injektionssystem KEM-UP + Vinylester oder Friulsider Injektionssystem KEM V für Mauerwerk	
Leistungen Hochlochziegel Poroton FZ9 mit Wärmedämmung Gruppenfaktoren, charakteristische Tragfähigkeiten und Verschiebungen	Anhang C 46

<sup>2)</sup>  $N_{Rk,b,c} = N_{Rk,p,c}$  sowie  $V_{Rk,c|I} = V_{Rk,c} \perp$  gemäß Anhang C 3

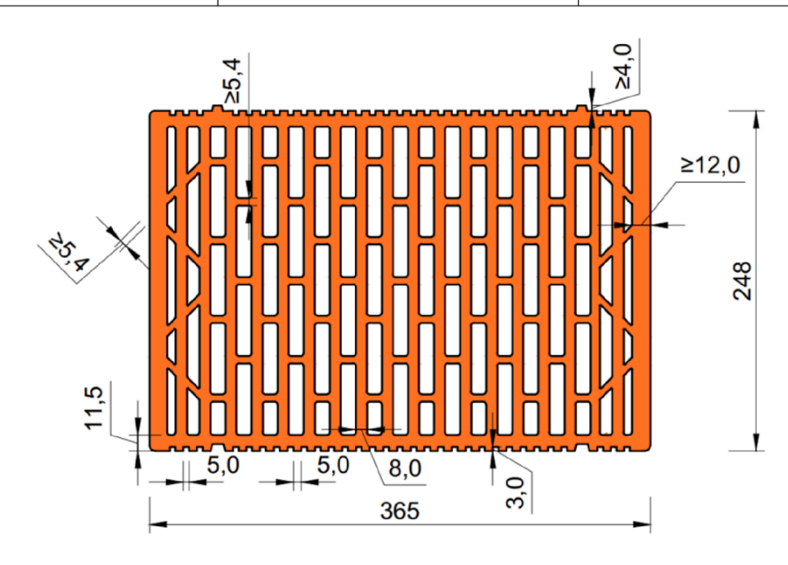


## Steintyp: Hochlochziegel Poroton S9 mit Wärmedämmung

#### Tabelle C158: Beschreibung des Steins

Steintyp		Hochlochziegel Poroton S9		
Füllung		Perlite		
Dichte	ρ <b>[kg/dm³]</b>	≥ 0,85		
Normierte mittlere Druckfestigkeit	f <sub>b</sub> [N/mm <sup>2</sup> ]	≥ 12		
Umrechnungsfaktor für ge Druckfestigkeiten	Umrechnungsfaktor für geringere			
Norm		EN 771-1:2011+A1:2015		
Hersteller (Land)		e.g. Schlagmann (DE)		
Steinabmessungen	[mm]	248 x 365 x 249		
Bohrverfahren		Drehbohren		





#### Tabelle C159: Installationsparameter

Tabelle 0109. Illistallationsparameter											
Ankergröße [			M8	M10	M12	M16	IG-M6	IG-M8	IG-M10		
Installationsdrehmoment	T <sub>inst</sub>	[Nm]	≤ 5	≤ 5	≤ 10	≤ 10	≤ 5	≤ 5	≤ 5		
Randabstand	Ccr	[mm]	120 (für Querlasten senkrecht zum freien Rand: c <sub>cr</sub> = 250)								
Minimaler Randabstand	C <sub>min</sub>	[mm]	50								
Achsabstand	Scr, II	[mm]	250								
Acrisabstand	Scr, ⊥	[mm]		250							
Minimaler Achsabstand	S <sub>min, II;</sub>	[mm]	50								
Willimale: Achsabstand	S <sub>min, ⊥</sub>	[[[]]]				30					

#### Tabelle C160: Reduktionsfaktoren für Einzelanker unter Randeinfluss

Zuglast			Querlast							
			Senkrech	ht zum freier	n Rand	Parallel zum freien Rand				
	mit c ≥	αedge, N		mit c ≥	αedge, V⊥		mit c ≥	αedge, V II		
•	50	1,00		50	0,30	1   1	50	1,00		
	120	1,00		250	1,00		120	1,00		

Friulsider Injektionssystem KEM-UP + Vinylester oder Friulsider
Injektionssystem KEM V für Mauerwerk

Leistungen Hochlochziegel Poroton S9 mit Wärmedämmung Beschreibung des Steins, Installationsparameter, Reduktionsfaktoren Anhang C 47



## Steintyp: Hochlochziegel Poroton S9 mit Wärmedämmung

#### Tabelle C161: Faktoren für Ankergruppen unter Zuglast

Anke	eranordnung pa	ırallel zur Lageı	fuge	Anker	anordnung sen	krecht zur Lag	erfuge
	mit c ≥	mit s ≥	αg II, N		mit c ≥	mit s ≥	αg⊥, N
• •	50	50	1,50		50	50	1,00
	120	250	2,00		120	250	2,00

#### Tabelle C162: Faktoren für Ankergruppen unter Querlast

	Ankerand	ordnung par	allel zur Lag	gerfuge	Ankeranordnung senkrecht zur Lagerfuge			
Querlast		mit c ≥	mit s ≥	αg II,V ⊥	1	mit c ≥	mit s ≥	$\alpha_{\text{g}\perp,\text{V}\perp}$
senkrecht	•••	50	50	0,40		50	50	0,40
zum freien		250	50	1,00		250	50	1,20
Rand		250	250	2,00		250	250	2,00
Querlast		mit c ≥	mit s ≥	αg II,V II		mit c ≥	mit s ≥	αg ⊥,V II
parallel zum freien Rand	50	50	1,65		50	50	1,00	
		120	250	2,00		120	250	2,00

#### Tabelle C163: Charakteristische Werte der Tragfähigkeit unter Zug- und Querlast

			Charakteristischer Widerstand bei $c \ge c_{cr}$ und $s \ge s_{cr}$								
		Effektive Verankerungs- tiefe		Nutzungsbedingungen							
Ankergröße	Siebhülse		d/d			w/d w/w			d/d w/d w/w		
			40°C/24°C	80°C/50°C	120°C/72°C	40°C/24°C	80°C/50°C	120°C/72°C	Alle Temperatur- bereiche		
		$h_{ef}$	N	$J_{Rk,b} = N_{Rk,p}$	2)		$V_{Rk,b}^{2)}$				
		[mm]				[kN]					
		Norm	nierte mittle	ere Druckf	estigkeit f₀	≥ 6 N/mm	2 1)				
M8	SH 12	80									
M8 / M10/ IG-M6	SH 16	≥ 85	1,5	1,5	1,5	1,5	1,5	1,5	5,0		
M12 / M16 / IG-M8 / IG-M10	SH 20	≥ 85							, -		

<sup>1)</sup> Für geringere Druckfestigkeiten müssen die Widerstände mit dem Umrechnungsfaktor nach Tabelle C158 multipliziert werden. Für Steine mit höheren Festigkeiten sind die angegebenen Werte ohne Umrechnung gültig.

#### Tabelle C164: Verschiebungen

Ankergröße	hef	δη / Ν	δΝο	δN∞	δv / V	δνο	δ∨∞
	[mm]	[mm/kN]	[mm]	[mm]	[mm/kN]	[mm]	[mm]
M8 – M12/ IG-M6 – M10	alle	0,13	0,13*N <sub>Rk</sub> / 3,5	2*δνο	0,55	0,55*V <sub>Rk</sub> / 3,5	1,5*δ∨ο
M16	alle		_,	_ = :0	0,31	0,31*V <sub>Rk</sub> /3,5	1,5*δ∨0

Friulsider Injektionssystem KEM-UP + Vinylester oder Friulsider Injektionssystem KEM V für Mauerwerk	
Leistungen Hochlochziegel Poroton S9 mit Wärmedämmung Gruppenfaktoren, charakteristische Tragfähigkeiten und Verschiebungen	Anhang C 48

<sup>2)</sup>  $N_{Rk,b,c} = N_{Rk,p,c}$  sowie  $V_{Rk,c | II} = V_{Rk,c \perp}$ gemäß Anhang C 3

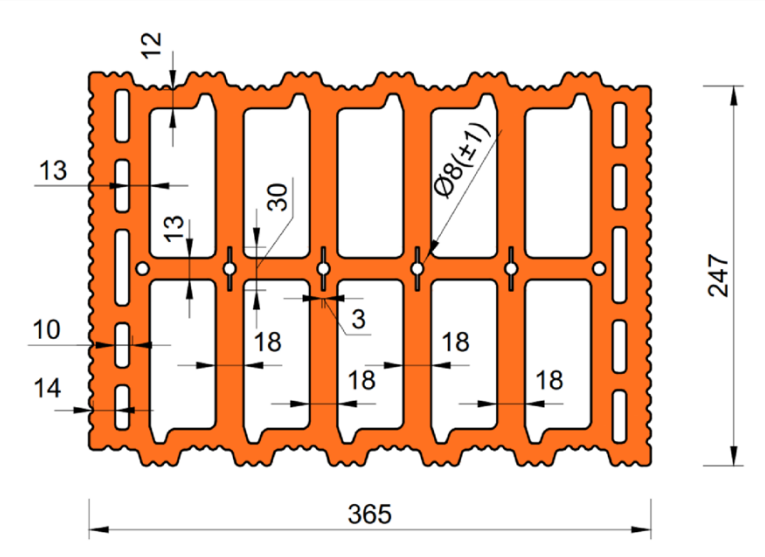


## Steintyp: Hochlochziegel Thermopor TV8+ mit Wärmedämmung

#### Tabelle C165: Beschreibung des Steins

Steintyp		Hochlochziegel Thermopor TV8+
Füllung		Mineralwolle
Dichte	ρ [kg/dm³]	≥ 0,70
Normierte mittlere Druckfestigkeit	f <sub>b</sub> [N/mm <sup>2</sup> ]	≥ 10
Umrechnungsfaktor für Druckfestigkeiten	geringere	$(f_b / 10)^{0.5} \le 1.0$
Norm		EN 771-1:2011+A1:2015
Hersteller (Land)		e.g. THERMOPOR GmbH (DE)
Steinabmessungen	[mm]	248 x 365 x 249
Bohrverfahren		Drehbohren





#### Tabelle C166: Installationsparameter

Ankergröße		[-]	M8	M10	M12	M16	IG-M6	IG-M8	IG-M10	
Installationsdrehmoment	stallationsdrehmoment T <sub>inst</sub> [[			≤ 4	≤ 10	≤ 10	≤ 4	≤ 4	≤ 4	
Randabstand	Ccr	[mm]	120 (für Querlasten senkrecht zum freien Rand: c <sub>cr</sub> = 250)							
Minimaler Randabstand	Cmin	[mm]		50						
Achsabstand	Scr, II	[mm]		250						
Acrisabstand	Scr, ⊥	[mm]	250							
Minimaler Achsabstand	Smin, II;	[mm]				50				

#### Tabelle C167: Reduktionsfaktoren für Einzelanker unter Randeinfluss

Zuglast				Querlast						
	Zugiasi		Senkrech	nt zum freier	n Rand	Parallel zum freien Rand				
	mit c ≥	αedge, N		mit c ≥	αedge, V⊥		mit c ≥	αedge, VII		
•	50	1,00	<b>→</b>	50	0,25	1   <u>†</u>	50	1,00		
	120	1,00		250	1,00		120	1,00		

Friulsider Injektionssystem KEM-UP + Vinylester oder Friulsider	
Injektionssystem KEM V für Mauerwerk	
	_

**Leistungen Hochlochziegel Thermopor TV8+ mit Wärmedämmung** Beschreibung des Steins, Installationsparameter, Reduktionsfaktoren

Anhang C 49



## Steintyp: Hochlochziegel Thermopor TV8+ mit Wärmedämmung

#### Tabelle C168: Faktoren für Ankergruppen unter Zuglast

Anke	eranordnung pa	rallel zur Lagei	fuge	Anker	anordnung sen	krecht zur Lage	erfuge
	mit c ≥	mit s ≥	αg II, N		mit c ≥	mit s ≥	αg⊥, N
• •	50	50	1,00		50	50	1,00
	120	250	2,00		120	250	2,00

#### Tabelle C169: Faktoren für Ankergruppen unter Querlast

	Ankerand	ordnung par	allel zur Lag	gerfuge	Ankeranordnung senkrecht zur Lagerfuge			
Querlast		mit c ≥	mit s ≥	αg II,V ⊥	1	mit c ≥	mit s ≥	$\alpha_{\text{g}\perp,\text{V}\perp}$
senkrecht	•••	50	50	0,75		50	50	0,50
zum freien		250	50	2,00		250	50	1,70
Rand		250	250	2,00		250	250	2,00
Querlast		mit c ≥	mit s ≥	αg II,V II		mit c ≥	mit s ≥	αg⊥,VII
		50	50	1,65	*	50	50	1,15
		120	250	2,00		120	250	2,00

#### Tabelle C170: Charakteristische Werte der Tragfähigkeit unter Zug- und Querlast

				Charakt	eristischer \	<b>Viderstand</b>	bei c≥c <sub>cr</sub>	und s≥s <sub>cr</sub>			
		-8	Nutzungsbedingungen								
A pkorgräß o	Siebhülse	Effektive Verankerungs- tiefe	d/d				d/d w/d w/w				
Ankergröße	Signose de		40°C/24°C	80°C/50°C	120°C/72°C	40°C/24°C	80°C/50°C	120°C/72°C	Alle Temperatur- bereiche		
		h <sub>ef</sub>	$N_{Rk,b} = N_{Rk,p}^{2)}$			$N_{Rk,b} = N_{Rk,p}^{2}$			$V_{Rk,b}^{2)}$		
		[mm]				[kN]					
		Norm	ierte mittle	re Druckfe	estigkeit fb	≥ 10 N/mm	1 <sup>2 1)</sup>				
M8	SH 12	80									
M8 / M10/ IG-M6	SH 16	≥ 85	3,0	3,0	2,5	3,0	3,0	2,5	3,5		
M12 / IG-M8	SH 20	≥ 85									
M16 / IG-M10	SH 20	≥ 85	3,5	3,5	3,0	3,5	3,5	3,0	7,0		

<sup>1)</sup> Für geringere Druckfestigkeiten müssen die Widerstände mit dem Umrechnungsfaktor nach Tabelle C165 multipliziert werden. Für Steine mit höheren Festigkeiten sind die angegebenen Werte ohne Umrechnung gültig.

#### Tabelle C171: Verschiebungen

Ankorarößo	hef	δη / Ν	δΝο	δN∞	δv / V	δνο	δ∨∞
Ankergröße	[mm]	[mm/kN]	[mm]	[mm]	[mm/kN]	[mm]	[mm]
M8 – M12/ IG-M6 – M10	alle	0,13	0,13*N <sub>Rk</sub> / 3,5	2*δνο	0,55	0,55*V <sub>Rk</sub> / 3,5	1,5*δ∨ο
M16	alle		,		0,31	0,31*V <sub>Rk</sub> /3,5	1,5*δ∨0

Friulsider Injektionssystem KEM-UP + Vinylester oder Friulsider Injektionssystem KEM V für Mauerwerk	
Leistungen Hochlochziegel Thermopor TV8+ mit Wärmedämmung Gruppenfaktoren, charakteristische Tragfähigkeiten und Verschiebungen	Anhang C 50

<sup>2)</sup>  $N_{Rk,b,c} = N_{Rk,p,c}$  sowie  $V_{Rk,c | II} = V_{Rk,c} \perp$  gemäß Anhang C 3

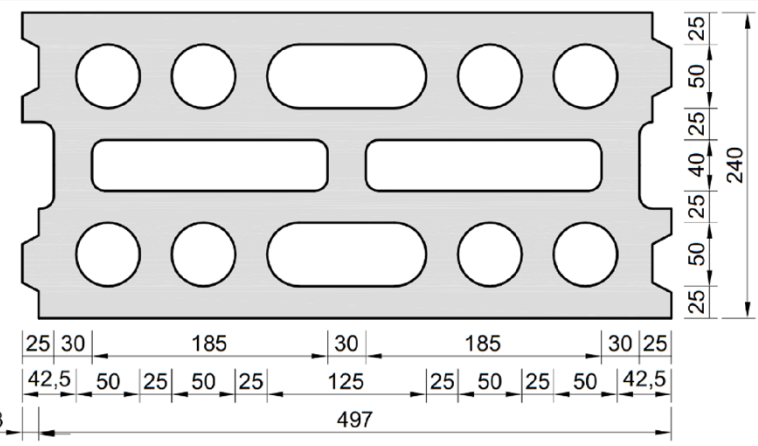


#### Steintyp: Leichtbetonlochstein HBL 16DF

#### Tabelle C172: Beschreibung des Steins

Steintyp		Leichtbetonlochstein HBL 16DF		
Dichte	ρ [kg/dm³]	≥ 1,0		
Normierte mittlere Druckfestigkeit	f <sub>b</sub> [N/mm <sup>2</sup> ]	≥ 3,1		
Umrechnungsfaktor für Druckfestigkeiten	geringere	$(f_b/3,1)^{0,5} \le 1,0$		
Norm		EN 771-3:2011+A1:2015		
Hersteller (Land)		z.B. KLB Klimaleichtblock (DE)		
Steinabmessungen	[mm]	500 x 250 x 240		
Bohrverfahren		Drehbohren		





#### Tabelle C173: Installationsparameter

Ankergröße	[-]	M8	M10	M12	M16	IG-M6	IG-M8	IG-M10	
Installationsdrehmoment	T <sub>inst</sub>	[Nm]	≤ 2	≤ 2	≤ 5	≤ 5	≤ 2	≤ 5	≤ 5
Randabstand (unter Brandbeanspruchung)	C <sub>cr;</sub> (C <sub>cr,fi</sub> )	[mm]	[mm] 120 (2 h <sub>ef</sub> ) (für Querlasten senkrecht zum freien Rand: c <sub>cr</sub> = 250)					250)	
Minimaler Randabstand	C <sub>min</sub>	[mm]	50						
Achsabstand (unter	Scr, II; (Scr,fi, II)	[mm]	500 (4 h <sub>ef</sub> )						
Brandbeanspruchung)	Scr, ⊥; (Scr,fi, ⊥)	[mm]	250 (4 h <sub>ef</sub> )						
Minimaler Achsabstand	Smin, II; Smin, ⊥	[mm]	50						

#### Tabelle C174: Reduktionsfaktoren für Einzelanker unter Randeinfluss

Zuglast			Querlast							
			Senkrecl	nt zum freier	Rand	Parallel zum freien Rand				
	mit c ≥	αedge, N		mit c ≥	αedge, V⊥		mit c ≥	αedge, VII		
•	50	1,00	<b>→</b>	50	0,30	<u> </u>	50	1,00		
	120	1,00		250	1,00		120	1,00		

#### Tabelle C175: Faktoren für Ankergruppen unter Zuglast

Ankeranordnung parallel zur Lagerfuge				Ankeranordnung senkrecht zur Lagerfuge				
	mit c ≥	mit s ≥	αg II, N		mit c ≥	mit s ≥	αg⊥, N	
• •	50	50	2,00		50	50	1,55	
	120	500	2,00		120	250	2,00	

# Friulsider Injektionssystem KEM-UP + Vinylester oder Friulsider Injektionssystem KEM V für Mauerwerk

#### Leistungen Leichtbetonlochstein HBL 16DF

Beschreibung des Steins, Installationsparameter, Reduktionsfaktoren

Anhang C 51



#### Steintyp: Leichtbetonlochstein HBL 16DF

#### Tabelle C176: Faktoren für Ankergruppen unter Querlast

	<b>3</b> - <b>P P</b>							
	Ankeranordnung parallel zur Lagerfuge				Ankeranordnung senkrecht zur Lagerfuge			
Querlast	-	mit c ≥	mit s ≥	αg II,V⊥		mit c ≥	mit s ≥	$\alpha_{g\perp,V\perp}$
senkrecht	•••	50	50	0,60		50	50	0,35
zum freien		120	50	2,00		120	50	1,15
Rand	.;	120	500	2,00		120	250	2,00
Querlast	+	mit c ≥	mit s ≥	αg II,V II	+	mit c ≥	mit s ≥	α <sub>g ⊥,</sub> ∨ II
parallel zum	••	50	50	1,30	•	50	50	1,00
freien Rand		120	250	2,00		50	30	1,00
I II CICII I Nalid	and	120	500	2,00		120	250	2,00

#### Tabelle C177: Charakteristische Werte der Tragfähigkeit unter Zug- und Querlast

			Charakteristischer Widerstand bei $c \ge c_{cr}$ und $s \ge s_{cr}$									
		-8		Nutzungsbedingungen								
ülse		Effektive Verankerungs	d/d				d/d w/d w/w					
Ankergröße	Siebhülse Effekti Veranker tiefe		40°C/24°C	80°C/50°C	120°C/72°C	40°C/24°C	80°C/50°C	120°C/72°C	Alle Temperatur- bereiche			
		$\mathbf{h}_{ef}$	$N_{Rk,b} = N_{Rk,p}^{2)}$			l 1	$V_{Rk,b}^{(2)}$					
		[mm]				[kN]						
		Norm	ierte mittle	re Druckfe	stigkeit f <sub>b</sub> 2	≥ 3,1 N/mn	n <sup>2 1)</sup>					
M8 / M10/ IG-M6	SH 16	≥ 85	1,2	1,2	0,9	1,2	1,2	0,9	2,0			
M12 / IG-M8	SH 20	≥ 85	1 5	4.5	1,2	1,5	1,5	10	3,0			
M16 / IG-M10	SH 20	≥ 85	1,5	1,5				1,2	5,0			

<sup>1)</sup> Für geringere Druckfestigkeiten müssen die Widerstände mit dem Umrechnungsfaktor nach Tabelle C172 multipliziert werden Für Steine mit höheren Festigkeiten sind die angegebenen Werte ohne Umrechnung gültig.

#### Tabelle C178: Verschiebungen

Ankorgräße	hef	δη / Ν	δΝο	δN∞	δv / V	δνο	δ∨∞
Ankergröße	[mm]	[mm/kN]	[mm]	[mm]	[mm/kN] [mm] [r		[mm]
M8 – M12/ IG-M6 – M10	alle	0.12	0.42*NL / 2.5	0*8	0,55	0,55*V <sub>Rk</sub> /3,5	1,5*δ∨0
M16	alle	0,13	0,13*N <sub>Rk</sub> / 3,5	2*δΝο	0,31	0,31*V <sub>Rk</sub> /3,5	1,5*δ∨0

# Tabelle C179: Charakteristische Werte der Tragfähigkeit unter Zug- und Querlast unter Brandeinwirkung

		Effektive	Charakteristischer Widerstand							
Ankoraräßo	Siobbüleo	Verankerungstiefe		$N_{Rk,b,fi} = N_{Rk,p,fi}$	$_{b,b,fi} = N_{Rk,p,fi} = V_{Rk,b,fi}$					
Ankergröße	Siebhülse	h <sub>ef</sub>	R30	R60	R90	R120				
		[mm]	[kN]							
M8 / M10 / IG-M6	SH 16	130	0.29	0.21	_1)	_1)				
M12 / IG-M8	SH 20	≥ 130	0,29	0,21	-17	- 17				
M16 / IG-M10	SH 20	≥ 130	0,29	0,21	0,12	_1)				

<sup>1)</sup> keine Leistung bewertet

Friulsider Injektionssystem KEM-UP + Vinylester oder Friulsider Injektionssystem KEM V für Mauerwerk	
Leistungen Leichtbetonlochstein HBL 16DF Gruppenfaktoren, charakteristische Tragfähigkeiten und Verschiebungen	Anhang C 52

<sup>2)</sup> N<sub>Rk,b,c</sub> = N<sub>Rk,p,c</sub> sowie V<sub>Rk,c II</sub> = V<sub>Rk,c</sub>⊥gemäß Anhang C 3

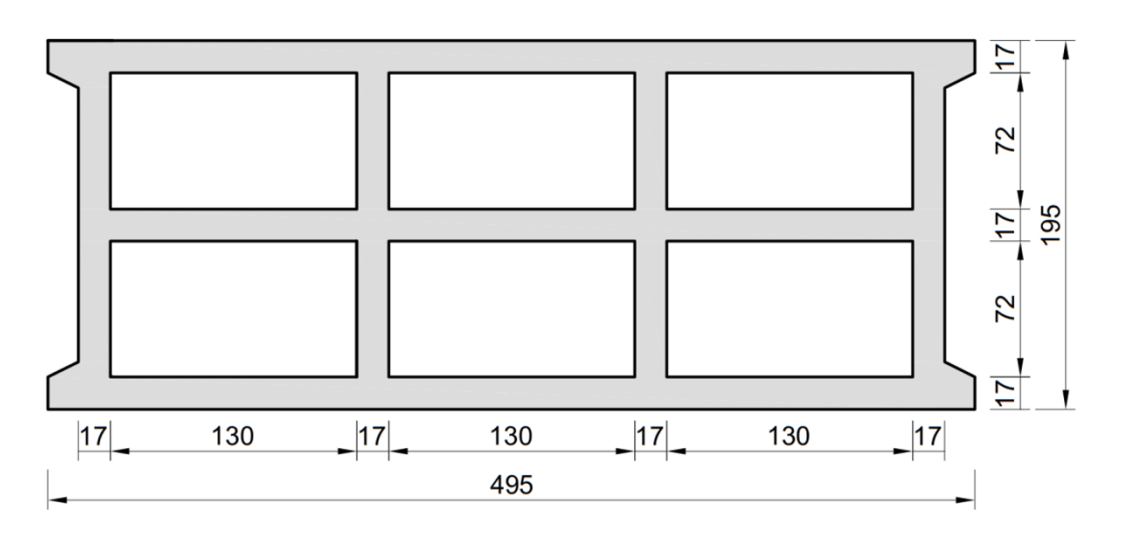


## Steintyp: Betonlochstein Bloc Creux B40

#### Tabelle C180: Beschreibung des Steins

Steintyp		Betonlochstein Bloc Creux B40	
Dichte	ρ [kg/dm³]	≥ 0,8	
Normierte mittlere Druckfestigkeit	f <sub>b</sub> [N/mm <sup>2</sup> ]	≥ 5,2	
Umrechnungsfaktor für Druckfestigkeiten	$(f_b / 5,2)^{0,5} \le 1,0$		
Norm		EN 771-3:2011+A1:2015	
Hersteller (Land)		z.B. Leroux (FR)	
Steinabmessungen	[mm]	500 x 200 x 200	
Bohrverfahren		Drehbohren	





#### Tabelle C181: Installationsparameter

Ankergröße					M12	M16	IG-M6	IG-M8	IG-M10	
Installationsdrehmoment T <sub>inst</sub>		[Nm]	≤ 4	≤ 4	≤ 4	≤ 4	≤ 4	≤ 4	≤ 4	
Randabstand	Ccr	[mm]	120 (für Querlasten senkrecht zum freien Rand: c <sub>cr</sub> = 170)							
Minimaler Randabstand	C <sub>min</sub>	[mm]	50							
Achsabstand	Scr, II	[mm]		170						
Acrisabstand	Scr, ⊥	[mm]		200						
Minimaler Achsabstand	[mm]	50								
	S <sub>min, ⊥</sub>									

#### Tabelle C182: Reduktionsfaktoren für Einzelanker unter Randeinfluss

Zuglast				Querlast							
	Zugiasi		Senkrech	nt zum freier	Rand	Parallel zum freien Rand					
	mit c ≥	αedge, N		mit c ≥	αedge, V⊥		mit c ≥	αedge, VII			
•	50	1,00	<b>→</b>	50	0,35	]   <u>•</u>   [	50	1,00			
	120	1,00		170	1,00		120	1,00			

Friulsider Injektionssystem KEM-UP + Vinylester oder Friulsider Injektionssystem KEM V für Mauerwerk	
Leistungen Betonlochstein Bloc Creux B40 Beschreibung des Steins, Installationsparameter, Reduktionsfaktoren	Anhang C 53



## Steintyp: Betonlochstein Bloc Creux B40

#### Tabelle C183: Faktoren für Ankergruppen unter Zuglast

Ankeranordnung parallel zur Lagerfuge				Ankeranordnung senkrecht zur Lagerfuge			
·	mit c ≥	mit s ≥	αg II, N		mit c ≥	mit s ≥	αg⊥, N
	50	50	1,50		50	50	1,40
	50	170	2,00		50	200	2,00
- i	120	170	2,00		120	200	2,00

#### Tabelle C184: Faktoren für Ankergruppen unter Querlast

	Ankerand	ordnung par	allel zur Lag	gerfuge	Ankeranordnung senkrecht zur Lagerfuge			
Querlast		mit c ≥	mit s ≥	αg II,V ⊥		mit c ≥	mit s ≥	$\alpha_{g\perp,\vee\perp}$
senkrecht		50	50	0,55		50	50	0,35
zum freien		120	50	1,30		120	50	0,85
Rand		120	170	2,00		120	200	2,00
Querlast parallel zum freien Rand		mit c ≥	mit s ≥	αg II,V II		mit c ≥	mit s ≥	αg ⊥,V II
	••	50	50	1,10	•	50	50	1,00
		120 170	170	2.00	•	50	200	2,00
			170	2,00		120	200	2,00

#### Tabelle C185: Charakteristische Werte der Tragfähigkeit unter Zug- und Querlast

			Charakteristischer Widerstand bei $c \ge c_{cr}$ und $s \ge s_{cr}$								
		Effektive Verankerungs- tiefe		Nutzungsbedingungen							
Ankergröße	Siebhülse		d/d				d/d w/d w/w				
			40°C/24°C	80°C/50°C	120°C/72°C	40°C/24°C	80°C/50°C	120°C/72°C	Alle Temperatur- bereiche s		
		$h_{\text{ef}}$	N	$N_{Rk,b} = N_{Rk,p}^{2}$			$N_{Rk,b} = N_{Rk,p}^{2}$				
		[mm]									
		Normi	ierte mittle	re Druckfe	stigkeit f <sub>b</sub> 2	≥ 5,2 N/mn	n <sup>2 1)</sup>				
M8 / M10/ IG-M6	SH 16	130	2,0	1.5	1.2	2.0	1.5	1.2	6,0		
M12 / M16 / IG-M8 / IG-M10	SH 20	≥ 130	2,0	1,5	1,2	2,0	1,5	1,2	6,0		

Für geringere Druckfestigkeiten müssen die Widerstände mit dem Umrechnungsfaktor nach Tabelle C180 multipliziert werden. Für Steine mit höheren Festigkeiten sind die angegebenen Werte ohne Umrechnung gültig.

#### Tabelle C186: Verschiebungen

Ankergröße	hef	δη / Ν	δνο	δN∞	δv / V	δνο	δ∨∞
	[mm]	[mm/kN]	[mm]	[mm]	[mm/kN]	[mm]	[mm]
M8 – M12/ IG-M6 – M10	alle	0,13	0,13*N <sub>Rk</sub> / 3,5	2*δνο	0,55	0,55*V <sub>Rk</sub> / 3,5	1,5*δ∨0
M16	alle		, , , , , , , , , , , , , , , , , , , ,	_ = 5110	0,31	0,31*V <sub>Rk</sub> /3,5	1,5*δ∨0

Friulsider Injektionssystem KEM-UP + Vinylester oder Friulsider Injektionssystem KEM V für Mauerwerk	
Leistungen Betonlochstein Bloc Creux B40 Gruppenfaktoren, charakteristische Tragfähigkeiten und Verschiebungen	Anhang C 54

<sup>2)</sup>  $N_{Rk,b,c} = N_{Rk,p,c}$  sowie  $V_{Rk,c \parallel} = V_{Rk,c} \perp$ gemäß Anhang C 3



## Steintyp: Leichtbetonvollstein

#### Tabelle C187: Beschreibung des Steins

Leichtbetonvollstein		
≥ 0,6		
≥ 2		
$(f_b / 2)^{0,5} \le 1,0$		
EN 771-3:2011+A1:2015		
z.B. Bisotherm (DE)		
≥ 240 x 300 x 113		
Drehbohren		



#### Tabelle C188: Installationsparameter

Ankergröße	Ankergröße			M10	M12	M16	IG-M6	IG-M8	IG-M10	
Installationsdrehmoment T <sub>inst</sub>		[Nm]	≤ 2	≤ 2	≤ 2	≤ 2	≤ 2	≤ 2	≤ 2	
Randabstand	Ccr	[mm]	150							
Minimaler Randabstand	C <sub>min</sub>	[mm]	60							
Achsabstand	Scr, II	[mm]	300							
Acrisabstand	Scr, ⊥	[mm]	300							
Minimaler Achsabstand	Smin, II;	[mm]	120							
	Smin, ⊥									

#### Tabelle C189: Reduktionsfaktoren für Einzelanker unter Randeinfluss

Zuglast			Querlast							
	Zuglasi		Senkrech	nt zum freier	n Rand	Parallel zum freien Rand				
	mit c ≥	αedge, N		mit c ≥	αedge, V⊥		mit c ≥	αedge, VII		
•	60	1,00	<b>→</b>	60	0,25	1	60	0,40		
	150	1,00		150	1,00		100	1,00		

#### Tabelle C190: Faktoren für Ankergruppen unter Zuglast

Ankeranordnung parallel zur Lagerfuge				Ankeranordnung senkrecht zur Lagerfuge			
	mit c ≥	mit s ≥	αg II, N		mit c ≥	mit s ≥	αg⊥, N
• •	60	120	1,00		60	120	1,00
	150	300	2,00		150	300	2,00

#### Tabelle C191: Faktoren für Ankergruppen unter Querlast

	Ankerand	Ankeranordnung parallel zur Lagerfuge				Ankeranordnung senkrecht zur Lagerfuge			
Querlast		mit c ≥	mit s ≥	α <sub>g</sub> II,V ⊥		mit c ≥	mit s ≥	$\alpha_{\text{g}\perp,\text{V}\perp}$	
senkrecht		60	120	0,25		60	120	0,25	
zum freien		150	120	1,00		150	120	1,00	
Rand		150	300	2,00		150	300	2,00	
Overleet		mit c ≥	mit s ≥	αg II,V II	<u> </u>	mit c ≥	mit s ≥	αg ⊥,V II	
Querlast parallel zum		60	120	0,40	•	60	120	0,40	
freien Rand		100	120	1,00	<b> </b>	100	120	1,00	
		150	300	2,00		150	300	2,00	

Friulsider Injektionssystem KEM-UP + Vinylester oder Friulsider Injektionssystem KEM V für Mauerwerk	
Leistungen Leichtbetonvollstein Beschreibung des Steins, Installationsparameter, Reduktions- und Gruppenfaktoren	Anhang C 55



#### Steintyp: Leichtbetonvollstein

### Tabelle C192: Charakteristische Werte der Tragfähigkeit unter Zug- und Querlast

Tabelle 0 102.	···a·aitt	ooooi		.cagia	g.voit ai	a9	4.1.4 <b>Q</b> 401	1401		
	ıülse	Effektive Verankerungs- tiefe	Characteristic Resistances with $c \ge c_{cr}$ and $s \ge s_{cr}$							
			Use condition							
			d/d			w/d w/w			d/d w/d	
									w/u w/w	
Ankergröße	Siebhülse	Vera	40°C/24°C	80°C/50°C	120°C/72°C	40°C/24°C	80°C/50°C	120°C/72°C	Alle Temperatur- bereiche	
		h <sub>ef</sub>	١	$N_{Rk,b} = N_{Rk,p}$	2)	1	$N_{Rk,b} = N_{Rk,b}$	2) p	V <sub>Rk,b</sub> <sup>2)</sup>	
		[mm]				[kN]				
		Norm	nierte mittle	ere Druckf	estigkeit f <sub>b</sub>	≥ 2 N/mm	2 1)			
M8	-	80								
M10 / IG-M6	-	90	3,0	2,5	2,0	2,5	2,0	1,5		
M12 / M16 / IG-M8 / IG-M10	-	100							2.0	
M8	SH 12	80							3,0	
M8 / M10/ IG-M6	SH 16	≥ 85	2,5	2,5	2,0	2,5	2,0	1,5		
M12 / M16 / IG-M8 / IG-M10	SH 20	≥ 85								

Für geringere Druckfestigkeiten müssen die Widerstände mit dem Umrechnungsfaktor nach Tabelle C187 multipliziert werden. Für Steine mit höheren Festigkeiten sind die angegebenen Werte ohne Umrechnung gültig.

#### Tabelle C193: Verschiebungen

A nkorarä@o	hef	δη / Ν	δΝο	δN∞	δv / V	δνο	δ∨∞
Ankergröße	[mm]	[mm/kN]	[mm]	[mm]	[mm/kN]	[mm]	[mm]
M8 – M12/ IG-M6 – M10	alle	0,1	0,1*N <sub>Rk</sub> / 3,5	2*δνο	0,3	0,3*V <sub>Rk</sub> / 3,5	1,5*δ∨0
M16	alle	,	,,		0,1	0,1*V <sub>Rk</sub> /3,5	1,5*δ∨0

Friulsider Injektionssystem KEM-UP + Vinylester oder Friulsider Injektionssystem KEM V für Mauerwerk

Leistungen Leichtbetonvollstein

Charakteristische Tragfähigkeiten und Verschiebungen

Anhang C 56

<sup>2)</sup>  $N_{Rk,b,c} = N_{Rk,p,c}$  sowie  $V_{Rk,c | II} = V_{Rk,c \perp}$ gemäß Anhang C 3